Федеральное государственное бюджетное учреждение науки Институт органической химии им. Н.Д. Зелинского Российской академии наук (ИОХ РАН)

на правах рукописи

Sof

ЗДВИЖКОВ АЛЕКСАНДР ТИМУРОВИЧ

Системы на основе H_2O_2 и *t*-BuOOH, иода и его соединений для реакций окисления и получения структур с фрагментом O-O

02.00.03 – Органическая химия

Диссертация на соискание ученой степени кандидата химических наук

Научный руководитель: **д.х.н. Терентьев А.О.**

Оглавление

1.	ВВЕДІ	ЕНИЕ 1
2.		ЛЬЗОВАНИЕ СИСТЕМЫ ИСТОЧНИК ГАЛОГЕНА / ПЕРОКСИД В
		ЕСКОМ СИНТЕЗЕ (ЛИТЕРАТУРНЫЙ ОБЗОР)
		кислительное галогенирование
	2.1.1.	Образование связи C-Cl 4
	2.1.2.	Образование связи C-Br 8
	2.1.3.	Образование связи С-І23
	2.1.4.	Сопряженное присоединение к кратной связи30
	2.2. Pe	акции окислительного сочетания
	2.2.1.	Образование связи С-С
	2.2.2.	Образование связи C-N42
	2.2.3.	Образование связи С-О47
	2.2.4.	Образование связи С-Ѕ51
	2.3. П	рочие реакции52
	2.4. Pe	акции карбонильных соединений и их производных с системой I ₂ /
	гидропер	оксид53
	2.5. 3a	ключение54
3.	ОБСУ	КДЕНИЕ РЕЗУЛЬТАТОВ55
		аимодействие моно- и бициклических эфиров енолов с системой $\mathbf{I_2}$ /
	гидропер	оксид55
	3.2. B	аимодействие 2-аллил-1,3-дикетонов с системой ${ m I_2}$ / ${ m H_2O_2}$ 60
		аимодействие малоновых, ацетоуксусных и циануксусных эфиров с системой
		BuOOH67
		аимодействие 9-метилфлуорена и 1-метилиндена с системой ТВАІ/t-ВиООН71
4.		ЕРИМЕНТАЛЬНАЯ ЧАСТЬ73
5.		ОЧЕНИЕ97
6.	СПИС	ОК ИСПОЛЬЗУЕМЫХ СОКРАЩЕНИЙ И УСЛОВНЫХ ОБОЗНАЧЕНИЙ98
7.	СПИС	ОК ЛИТЕРАТУРЫ100

1. ВВЕДЕНИЕ

Актуальность исследования. Традиционно пероксиды широко применяются в полимерной химии в качестве инициаторов радикальной полимеризации и сшивающих агентов. Сравнительно новым и развивающимся направлением применения данного класса соединений является поиск природных и получение синтетических пероксидов с высокой противопаразитарной и противоопухолевой активностью.

Селективный синтез и регулируемая трансформация пероксидов остаются сложной задачей из-за их низкой стабильности (в сравнении с другими классами соединений) и склонности к легкому распаду по гомолитическому и гетеролитическому механизмам. В связи с необходимостью решения этих проблем поиск новых реагентов и методов синтеза пероксидов сохраняет свою актуальность.

Использование систем на основе органических пероксидов в сочетании с соединениями иода привлекает внимание, как для проведения реакций окисления, так и как новый инструмент создания связей С-О, С-Наl, С-S, С-N и С-С. Оказалось возможным использование системы источник иода / гидропероксид для активации и введения иода в процессах йодалкоксилирования алкенов, йодирования аренов, кетонов и алкинов. Эта же система была применена для окисления кетонов в лактоны по реакции Байера-Виллигера, в реакции сужения циклов 1,2-бензохинонов с образованием циклопентенонов, в процессах окислительной циклизации с получением гетероциклических соединений.

В литературе содержится несколько сообщений о применении данной системы для направленного синтеза соединений с фрагментом О-О. В реакции алкенов и эфиров енолов с системой I_2 / гидропероксид получали вицинальные йодпероксиды; известен также пример взаимодействия альдегидов с системой иодид-анион / гидропероксид с образованием ацилалкилпероксидов. Ограниченное число публикаций связано с тем, что в системах с иодом и пероксидами генерируются различные типы реакционноспособных частиц: иод- и кислородсодержащие ионы, свободные радикалы, синглетный кислород, что с одной стороны придает системам огромный потенциал для применения, с другой - определяет высокую сложность в разработке методов использования.

<u>**Цель работы.**</u> Введение в практику получения структур с фрагментом О-О систем на основе пероксида водорода и *тем*-бутилгидропероксида, иода и его соединений.

Поиск новых реакций пероксидирования и окисления непредельных и карбонильных соединений.

Научная новизна и практическая ценность работы. Изучены закономерности взаимодействия моно- и бициклических эфиров енолов, содержащих атом кислорода в цикле, с системой І2 / гидропероксид. Разработаны методы синтеза новых классов органических пероксидов. Установлено, что в случае моноциклических эфиров енолов и пероксида водорода образуется смесь продуктов, состоящая из вицинального йодпероксида, йодполуацеталя И йодлактона. Использование качестве пероксидирующего агента тетрагидропиранилгидропероксида (ТНРНР) приводит к селективному образованию вицинальных йодпероксидов с выходом до 91%. Бициклические эфиры енолов под действием системы І2 / Н2О2 превращаются в вицинальные йодпероксиды, cиспользованием третa бутилгидропероксида происходит гидропероксидирование двойной связи.

Впервые осуществлен синтез 1,2-тетрагидрофуродиоксололов, соединений с конденсированными тетрагидрофурановым и 1,2-диоксолановым циклами, взаимодействием 2-аллил-1,3-дикетонов с системой I_2/H_2O_2 с выходами 50-81%. Процесс необычен тем, что не происходит образования вполне ожидаемых мостиковых тетраоксанов, продуктов иодпероксидирования двойной связи и дигидропероксидирования карбонильных групп. Для образования циклов из дикетонов с ароматическими заместителями требуется использование фосфорномолибденовой кислоты.

В работе развит органокаталитический подход к получению пероксидов с использованием окислительного С-О-сочетания. Разработан метод пероксидирования различных СН-кислот: малоновых, ацетоуксусных и циануксусных эфиров, 9-метилфлуорена и 1-метилиндена под действием системы Bu₄NI / *t*-BuOOH. Соответствующие *трет*-бутилпероксиды получены с выходом 31-92%.

2. ИСПОЛЬЗОВАНИЕ СИСТЕМЫ ИСТОЧНИК ГАЛОГЕНА / ПЕРОКСИД В ОРГАНИЧЕСКОМ СИНТЕЗЕ (ЛИТЕРАТУРНЫЙ ОБЗОР)

Настоящий литературный обзор, охватывающий источники за период с 1923 по 2015гг, посвящен использованию системы соединение галогена / пероксид в органическом синтезе.

Отдельные аспекты галогенирования органических соединений с использованием системы источник галогена / пероксид освещены в обзоре [1]. Данные по использованию системы ТВАІ / t-ВиООН в реакциях окислительного сочетания содержатся в мини обзоре [2].

2.1. Окислительное галогенирование

окислительное галогенирование активированных Впервые аренов было осуществлено в 20-х гг XX столетия^[3,4]. Примерно в это же время было установлено, что в кислой среде пероксид водорода может окислять бромид-анион до молекулярного брома, который, окисляя избыток пероксида, восстанавливается обратно в бромиданион. Данная цепочка превращений является примером каталитического разложения пероксида водорода [5, 6]. Также распад пероксида значительно быстрей протекает в присутствии пары I₂ / I⁻. Несмотря на то, что в результате окисления галогенид-аниона образуется молекулярный галоген, это не означает, что именно он является активным галогенирующим агентом. Наиболее вероятными агентами являются гипогалоидные кислоты HOHal, во всяком случае, в реакциях хлорирования и бромирования. В случае йодирования известно много соединений гипервалентного йода, поэтому сложно определить точно природу йодирующего агента.

При изучении реакций с участием соединений галогенов в комбинации с пероксидами особое внимание уделяется значению рН реакционной среды. Дело в том, что взаимопревращения галоидных соединений являются рН-зависимыми процессами. При значениях рН выше 7 происходит самопроизвольное диспропорционарование молекулы галогена на галогенид и ${\rm HalO_3}^-$ -анионы. В присутствии кислоты наблюдается образование молекул ${\rm HOHal}^{[7]}$. Так как образующиеся оксоформы характеризуются

различным окислительно-восстановительным потенциалом, распад пероксида водорода в присутствии галогенов является также рH-зависимым процессом, скорость которого обратно пропорциональна значению $pH^{[8]}$.

2.1.1. Образование связи C-Cl

Окислительное хлорирование под действием системы HC1 / H_2O_2 требует использования большого количества хлороводорода и высокой температуры проведения процесса, что приводит к снижению селективности реакции. Как показано на схеме 1, **1-3** могут быть селективно превращены в соединения **4-6** с использованием 2-х или 4-х кратного избытка HC1 в среде кипящего метанола.

Схема 1.

Продукт монохлорирования анизола был получен только при использовании $t ext{-BuOOH}^{[9]}$. В этих условиях антрацен 7 окисляется в антрон $\mathbf{8}^{[10]}$.

Показано, что фторированые спирты способны активировать реакцию хлорирования [11,12]. Использование трифторэтанола (TFE) в качестве среды окислительного хлорирования аренов **9** позволило достичь количественных выходов **10** в присутствии 1,5 экв. хлороводорода (схема 2) [13].

Схема 2.

Авторы отмечают, что в среде TFE хлорирование протекает в два-три раза быстрее, чем в этаноле. Согласно квантово-химическим расчетам, использование TFE позволяет уменьшить активационный барьер реакции на 6 ккал / моль по сравнению с проведением процесса в этаноле.

Известны примеры активации реакции хлорирования под действием ультразвука. Хлорирование производных фенола под действием системы HCl / H₂O₂ проводят в присутствии большого избытка хлорирующего агента и окислителя в ацетонитриле под действием ультразвука (схема 3) [14].

Схема 3.

При хлорировании о-нитрофенола 12 без использования ультразвука конверсия субстрата составляет только 7 %.

Ультразвуковая активация использовалась также в реакции хлорирования карбазола 15 и других аренов под действием 3-х кратного избытка системы HCl / H_2O_2 в присутствии 10 мольн.% вольфрамата натрия при 75 °C с выходом 73%. Без ультразвука выход **16** составлял 56 % (схема 4) [15].

Схема 4.

Бромпроизводные образуются с выходом 76 % в среде дихлорэтана при 50 °C. Без обработки реакционной массы ультразвуком выход составил 59 %.

Система HCl / H_2O_2 была использована для получения *о*-хлорзамещенных аренов **20** и **21** двухстадийным методом хлорирования-декарбоксилирования производных бензойной кислоты **17** (схема 5) $^{[16, 17]}$.

Селективность по отношению к желаемым моно- и дихлорпроизводным регулировалась добавлением необходимого количества H_2O_2 .

Хлорирование алкенов **22** с образованием *транс*-дихлоралканов **23** проводили в неполярном растворителе CCl₄ в присутствии 6-ти кратного избытка HCl и 2-х кратного избытка H_2O_2 (схема 6) [18].

Схема 6.

$$\begin{array}{c|cccc}
R_4 & & 6 & HCl \\
R_1 & & 2 & H_2O_2 \\
R_2 & & CCl_4, RT & & R_1 & & R_2
\end{array}$$

$$\begin{array}{c|ccccc}
R_4 & & Cl & & R_3 \\
\hline
CCl_4, RT & & Cl & & R_2
\end{array}$$

Также система $HC1 / H_2O_2$ была применена в реакции хлорирования циклических и линейных оксимов **24** в двухфазной системе DCM / вода с образованием геминальных хлорнитрозопроизводных **25** (схема 7) $^{[19]}$.

Схема 7.

NOH
$$\frac{5 \text{ HCl}}{4 \text{ H}_2\text{O}_2}$$
 $\frac{10 \text{ H}_2\text{O}_2}{\text{AcOH, RT}}$ $\frac{\text{Cl}}{\text{R}_1}$ $\frac{\text{NO}_2}{\text{R}_2}$ $\frac{24}{\text{25, 78-88 \%}}$ $\frac{10 \text{ H}_2\text{O}_2}{\text{AcOH, RT}}$ $\frac{\text{Cl}}{\text{R}_1}$ $\frac{\text{NO}_2}{\text{R}_2}$

Соединения **25** могут подвергаться дальнейшему окислению до хлорнитроалканов **26** под действием надуксусной кислоты, генерируемой *in situ* из уксусной кислоты и 10-ти кратного избытка H_2O_2 . Выход нитрозосоединений **25** зависит главным образом от среды проведения процесса. Удовлетворительные выходы **25** были получены только в

двухфазных системах DCM / вода и бензол / вода. В однофазных системах метанол / вода, $T\Gamma\Phi$ / вода, и т.п. наблюдались продукты дезоксимирования оксимов с образованием соответствующих кетонов.

Окислительное хлорирование ацетофенона **27** в смеси концентрированной соляной кислоты и этилового спирта позволяет получить α , α -дихлорацетофенон **28** с выходом до 89 % (схема 8) [20]. Конечный продукт может содержать от 3 до 31% примеси монохлорпроизводного **29**.

Схема 8.

Другим примером хлорирования карбонильных соединений в α-положение является оксихлорирование β-кетосульфонов **30** под действием КСl в присутствии большого избытка пероксида водорода в среде водной уксусной кислоты с образованием α-хлор-β-кетосульфонов **31**. Соединения **31** могут быть превращены в различные продукты **32-34** (схема 9) [21,22].

Схема 9.

Реакцию хлорирования с использованием больших количеств хлороводорода, как правило, используют для получения полихлорированных соединений ^[23,24]. Контроль за селективностью реакции может быть осуществлён путём добавления различных количеств пероксида водорода. Например, монохлорирование **35** в соединение **36** наблюдается в присутствии 4 экв. HCl и 0,9 экв. H₂O₂, дихлорпроизводное **37** образуется при использовании 5 экв. HCl и 2,2 экв. H₂O₂ (схема 10).

Схема 10.

2.1.2. Образование связи C-Br

Более низкий окислительный потенциал Br-аниона по сравнению с хлорид-анионом облегчает окисление молекулы HBr пероксидом водорода. Данный факт позволяет проводить окислительное бромирование органических соединений в более мягких условиях и в присутствии меньшего количества реагентов. Тем не менее, селективное монобромирование электроноизбыточных ароматических соединений сопряжено с рядом трудностей. Например, бромирование 1,4-диметоксибензола под действием системы HBr / H_2O_2 в среде кипящего метанола приводит к образованию только дибромпроизводного $^{[9]}$. Аналогично, анилин 38 бромируется только с образованием трибромпроизводного 39 (схема 11) $^{[10]}$.

Схема 11.

Менее электронообогащенные нафталин и антрацен селективно превращаются в монобромпроизводные ^[10].

Проблему селективности реакции бромирования электроноизбыточных ароматических соединений удалось решить постепенным добавлением окислителя. В работе [25] с количественным выходом получен 3-бром-4-гидроксианизол бромированием *п*-гидроксианизола в присутствии 4-х кратного избытка НВг и небольшого недостатка (90 мольн %) пероксида водорода.

При бромированиии n-метилфенола увеличение количества пероксида водорода до 2,1 эквивалентов привело к количественному образованию 2,6-дибром-4-метилфенола $[^{25}]$. Аналогичным образом осуществлено бромирование различных анилинов и анизолов под действием системы NH_4Br / H_2O_2 в среде уксусной кислоты при комнатной температуре $[^{26}]$. Замена солей бромоводородной кислоты молекулярным бромом позволяет осуществлять бромирование в нейтральных средах. Такой подход использовался для получения бромпроизводных полифенолов — ключевых соединений в создании огнестойких материалов $[^{27}]$.

Система HBr / H_2O_2 была успешно использована в реакциях дибромирования алкенов и алкинов ^[9]. Циклооктадиен **40** преимущественно превращается в дибромид **41** в двухфазной среде CCl_4 / вода, тогда как в среде метанола был селективно получен циклический эфир **42** (схема 12).

При добавлении в реакционную массу HCl наблюдалось образование трёх продуктов: дибромциклооктана, дихлорциклооктана и 2-хлор-1-бромциклооктана ^[9].

Бромирование различных алкенов и алкинов безводной системой $NaBO_3 \cdot H_2O_2$ / NaBr в уксусной кислоте позволяет получать дибромпроизводные с выходами 72-88 % $^{[28,29]}$.

Система КВr / HCl / H_2O_2 в среде толуола при комнатной температуре была использована для бромирования α -метиленовой группы 1,3-дикетонов **43** (схема 13) [30].

$$R_{1} \xrightarrow{O} Q \xrightarrow{KBr} R_{2} \xrightarrow{H_{2}O_{2}} R_{1} \xrightarrow{O} Q \xrightarrow{R_{2}} R_{2}$$

Схема 13.

Авторы отмечают, что для достижения количественного выхода **44** требуется 1 экв. КВг и HCl и 1,2 экв. $\rm H_2O_2$ и интенсивное перемешивание.

При бромировании диоксана в зависимости от количеств используемых реагентов могут образовываться продукты моно- и дибромирования. Аналогичная зависимость наблюдается при бромировании ацетофенона **27** системой HBr / H_2O_2 . При соотношении бромоводорода и пероксида 1,5:1,1 образуется только

монобромпроизводное **45**, тогда как при соотношении 24:4 главным продуктом является дибромид **46**, однако в смеси также присутствует 15 % **45** (схема 14) [31,32].

Схема 14.

В аналогичных условиях α-инданон селективно превращается в 2,2-диброминданон-1 с 89 %-ным выходом.

При бромировании алифатических и ароматических оксимов **24** были получены смеси моно- и дибромпроизводных **47** и **48** при конверсии оксима 20-97% (схема 15)^[33].

Схема 15.

$$R_{1} \xrightarrow{NOH} \frac{HBr}{H_{2}O_{2}} \xrightarrow{R_{1}} R_{1} \xrightarrow{O} \xrightarrow{Br} + R_{1} \xrightarrow{O} \xrightarrow{Br} Br$$

$$\mathbf{24} \xrightarrow{\mathbf{47}} \mathbf{48}$$

Электронодонорные заместители в ароматическом кольце способствуют протеканию конкурирующей реакции бромирования ароматического кольца. В работе [34] было осуществлено бромирование различных алкилбензолов **49** в α -положение системой Br_2 / H_2O_2 или NaBr / H_2O_2 в двухфазной системе DCM / вода (схема 16).

Схема 16.

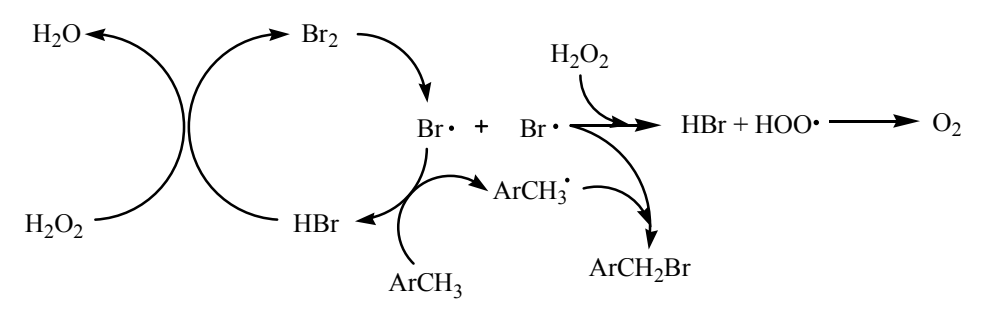
СН₃
Вг₂ или NaBr
Н₂O₂
DCM / H₂O,
$$\Delta$$

50, 92-94 %

Наличие электроноакцепторных заместителей в ароматическом кольце приводит к снижению выхода продукта **50**. Использование двухфазных систем также позволяет получать продукты бромирования дезактивированных производных бензола с выходами 88-98 %. Попытка введения атома брома в третичный ^{sp3}C-атом не увенчалась успехом в связи с протеканием реакции элиминирования с образованием α-метилстирола и *цис*- и *транс*-α-метил-β-бромстиролов.

Было обнаружено, что избыток пероксида водорода ингибирует реакцию бромирования ^[34]. Это объясняется способностью атомарного брома отрывать атом водорода от молекулы пероксида, инициируя тем самым распад окислителя (схема 17).

Схема 17.



Разработаны более экологически безопасные методики бромирования органических молекул, основанные на использовании сложноэфирных растворителей, ионных жидкостей (ИЖ) и сверхкритического диоксида углерода (ск-CO₂). При радикальном бромировании алкиларенов в сложных эфирах лучшие результаты были достигнуты при использовании метил пивалата [35].

В среде ИЖ bmim CCl₃COO было осуществлено окислительное бромирование фенилацетилена **53** и некоторых алкенов **51** системой NaBr / H₂O₂. Реакцию инициировали добавлением серной кислоты (схема 18).

Схема 18.

$$\begin{array}{c} \text{ROM}_{\text{CH}_{2}} & \begin{array}{c} 2.0 \text{ NaBr} \\ 1.0 \text{ H}_{2}\text{O}_{2} \end{array} \\ \text{NOCH}_{3} & \begin{array}{c} \text{Br} \\ \text{S2, 90-95 \%} \end{array} \\ \text{CCI}_{3}\text{COO} & \begin{array}{c} \text{Br} \\ \text{S2, 90-95 \%} \end{array} \\ \text{Ph} & \begin{array}{c} \text{Br} \\ \text{S3} \end{array} \\ \text{NOCH}_{3} & \begin{array}{c} \text{Br} \\ \text{S4, 85 \%} \\ \text{CCI}_{3}\text{COO} & \begin{array}{c} \text{uuc / mpanc 20 / 80} \end{array} \end{array}$$

Дибромпроизводные **52** и **54** получены с выходами 70-95 %. Бромирование системой NaBr / H_2O_2 в ИЖ протекает с такой же стереоселективностью, как и традиционное бромирование молекулярным бромом ^[36].

Сверхкритические среды, а именно ск- CO_2 , имеют несколько привлекательных свойств, а именно: они нетоксичны, негорючие, дешевые, регенерируемые ^[37,38]. Реакция бромирования *о*-крезола системой NaBr / H_2O_2 в ск- CO_2 изучена в ^[39]. В двух фазной среде ск- CO_2 / вода конверсия субстрата составила 54 %. Добавление в реакционную смесь NaHCO₃ позволило увеличить конверсию субстрата до 89 %. Предполагается, что активным окислителем является генерирующаяся *in situ* надугольная кислота (схема 19). В водной среде при 408 °C наблюдалась 12 %-ная конверсия.

$$H_2O_2 + CO_2$$
 HOO ONA

NaHCO₃ + H_2O_2 HOO ONA

NaHCO₃ + H_2O_2

Окислительное бромирование ароматических соединений **55**, **58** и **61** системой HBr / H_2O_2 осуществлено в водной среде. Для успешного проведения реакции требуется избыток H_2O_2 , так как часть пероксида подвергается распаду под действием кислоты (схема 20)^[40]. В случае постепенного добавления пероксида в реакционную смесь использование избытка окислителя не требуется.

Схема 20.

Авторы отмечают, что в ходе реакции не образуется других органических примесей, поэтому процедура выделения сводится к промыванию реакционной массы водой. 2-Броманилины **56** получены с выходом до 94 %. В случае активированного анилина **55b** образуется смесь моно- и дибромпроизводных **56** и **57**. Для селективного синтеза **57** требуется избыток реагентов. Отмечается, что *пара-трет*-бутилфенол в аналогичных условиях селективно превращается только в монобромпроизводное **59b**, тогда как в случае *п*-нитрофенола **58a** образуется смесь моно- и дибромпроизводных **59a** и **60a** с низким выходом. Для бромирования бензола **61** требуется активация путем добавления кислоты, выход образующегося бромбензола **62** составляет 20 %.

В водной среде осуществлено бромирование системой HBr / H_2O_2 различных моно- и дикарбонильных соединений **63** (схема 21).

Схема 21.

$$R_1$$
 R_2
 R_2
 R_2
 R_2
 R_2
 R_3
 R_4
 R_2
 R_4
 R_1
 R_2
 R_4
 R_2
 R_4
 R_5
 R_6
 R_7
 R_8
 R_9
 R_9

Образующиеся монобромкетоны **64** были выделены с выходами 69-95 %. Селективность реакции была достигнута использованием разбавленных растворов системы HBr / H_2O_2 или присутствием избытка HBr. Авторы полагают, что вода также способна активировать молекулу субстрата, стабилизируя енольную форму ^[41].

Производные ацетофенона были получены при бромировании различных алкил аренов системой HBr / H_2O_2 . Предполагается, что образующийся продукт бромирования под действием воды превращается в соответствующий спирт, который в присутствии перекиси окисляется до кетона $^{[42]}$.

α-Бромкетоны **66** и **67** могут быть синтезированы окислительным галогенированием соответствующих спиртов **65** (схема 22) [41].

Схема 22.

Бромирование бензильного положения **68** осуществимо в водной среде ^[43,44]. Лучшие результаты были получены при фотохимическом инициировании видимым светом ^[41,45]. Бензилбромиды **69** были селективно получены с высокими выходами (схема 23).

Схема 23.

Для аренов с электроноакцепторными группами требуется облучение светом с большей мощностью, а для предотвращения преждевременного распада пероксида окислитель должен добавляться постепенно.

В водной среде в пристутствии катализаторов межфазного переноса, в частности тетраалкиламмоний галогенидов, осуществлено бромирование неактивированных ароматических соединений системой HBr / $H_2O_2^{[46]}$. Авторы отмечают, что процесс в присутствие ТВАВ протекает в 50-70 раз быстрее, чем без катализатора. Установлено, что каталитическая активность R_4NBr уменьшается в ряду: Et > Pr > Bu > Hex > Oct > Me. Замена бромид-аниона на хлорид или гидросульфат анионы не способствует какому-либо изменению каталитической активности. Количество работ, посвященных изучению окислительных процессов в водной среде, постоянно увеличивается [47-49].

Каталитическое бромирование

Использование катализаторов в реакциях окислительного галогенирования позволяет осуществлять процессы в более мягких условиях с более высокой селективностью по сравнению с аналогичными процессами, в которых катализаторы не используются. Наиболее популярными катализаторами окислительного бромирования являются соединения ванадия, молибдена и вольфрама. Это обусловлено способностью атомов металла данных типов образовывать координационные связи с молекулой пероксида. В ходе исследования ванадиевых пероксидаз в работе [50] был синтезирован комплекс ванадия (V) с основанием Шиффа, используемых в реакциях окислительного бромирования. На основании данных УФ, ЯМР-спектроскопии и кинетических данных было установлено, что активным катализатором является частица LVO(OH). Связывание молекулы перекиси приводит высвобождению протона, способствующего окислению бромид-аниона. В ходе реакции катализатор меняет строение и превращается LVO(O2). Интересно, что ванадий не меняет степени окисления в ходе реакций, а превращается в ряд пероксо-комплексов. Также механизм реакции остаётся до конца невыясненным, однако предполагается, что в процессах участвуют частицы HBrO или даже VOBr [51-55]. Как отмечалось в п. 2.1, реакции с участием гипогалоидных анионов обычно проводятся к кислой среде; вероятно, поэтому в большинстве источников, посвященных каталитическому бромированию, процессы проводятся в присутствии кислот. На сегодняшний день можно выделить два основных катализатора на основе ванадия: NH₄VO₃ и V₂O₅.

Большинство описанных в литературе исследований посвящено бромированию ароматических соединений с электронодонорными заместителями. Данные процессы имеют исключительную *орто*-селективность, что обусловлено координацией атома

металла с функциональной группой арена. Ванадат аммония показал высокую каталитическую активность в окислительном галогенировании ароматических соединений под действием водного раствора пероксида водорода и галогенидов калия в среде ацетонитрил / вода в присутствии разбавленной $HClO_4$ [56]. Сульфат ванадила $VO(SO_4)$ или оксид ванадия V_2O_5 в этих условиях оказались неактивны.

При бромировании 1,3,5-триметоксибензола в воде образуется 10 % 2-бром-1,3,5-триметоксибензола, тогда как в смеси ацетонитрил / вода выход продукта достигает 90%^[56]. Для создания кислой среды в реакционную смесь можно добавлять стехиометрическое количество кислоты вместо использования протонного растворителя, что было продемонстрировано добавлением НВг. В воде образуется смесь моно- и диброманизола в равных количествах, тогда как двуфазная система вода / хлороформ способствует селективному образованию продукта 72 (таблица 1, схема 24) [57].

Схема 24.

Таблина 1.

			Экв.	Кат,	Катализатор,		Выход, %			
	R_1	R ₂	KBr	мольн. %	кислота Р	Раств.	71	72	73	
NH ₄ VO ₃										
70a	OCH ₃	OCH ₃	2	5	HClO ₄	CH ₃ CN/H ₂ O	65			
70b	ОН	ОН	2	10	HClO ₄	CH ₃ CN/H ₂ O	37			
70c	s-Bu	Н	2	10	HClO ₄	CH ₃ CN/H ₂ O	15			
70d	OCH ₃	Н	3	10	2 HBr	CHCl ₃ /H ₂ O	94			
70e	OCH ₃	Н	3	10	2 HBr	H ₂ O	48		48	
	$ m V_2O_5$									
70f	OCH ₃	Н	1	1	1 HBr	H ₂ O		68		
70g	OCH ₃	Н	1	2.5	8.4 AcOH	H ₂ O		30		
70h	OCH ₃	Н	1	1.5	0.5 H ₂ SO ₄	H ₂ O		79	6	
70i	ОН	Н	1	3	0.5 H ₂ SO ₄	H ₂ O		62	28	
70k	CH ₃	Н	1	2	0.5 H ₂ SO ₄	H ₂ O		58	2	
701	C_2H_5	Н	1	2	0.5 H ₂ SO ₄	H ₂ O		21	2	

При использовании большого количества (50 мольн. %) V_2O_5 добавление кислоты не требуется, так как такое количество катализатора само обеспечивает необходимую кислотность среды $^{[58,59]}$.

Бромирование 1,3-дикетонов в присутствии V_2O_5 облегчается енолизацией субстрата посредством образования хелатного комплекса с 1,3-дикарбонильным соединением $^{[60,61]}$. Каталитических количеств V_2O_5 (1,5 - 3 мольн. %) достаточно при проведении реакции в разбавленных растворах неорганических кислот $^{[62]}$. Окислительное бромирование ароматических соединений системой КВг / H_2O_2 в присутствии минеральной кислоты и каталитических количеств V_2O_5 реализовано с количественными выходами.

Ванадиевые катализаторы также изучались в реакциях бромирования алкенов **74** и алкинов **77** ^[57]. В данном случае наблюдается разный состав продуктов при проведении реакции в воде и двухфазной среде. В воде α -метилстирол под действием системы КВг / H_2O_2 количественно превращается в бромгидрин **76**. В двухфазной системе была получена смесь дибромида **75** и бромгидрина **76** в соотношении **31**:69 (схема **25**).

Схема 25.

Ещё более заметна разница на примере бромирования алкинов: при бромировании метилфенилацетилена 77 в водной среде в присутствии NH_4VO_3 был получен только геминальный дибромид 80, тогда как в двухфазной системе была получена смесь вицинальных дибромидов 78 и 79 (схема 26).

Схема 26.

В работах ^[51,63] изучалась роль ванадата аммония в реакциях бромирования алкенов. В работе ^[64] было проведено сравнение влияния на селективность аналогичного процесса гидрофильной и гидрофобной ионных жидкостей (ИЖ). Было показано, что в двухфазной системе ИЖ / вода преимущественно образуется бромгидрин. Несмотря на то, что бромирование в ионной жидкости протекает быстрей и эффективней, необходимые количества ИЖ (0,02 моль/л) делают данный процесс экономически нецелесообразным.

По сравнению с окислительным галогенированием ненасыщенных систем, получение галогенпроизводных прямым галогенированием алканов является более трудной задачей. В работе [65] изучалось бромирование циклогексана и бензола в присутствии природного комплекса ванадия (IV) — амавидина, выделенного из экстракта грибов *Amanita fungi*. Реакцию проводили в среде ацетонитрил / вода в присутствии перекиси водорода и избытка азотной кислоты при комнатной температуре. В качестве источника галогена использовали бромид калия.

Разработаны различные способы регенерации катализатора [66-76]. В работе изучалась активность комплекса **84** в реакциях окислительного бромирования стирола, этилбензола, фенола и салицилового альдегида **81** (схема 27).

Привитые на полистирол V- и Мо-комплексы показали каталитическую активность, сопоставимую со «свободными» комплексами. Такие качества, как высокая стабильность и удобство регенерации таких катализаторов делает перспективным их использование в промышленности.

Другой подход к упрощению процедуры регенерации комплексов заключается в инкапсулировании низкомолекулярных структур в цеолитах. Авторы [67] отмечают, что в ходе реакции бромирования ароматических соединений в присутствии инкапсулированного ванадата аммония не обнаружили процессов разрушения катализатора или вымывания его из цеолита. Установлено, что свежеприготовленный и регенерированный комплексы имеют схожую каталитическую активность.

менее эффективным классом катализаторов окислительного галогенирования с участием пероксида водорода являются комплексы молибдена (VI). Главным отличием таких соединений от комплексов ванадия (V) является их активность в слабокислых и нейтральных средах. Например, известно, что реакции бромирования, катализируемые $K_2[Mo_2O_3(O_2)_4] \cdot H_2O$, протекают при значении рН 5. Такое различие в активности катализаторов объясняется более высоким окислительновосстановительным потенциалом молибденового пероксокомплекса даже при более высоких значениях рН (5-7), что, в свою очередь, объясняется более высокой степенью окисления атома металла [68]. Однако, при более высоких значениях рН молибденовые комплексы способны катализировать реакцию диспропорционирования пероксида водорода – процесс, более известный как «тёмный» способ генерации синглетного Большинство исследований окислительного галогенирования, активированного комплексами молибдена (VI), тем не менее проводилось в кислой чтобы избежать разложения перекиси водорода [59,70-76]. среде,

окислительное бромирование фенолов, анилинов и их производных, катализированное молибдатом аммония эффективно протекает в уксусной кислоте (таблица 2, схема 28) [70]

Таблица 2.

R	Выход, %				
	85	86			
OCH ₃	85a , 99	86a , 0			
ОН	85b , 89	86b , 6			
NH ₂	85c , 84	86c , 8			
NMe ₂	85d , 95	86d , 4			
NHAc	85e , 99	86e , 0			

В работе $^{[59]}$ показано, что бромирование ароматических соединений в присутствии $H_2MoO_4 \cdot H_2O$ в среде ацетонитрил / вода эффективно протекает в присутствии 20 мольн. % $HClO_4$.

При окислительном бромировании фенилацетилена **53** в двухфазной системе DCM / вода преимущественно образуется 1,2-дибромстирол **54**, тогда как в среде ИЖ был получен дибромацетофенон **80** (схема 29) [71].

Авторы исследования утверждают, что продукты **87** и **80** образуются различными путями, а их соотношение определяется полярностью растворителя, используемого для экстракции Br₂ из неорганической фазы.

В ^[72-74] сообщается о разработке слоистых бисгидроксидов (LDH), используемых в качестве катализаторов в различных реакциях. Данные соединения состоят из

чередующихся катионных и анионных слоёв. Катионные слои состоят из граничащих друг с другом гидроксидов M(II) и M(III) с противоионом A^{n-} , расположенным между слоями или на конце ламели. Было показано, что противоионы VO_3^- , MoO_4^{2-} и WO_4^{2-} , находясь в гидроксидной оболочке, имеют более высокую каталитическую активность по сравнению со свободными анионами $^{[72,73]}$. В реакции Хунсдикера данные каталитические системы позволяют осуществить процесс с большим выходом целевого продукта **89**, чем аналогичные методики, не подразумевающие использование катализатора (схема 30) $^{[75,76]}$.

89. 90 %

В данном случае не требуется добавление кислоты, так как сам субстрат служит источником протона. Попытка осуществить данную реакцию без добавления катализатора в присутствии Br_2 в щелочной или нейтральной среде не увенчалась успехом.

Вольфрамовые катализаторы

88

Ещё более эффективными катализаторами окислительного бромирования по сравнению с молибденовыми и ванадиевыми катализаторами, являются соединения вольфрама (VI) $^{[77-79]}$, хотя и в этом случае необходима кислая среда для эффективного галогенирования и подавления разложения H_2O_2 . С целью создания катализатора, активного в нейтральной среде, были исследованы вольфрам-функционализированные слоистые бисгидроксиды LDH: (NiAl)LDH WO_4^{2-} или (MgAl)LDH WO_4^{2-} , полученные реакцией ионного обмена соответствующего нитрата или хлорида на вольфраматанион. В качестве тестовой реакции для изучения активности полученных катализаторов была выбрана реакция окислительного бромирования красителя фенолового красного 90 с образованием другого красителя бромфенолового синего 91 (схема 31).

Схема 31.

Синтезированные катализаторы оказались эффективны в нейтральной среде, тогда как в гомогенных условиях аналогичные результаты достигаются только при значении рН < 2,5. Данные гетерогенные катализаторы оказались нечувствительны к высоким концентрациям пероксида водорода и не подвергаются вымыванию металла, что значительно упрощает их регенерацию и повторное использование [72]. Бромирование некоторых ароматических соединений в двухфазной системе DCM / вода в пристутствии (MgAl)LDH-WO₄ протекает с высокими выходами бромпроизводных [80].

Катализатор (NiAl)LDH-WO₄ также использовался для бромирования различных алкенов в присутствии системы NH_4Br / H_2O_2 [74]. Бромирование производных стирола в метаноле или двухфазной системе хлороформ / вода приводит к образованию 2-бром-1-2-бром-1-гидрокси-1-фенилэтанов, метокси-1-фенилэтанов соответственно, ИЛИ несмотря на избыток бромид-анионов. Бромирование алифатических линейных и циклических алкенов протекает c меньшей селективностью. Более бромметоксилирование дополнительно осложняется возможностью образования дибромпроизводных, которое происходит в меньшей степени в двухфазной системе 2-МеТНГ / вода. Сопряженное присоединение не подчиняется полностью правилу Марковникова, что говорит о радикальном механизме реакции.

Нейтральная среда в системе H_2O_2 / NH_4Br / LDH- WO_4 делает возможным проведение одностадийного эпоксидирования. Кинетические исследования и метод меченых атомов показали, что превращение протекает не напрямую, а через стадию образования бромгидрина, который циклизуется в эпоксид под действием гидроксид-иона, образующегося на каждой стадии бромирования $^{[72,74]}$. Каталитический цикла данного превращения приведен на схеме 32.

Схема 32.

Выход образующихся эпоксидов составляет 86-94 %. Также соединения LDH-WO₄ использовались для получения галогенгидринов и их эфиров из циклических эфиров енолов в присутствии систем NH_4Br или NH_4I / H_2O_2 в среде водного ацетонитрила или $T\Gamma\Phi$ [81].

Гетерополикислоты являются сильными кислотами и обладают значительно более каталитической активностью, чем описанные выше гомогенные каталитические системы, к тому же они могут быть легко регенерированы после проведения процесса и повторно использованы. Главными недостатками этих соединений являются относительно малая стабильность и маленькая площадь поверхности. Для решения этих проблем гетерополикислоты обычно «закрепляют» на подходящем носителе, который способствует не только увеличению доступной площади поверхности, но и увеличению каталитической активности. каталитические системы получают, пропитывая циркониевые подложки 15 % гетерополикислот. В работах ^[82,83] описано бромирование фенола **35** системой KBr / комнатной температуре в уксусной кислоте В фосфорновольфрамовой кислоты (ФВК), нанесенной на циркониевую подложку (схема 33).

Схема 33.

Имеются сообщения об использовании в качестве подложек для создания аналогичных катализаторов фосфатов циркония $^{[84]}$ и титана $^{[85]}$.

Другой подход к созданию гетерогенных катализаторов заключается в получении силикатных материалов, привитых на титановую подложку. В присутствии таких катализаторов реакции галогенирования протекают в нейтральных водных или органических растворах [86]. Также описаны примеры использования титанмодифицированных фосфатов циркония и титана [87].

Метилтриоксорений (МТО) нашел применение в реакциях бромирования различных метилзамещенных фенолов и фенилацетиленов 77 под действием системы NaBr / H_2O_2 в среде AcOH (схема 34) [88].

Схема 34.

В работе сообщается, что активной формой катализатора является пероксо-форма МТО и при этом не происходит связывания фрагмента BrO с атомом металла. Таким образом, авторы делают вывод о том, что бромирующими частицами могут быть как молекулы Br_2 , так и катионы H_2OBr^+ .

2.1.3. Образование связи С-І

Соединения йода имеют ряд отличительных особенностей по сравнению с соединениями других галогенов:

- 1) йодид-анион имеет наименьший окислительный потенциал среди всех галогенидов;
 - 2) стабильность растворов HI ниже, чем растворов HBr и HCl;
- 3) йод наименее активный галоген, поэтому реакции йодирования требуют дополнительной активации.

В ряде случаев для процессов йодирования используют безводные источники пероксида водорода, такие как гидропероксомочевина (UHP), пербораты (NaBO₃•H₂O₂ и NaBO₃•4H₂O₂, SPB) и перкарбонаты натрия (Na₂CO₃•1,5H₂O₂, SPC).

В работе $^{[89]}$ изучалось йодирование различных аренов под действием системы КІ / H_2O_2 в соотношении 1:2 в среде метанол / вода, для активации реакции использовали серную кислоту (схема 35).

Схема 35.

Ar—H
$$\xrightarrow{\text{KI}\atop \text{H}_2\text{O}_2}$$
 Ar—I

В данных условиях различные ароматические соединения были количественно превращены в соответствующие йодпроизводные.

Установлено, что аминогруппа толерантна к реакционным условиям, поэтому анилины могут йодироваться с количественными выходами без постановки защитных групп. Интересно, что при использовании системы KI / H_2O_2 в различных соотношениях m-фенилендиамин **92** может быть селективно превращен в моно-, ди-или трийодпроизводное **93а-с** (таблица 3, схема 36).

Схема 36.

$$\begin{array}{c} NH_2 \\ NH_2 \\ \hline \\ 92 \\ NH_2 \\ \hline \\ NH_3 \\ \hline \\ NH_2 \\ \hline \\ NH_3 \\ \hline \\ NH_3 \\ \hline \\ NH_3 \\ \hline \\ NH_4 \\ \hline \\ NH_2 \\ \hline \\ NH_3 \\ \hline \\ NH_3 \\ \hline \\ NH_4 \\ \hline \\ NH_3 \\ \hline \\ NH_4 \\ \hline \\ NH_4 \\ \hline \\ NH_5 \\ \hline \\ NH_$$

Таблица 3.

	Экв. КІ	Экв. H ₂ O ₂	Экв. H ₂ SO ₄	T, °C	X_1	X_2	X_3	Выход, %
93a	1	2	1	0	I	Н	Н	80
93b	2	4	1.5	RT	I	I	Н	91
93c	3	6	2	50	I	I	I	95

Использование системы NH_4I / H_2O_2 в среде уксусной кислоты также позволяет получить йодпроизводные аренов с электронодонорными заместителями $^{[90]}$.

В исследованиях, посвященных йодированию карбонильных соединений, было изучено влияние различных кислот на протекание реакции. При йодировании ацетофенона **27** в иодид **94** наибольший выход был достигнут в присутствии серной кислоты в ацетонитриле. Алифатические циклические и линейные кетоны **95** селективно йодируются в присутствии 10 мольн. % H_2SO_4 в метаноле (схема **37**) [91].

Схема 37.

Pr
$$\frac{0.5 \text{ I}_2}{0.6 \text{ H}_2\text{O}_2}$$
 $\frac{0.5 \text{ I}_2}{\text{n-Bu}}$ Pr $\frac{0.5 \text{ I}_2}{\text{n-Bu}}$ Pr $\frac{0.5 \text{ I}_2}{\text{n-Bu}}$ Pr $\frac{0.6 \text{ H}_2\text{O}_2}{\text{n-Bu}}$ Pr $\frac{96.90 \%}{\text{n-Bu}}$

Соединения вольфрама (VI) в комбинации с системой KI/H_2O_2 использовались для окислительного йодирования ароматических амидов в среде уксусной кислоты ^[92]. Также показано, что $H_4SiW_{12}O_{40}$ может быть использован в качестве катализатора в окислительном йодировании кетонов системой I_2/H_2O_2 в метаноле при 65 °C ^[91].

Для йодирования sp3-гибридных атомов углерода был разработан особый метод, основанный на использовании системы I_2 / NaN_3 / H_2O_2 . Реакцию проводили в присутствии уксусного ангидрида и небольших количеств воды для регулирования концентрации H_2O_2 . Авторы полагают, что процесс протекает по радикальному механизму с промежуточным образованием IN_3 . Несмотря на то, что азид используется в большом избытке, это реакция является эффективным методом йодирования sp3-гибридных систем (схема 38) [93].

Схема 38.

$$R-H \xrightarrow{\begin{array}{c} 1 \text{ I}_2 \\ 3 \text{ H}_2\text{O}_2 \end{array}} R-I$$

Йодирование алкинов **97** в присутствии системы I_2 / H_2O_2 протекает селективно с образованием *транс*-дийодалкенов **98** (схема **39**) [94].

Схема 39.

$$R_1 = R_2 \xrightarrow{\begin{array}{c} I_2 \\ H_2O_2 \\ T\Gamma\Phi, RT \end{array}} R_1 \xrightarrow{\begin{array}{c} I \\ R_2 \\ I \end{array}} R_2$$

Авторы предполагают, что пероксид водорода окисляет молекулу I_2 до частицы I^+ , обладающую электрофильными свойствами. Атака частицы I^+ приводит к образованию иодониевого катиона, который реагирует с иодид-анионом, образуя дийодалкен.

В работе $^{[95]}$ изучалось йодирование триметоксибензола **99** в среде ИЖ под действием молекулярного йода в комбинации с водным пероксидом водорода или его комплексом с мочевиной (UHP). Интересно, что в двухфазной системе bmimPF₆ / вода реакция протекала быстрее, чем в однофазной bmimBF₄ / вода (схема 40).

Схема 40.

$$\begin{array}{c} OCH_{3} \\ OCH_{4} \\ OCH_{3} \\ OCH_{3} \\ OCH_{4} \\ OCH_{5} \\$$

Арены, содержащие донорные заместители, селективно йодируются в присутствии 50 мольн. % I_2 , тогда как для йодирования аренов с акцепторными заместителями требуется стехиометрическое количество йода. Кетоны: ацетофенон, инданон и тетралон — йодируются в α -положение по отношению к карбонильной группе с выходами 27-79 %.

Из-за низкой растворимости йода в воде йодирование в водной среде системой I_2 / H_2O_2 затруднено. Успешно осуществить такое превращение удалось для активированных аренов, таких как фенолы, анилины или анизолы (схема 41) $^{[96]}$. Авторы отмечают, что анилин **38** йодируется только в *пара*-положение.

Схема 41.

Окислительное йодирование в воде также осуществлено для различных пиразолов **106**. Под действием системы I_2 / H_2O_2 были получены 4-йодпиразолы **107** из соответствующих N-алкил-N-арилпиразолов (схема 42) [97].

Схема 42.

Йодирование аренов в водной среде проводят в пристутствие килоты ^[98,99] (схема 43).

Схема 43.

В описанных выше условиях ацетофенон **27** селективно йодируется под действием системы I_2 / H_2O_2 в α -положение к карбонильной группе. Добавка кислоты также требуется в случае использования йодида натрия $^{[100]}$.

Различные алифатические и ароматические кетоны йодируются системой $0.5~I_2~/~0.5~H_2O_2$ в ск- H_2O . Выход полученных продуктов достигает 86~% ^[96].

Разработан one pot метод синтеза α-йодкетонов **109** из спиртов **108** (схема 44) [100].

Схема 44.

Реакция представляет собой последовательность окислительного йодирования и окисления спиртовой группы под действием системы $NaI \ / \ H_2O_2$ в присутствии сульфокислоты.

Йодирование карбазола **15** стехиометрическим количеством системы HI / H_2O_2 проводили в среде уксусной кислоты при 100 °C под действием ультразвука. 3-Йодкарбазол образуется с выходом 80 %. Без ультразвука выход составлял 59 % [15].

Йодирование хинолинов **110** в 3-е положение селективно протекает под действием системы I_2 / t-BuOOH (схема 45) [101].

Схема 45.

$$\begin{array}{c|c}
R & I_2 \\
\hline
I_1 & I_2 \\
\hline
I_1, 2-DCE, \Delta
\end{array}$$

$$\begin{array}{c|c}
R & I_1 \\
\hline
I_1 & I_2 \\
\hline
I_1, 2-DCE, \Delta
\end{array}$$

$$\begin{array}{c|c}
R & I_1 \\
\hline
I_1, 2-DCE, \Delta
\end{array}$$

$$\begin{array}{c|c}
I_1 & I_2 \\
\hline
I_1, 2-DCE, \Delta
\end{array}$$

Показано, что йодиды ТВАІ и КІ, а также бромид йода не обладают каталитической активностью в данном процессе. Замена *t*-BuOOH пероксидом водорода снижает выход **111** с 73 до 23 %.

Йодирование анилина **38** системой UHP / H_2O_2 в этилацетате приводит к образованию единственного региоизомера **105** с выходом 64 % (схема 46) $^{[102]}$.

Схема 46.

Аналогичная реакция в хлороформе, активированная ультразвуком, приводит к **105** с меньшим выходом (58 %) $^{[103]}$.

В отсутствие растворителя при использовании гидропероксомочевины (UHP) 105 образуется с количественным выходом, тогда как с SPC наблюдалась лишь 74 %-ная конверсия субстрата [104]. Аналогичная зависимость наблюдалась при йодировании *пара-трет*-бутилфенола 58b с образованием смеси моно- и дийодпроизводных 112 и 113. С повышением количества используемого в реакции йода в присутствии UHP меняется соотношение продуктов 112 и 113. В присутствии 0,5 экв. йода преимущественно образуется монойодпроизводное. Увеличение количества йода до 1 экв. приводит к более селективному образованию дийодпроизводного. В случае использования в качестве окислителя SPC изменение количества йода не оказало влияния на селективность реакции – в любом случае продукты 112 и 113 образуются в равном соотношении с низким выходом (схема 47) [104].

Схема 47.

Под действием системы I_2 / UHP ацетофенон превращается в α -йодацетофенон с выходом 55 %. В случае использования SPC вместо UHP реакция не протекала вовсе^[105].

Йодирование различных аренов **114** проводили в смеси AcOH/Ac₂O под действием системы I_2 / UHP в присутствии избытка серной кислоты (схема 48) $^{[102]}$.

Схема 48.

Данная методика пригодна только для йодирования аренов с электроноакцепторными группами. При йодировании бензола выход йодбензола составлял 45 %, тогда как выходы *п*-йодбромбензола и *м*-йодбензойной кислоты, полученных при йодировании бромбензола и бензойной кислоты, соответственно, превышали 80 %.

SPC и SPB использовались для йодирования активированных аренов, например, анилинов, в среде $AcOH/Ac_2O$ в присутствии серной кислоты (схема 49) [106].

Схема 49.

В работах ^[107,108] аналогичная методика использовалась для бромирования ацетанилидов. Отмечается, что использование каталитических количеств вольфрамата натрия или ФМК способствует повышению выхода продукта йодирования.

2.1.4. Сопряженное присоединение к кратной связи

Сопряженное присоединение систем источник галогена / гидропероксид к алкенам является эффективным методом синтеза вицинальных галогенпероксидов. Для данного процесса обычно используют соединения галогена в степени окисления 0 или +1.

В работе ^[109] описан метод получения α-галогенацетальпероксидов **117** взаимодействием виниловых эфиров **116** с *трет*-бутилгипохлоритом и пероксидами (схема 50).

Схема 50.

Реакцию проводили в присутствии гидрокарбоната натрия при -25°C. Показано, что *трет*-бутилпероксиацетали получаются с большими выходами (40 %), чем гидропероксипроизводные (20 %).

В работе ^[110] пероксиды **119** получали с выходом 93 % по реакции алкенов **118** со смесью хлоргидрина и пероксида водорода, катализируемой серной кислотой (схема 51). Выход продукта – 93 %

Схема 51.

$$R_1$$
 R_2
 R_4
 R_4
 R_1
 R_2
 R_4
 R_1
 R_2
 R_4
 R_2
 R_4
 R_2
 R_4
 R_2
 R_4
 R_2
 R_4
 R_2
 R_3
 R_4
 R_2
 R_4
 R_2
 R_3
 R_4
 R_2
 R_3
 R_4
 R_2
 R_3
 R_4
 R_3
 R_4
 R_2
 R_3
 R_4
 R_3
 R_4
 R_4
 R_5
 R_5
 R_6
 R_7
 R_8
 R_9
 R_9

В работах $^{[111,112]}$ описан метод получения β -галогенгидропероксидов **121** с выходом 60-80%; реакцию проводили между алкенами **120** и системой N-галогенамид **124,125** / H_2O_2 в среде диэтилового эфира, при этом не происходит образования дигалогеналканов (схема 52).

Для получения β -хлоргидропероксидов авторы использовали эквивалентное количество N-хлорацетамида, алкена и 10-кратный избыток 98%-ного пероксида водорода. Реакцию проводили в среде диэтилового эфира в присутствии каталитических количеств n-толуолсульфокислоты. Так как процесс является экзотермическим, реакционную смесь охлаждали до 0° C.

Схема 52.

В синтезе β – бромгидропероксидов в качестве бромирующего агента использовали эквивалентное количество 1,3-дибром-5,5-диметилгидантоина, а в качестве пероксидирующего агента – 5-ти кратный избыток 98%-ного пероксида водорода. Для того, чтобы предотвратить образование дибромалканов, авторы вводили бромирующий агент в раствор алкена и гидроперекиси в эфире при – 40°C.

Авторы отмечают, что бромпероксиды получаются с большим выходом по сравнению с хлорпероксидами. Так, при хлорпероксидировании диметилбутена-2 был получен 2-хлор-3-гидроперокси-2,3-диметилбутан с выходом 60 %, тогда как выход аналогичного бромпероксида составил 76 %.

В реакции сопряженного присоединения системы Hal_2 / H_2O_2 (схема 53) наблюдается обратная зависимость: хлорпероксиды **125** образуются с большим выходом, чем аналогичные бромпероксиды ^[113]. Хлорпроизводные образуются с выходом 82-99 %, их бромсодержащие аналоги – с выходом не более 54 %.

Схема 53.

$$R_1$$
 R_2
 R_4
 R_2

Система NH_4I / H_2O_2 была применена в синтезе йодпроизводных углеводов (схема 54) [114]. Использование в качестве реакционной среды смеси уксусного ангидрида и уксусной кислоты исключает присутствие воды и обеспечивает селективное образование иодпроизводных 127 и 128 без примеси йодгидринов и дийодидов. Добавление в реакционную среду ацетонитрила сделало возможным проведение реакции при более низкой температуре, что способствовало повышению стереоселективности.

Схема 54.

Таким образом, авторам удалось добиться селективного 1,2-*транс*-присоединения с образованием преимущественно продукта **127а**. В аналогичных условиях **126b** дал небольшое количество продукта *цис*-присоединения **127c**. Аналогичные бромпроизводные образуются с низкой селективностью, а для полной конверсии исходного эфира енола требуется более продолжительное время. Соединение **126a** также подвергалось обработке системой NaI / H_2O_2 в присутствии уксусной кислоты в смеси $T\Gamma\Phi$ / вода. В этом случае выделенный из реакционной массы сырец обрабатывали раствором уксусного ангидрида в триэтиламине, тем самым получая смесь изомеров **127a,c,d**, с преобладанием изомера **127a** [115].

В $^{[116]}$ показано, что йодгидроксилирование алкенов **129** и **131** можно осуществлять в присутствии как I_2 , так и NaI (схема 55).

Схема 55.

Йодгидроксилирование под действием системы NaI / H_2O_2 в среде $T\Gamma\Phi$ / вода в присутствии различных кислот приводит к образованию йодгидринов с высокими выходами ^[115]. Наибольший выход **130** 95% был достигнут в присутствии HBF₄. В присустствии более слабых кислот, таких как щавелевая или фосфорная кислоты, конверсия **129** и **131** не превышала 65 %. Обе системы показали близкие результаты с точки зрения стерео- и региоселективности.

Обычно в реакциях сопряженного присоединения к алкенам в качестве нуклеофила выступает молекула растворителя (MeOH, AcOH, H_2O), однако пероксид водорода может также выступать в качестве нуклеофила ^[115]. Был синтезирован ряд йодпероксидов **134** взаимодействием системы ROOH / I_2 (R = t-Bu, THP, H) с различным алифатическими алкенами циклического и линейного строения (схема 56); наряду с йодпероксидами образуется значительное количество йодгидрина **135** ^[117,118].

Авторами было замечено, что увеличение количества йода способствует более селективному образованию йодпероксида **134**. Предполагается, что реакция протекает по двум маршрутам (схема 57). Согласно маршруту **A** йодпероксиалкан образуется в результате сопряженного электрофильного присоединения молекул йода и пероксида к двойной связи алкена. Маршрут **B** включает в себя стадию образования 1,2-дийодалкана, находящегося в равновесии с йодониевым катионом **I**, нуклеофильная атака на который приводит к образованию йодпероксида **134** или йодгидрина **135**. Подтверждением данной гипотезы может служить тот факт, что дийодциклогексан может быть превращен в йодпероксициклогексан **134** под действием системы I_2/H_2O_2 .

Схема 57.

$$\begin{array}{c|c}
I_2 & \delta + \delta - \\
\hline
 & I_{2O} & \delta + \delta - \\
\hline
 & I_{35} & \delta + \delta - \\
\hline
 & I_{2} & \delta + \delta - \\
\hline
 & I_{1} & \delta + \delta - \\
\hline
 & I_{1} & \delta + \delta - \\
\hline
 & I_{2} & \delta + \delta - \\
\hline
 & I_{2} & \delta + \delta - \\
\hline
 & I_{34} & \delta + \delta - \\
\hline
 & I_{2O} & \delta + \delta - \\
\hline
 & I_{35} & \delta + \delta - \\
\hline
 & I_{34} & \delta + \delta - \\
\hline
 & I_{35} & \delta + \delta - \\
\hline
 & I_{1} & \delta + \delta - \\
\hline
 & I_{2} & \delta + \delta - \\
\hline
 & I_{2} & \delta + \delta - \\
\hline
 & I_{34} & \delta - \\
\hline
 & I_{35} & \delta + \delta - \\
\hline
 & I_{35} & \delta + \delta - \\
\hline
 & I_{35} & \delta + \delta - \\
\hline
 & I_{35} & \delta + \delta - \\
\hline
 & I_{35} & \delta + \delta - \\
\hline
 & I_{35} & \delta + \delta - \\
\hline
 & I_{35} & \delta + \delta - \\
\hline
 & I_{35} & \delta + \delta - \\
\hline
 & I_{35} & \delta + \delta - \\
\hline
 & I_{35} & \delta + \delta - \\
\hline
 & I_{35} & \delta + \delta - \\
\hline
 & I_{35} & \delta + \delta - \\
\hline
 & I_{35} & \delta + \delta - \\
\hline
 & I_{35} & \delta + \delta - \\
\hline
 & I_{35} & \delta + \delta - \\
\hline
 & I_{35} & \delta + \delta - \\
\hline
 & I_{35} & \delta + \delta - \\
\hline
 & I_{35} & \delta + \delta - \\
\hline
 & I_{35} & \delta + \delta - \\
\hline
 & I_{35} & \delta + \delta - \\
\hline
 & I_{35} & \delta + \delta - \\
\hline
 & I_{35} & \delta + \delta - \\
\hline
 & I_{35} & \delta + \delta - \\
\hline
 & I_{35} & \delta + \delta - \\
\hline
 & I_{35} & \delta + \delta - \\
\hline
 & I_{35} & \delta + \delta - \\
\hline
 & I_{35} & \delta + \delta - \\
\hline
 & I_{35} & \delta + \delta - \\
\hline
 & I_{35} & \delta + \delta - \\
\hline
 & I_{35} & \delta + \delta - \\
\hline
 & I_{35} & \delta + \delta - \\
\hline
 & I_{35} & \delta + \delta - \\
\hline
 & I_{35} & \delta + \delta - \\
\hline
 & I_{35} & \delta + \delta - \\
\hline
 & I_{35} & \delta + \delta - \\
\hline
 & I_{35} & \delta + \delta - \\
\hline
 & I_{35} & \delta + \delta - \\
\hline
 & I_{35} & \delta + \delta - \\
\hline
 & I_{35} & \delta + \delta - \\
\hline
 & I_{35} & \delta + \delta - \\
\hline
 & I_{35} & \delta + \delta - \\
\hline
 & I_{35} & \delta + \delta - \\
\hline
 & I_{35} & \delta + \delta - \\
\hline
 & I_{35} & \delta + \delta - \\
\hline
 & I_{35} & \delta + \delta - \\
\hline
 & I_{35} & \delta + \delta - \\
\hline
 & I_{35} & \delta + \delta - \\
\hline
 & I_{35} & \delta + \delta - \\
\hline
 & I_{35} & \delta + \delta - \\
\hline
 & I_{35} & \delta + \delta - \\
\hline
 & I_{35} & \delta + \delta - \\
\hline
 & I_{35} & \delta + \delta - \\
\hline
 & I_{35} & \delta + \delta - \\
\hline
 & I_{35} & \delta + \delta - \\
\hline
 & I_{35} & \delta + \delta - \\
\hline
 & I_{35} & \delta + \delta - \\
\hline
 & I_{35} & \delta + \delta - \\
\hline
 & I_{35} & \delta + \delta - \\
\hline
 & I_{35} & \delta + \delta - \\
\hline
 & I_{35} & \delta + \delta - \\
\hline
 & I_{35} & \delta + \delta - \\
\hline
 & I_{35} & \delta + \delta - \\
\hline
 & I_{35} & \delta + \delta - \\
\hline
 & I_{35} & \delta + \delta - \\
\hline
 & I_{35} & \delta + \delta - \\
\hline
 & I_{35} & \delta + \delta - \\
\hline
 & I_{35} & \delta + \delta - \\
\hline
 & I_{35} & \delta + \delta - \\
\hline
 & I_{35} & \delta$$

Циклизацию различных пентен-4-олов-1 **136** с образованием β -бромэфиров **137** и **138** проводили под действием гидробромида пиридина и *t*-BuOOH в присутствии комплекса **139** (схема 58) [119].

Схема 58.

Различные замещенные арилселеновые кислоты **141** были использованы в качестве катализаторов бромлактонизации и бромирования ароматических соединений под действием системы KBr / H_2O_2 в среде буфера, который служит донором протона ^[120].

В бромлактонизации 140 каталитическая активность соединений 141 возрастает с увеличением электронодонорных свойств заместителей в ароматическом кольце 141

(схема 59), причем селеноксид **141с** обладает такой же активностью, как и селеновые кислоты **141а,b** [121].

PhSeCl в комбинации с NCS и NBS также может быть использован в качестве катализатора окислительного галогенирования. Авторы отмечают, что когда вместо NCS в качестве источника галогена использовалась система NaCl / H_2O_2 , выход аналогичного хлорпроизводного составил лишь 33 % [122].

Позднее было предложено использовать в качестве регенерируемого катализатора 4- (гидроксиметил)фенилбензил селеноксид, изолированный галогенпроницаемой мембраной ^[123]. В реакции бромлактонизации **140** такие каталитические системы не только сохраняют свою активность после 23-х раз использования, но и легче отделяются от реакционной массы по сравнению с обычными катализаторами.

теллурорганических соединений 145a-c очень схоже селенорганическими. Арилалкилтеллуриды способны катализировать окисление NaI, NaBr и NaCl 50 %-ным раствором пероксида водорода в среде фосфатного буфера в нейтральной среде, однако в случае NaCl требуются более жесткие условия [124]. С участием данной системы осуществлены реакции галогенлактонизации, галогенирования алкенов и ароматических соединений [124,125]. Водорастворимые производные могут быть использованы для йодирования в отсутствие органического растворителя [126]. Установлено, что при взаимодействии системы NaBr / H₂O₂ с алкенами образуются два продукта: бромгидрин 143 и дибромид 144, причем катализатор 145а-d не оказывает влияния на соотношение продуктов (схема 60).

Схема 60.

TePh
$$t$$
-Bu t -Bu

Авторы полагают, что этот факт указывает на то, что в образовании обоих продуктов участвуют одни и те же формы окислителя. Из дендримерных селен- и теллурсодержащих катализаторов **145c,d** PhSe-катализатор имеет высокую активность, объясняемую большим количеством каталитических групп, однако такого повышения активности не наблюдалось в случае с теллур-содержащим аналогом [127].

Из производных кислот Мельдрума **146** и N,N'-диметилбарбитуровых кислот **147** получены циклические йодпероксиды, содержащих винильную и пероксидную группы, в присутствии 1,3-дийод-5,5-диметилгидантоина **123b** в дихлорметане [128]. Авторы отмечают, что образование 1,2-диоксоланов **148** и **149** является высоко регио- и стереоселективным процессом (схема 61).

Схема 61.

В работе ^[129] описан метод получения бромпероксидов **151** реакцией бромирования **150** в среде дихлорметана при 0 °C (схема 62).

Схема 62.

В работе ^[130] при циклизации пероксида **152** в качестве источника электрофильного атома галогена использовался бис-(2,4,6-триметилпиридин)-йодонийгексафосфат (ВСІН) **154** (схема 63).

Схема 63.

Реакцию проводили в присутствии двукратного мольного избытка **154** в среде дихлорметана при комнатной температуре в течение одного часа.

Процесс циклизации пероксидов **155а-с**, основанный на генерации пероксикарбениевого иона, описан в работе ^[131] (схема 64). Пероксиды **156** и **157** получены с суммарным выходом 73%.

Схема 64.

На первой стадии образуется пероксикарбениевый ион **I**, который подвергается реакции внутримолекулярной циклизации с алкеном с образованием пероксидов **156** и **157**. Внутримолекулярная атака может протекать как по *эндо*, так и по *экзо*направлению. (схема 65).

Схема 65.

2.2. Реакции окислительного сочетания

2.2.1. Образование связи С-С.

Взаимодействием **158** с системой t-ВиООН / ТВАІ был получен ряд трициклических соединений **159** с высокой региоселективностью (схема 66) $^{[132]}$.

Схема 66.

Авторы работы полагают, что реакция инициируется О-центрированными радикалами t-ВиО• или t-ВиОО•, генерируемыми при взаимодействии молекулы пероксида и йодид-аниона. Последующая каскадная циклизация приводит к продукту **159** (схема 67).

Схема 67.

CN
$$R_1 R_2$$

$$R_3$$

Взаимодействием алкинов **160** со стриролом получен ряд соединений **161** с выходом до 91 %(схема 68) $^{[133]}$.

Схема 68.

В данной реакции ТВАІ, окисляясь под действием оксона, играет роль источника электрофильного I^+ , который и иницирует каскадную циклизацию **161** (схема 69).

Схема 69.

Использование в качестве среды реакции HFIP необходимо для создания слабокислой реакции среды. В качестве окислителя *t*-BuOOH менее эффективен.

В 2013 году был разработана реакция С-С сочетания между третичными аминами **162** и С-нуклеофилами под действием системы I_2 / H_2O_2 ^[134]. Продукты сочетания **163** образуются с выходом до 93 % в присутствии 0,1 экв. йода и 2 экв. пероксида водорода при 40 °C (схема 70).

$$\begin{array}{c} \textbf{Cxema 70.} \\ \hline \\ \hline \\ \textbf{162} \\ \hline \\ \textbf{NuH} = \text{MeNO}_2, \text{EtNO}_2, \text{CH}_2(\text{COOEt})_2 \\ \end{array}$$

При использовании в качестве катализатора ТВАІ продукт **163** образуется с выходом 24%, а под действием системы I_2 / H_2O_2 в кислой среде его выход увеличивается 65 %. Однако авторы отмечают, что в данном случае требуется добавление ловушки радикалов - производных фенолов. Позже выходы, близкие к количественным, были получены при использовании в качестве окислителя кислорода в комбинации с йодидами (ТВАІ, NaI) $^{[135]}$.

Разработан метод формилирования индолов **164** N-метиланилином в присутствии системы TBAI / t-BuOOBz в кислой среде ^[136]. Данный метод применим как для N-замещенных, так и для незамещенных индолов (схема 71).

Схема 71.

Примечательно, что в случае использования в качестве окислителя H_2O_2 или DTBP реакция не протекает. В отсутствие ТВАІ удалось выделить **165** с выходом 15 %.

Введение в реакционную смесь ТЕМРО привело к резкому снижению выхода **165** до 30 %. На основе проведенных экспериментов авторы предположили, что реакция

протекает через окисление йодид-аниона с образованием бензоильного или *тем*-бутилокси радикала, которые дают старт реакции.

Позже та же группа исследователей обнаружила, что аналогичную реакцию под действием n-замещенных N,N-диметиланилинов можно осуществить в присутствии йодида калия $^{[137]}$. Для успешного проведения процесса также требуется создание кислой среды. В работах $^{[138,139]}$ показано, что наличие кислоты необходимо для подавления реакции разложения индола.

Разработан метод циклизации алкениланилинов **166** с образованием производных индолов ^[140]. Реакцию проводили под действием системы ТВАІ / *t*-ВиООН в ДМФА. Целевые индолы **167** образуются с выходом 71-99 % (схема 72). Неорганические иодиды (LiI, NaI, NH₄I) не проявили активности в данном превращении. В данном случае добавление ТЕМРО не оказало существенного влияния на выход **167**, что указывает на то, что в ходе реакции не образуются свободные радикалы.

Схема 72.

$$R_3$$
 R_3 R_2 0.3 TBAI 2.5 t -BuOOH R_3 R_3 R_4 R_5 R_5 R_5 R_6 R_7 R_8 R_9 R_9

В присутствии системы I_2 / t-ВиООН осуществлено окислительное сочетание карбонильных соединений **168** и **170** с различными арилацетиленами (схема 73) [141]. Использование системы I_2 / СНР не привело к образованию желаемого продукта **169** или **171**.

Схема 73.

$$\begin{array}{c}
0.2 \text{ I}_{2} \\
R_{1} \\
\hline
168 \\
\end{array} + \text{ HC} = R_{3} \\
\hline
\begin{array}{c}
0.2 \text{ I}_{2} \\
t\text{-BuOOH} \\
\hline
NaOAc, 1,2\text{-DCE, }\Delta
\end{array}$$

$$\begin{array}{c}
R_{2}OOC \\
R_{1} \\
\hline
\end{array}$$

$$\begin{array}{c}
R_{2}OOC \\
R_{2} \\
\hline
\end{array}$$

$$\begin{array}{c}
R_{2}OOC \\
R_{3} \\
\hline
\end{array}$$

$$\begin{array}{c}
R_{2}OOC \\
R_{4} \\
\hline
\end{array}$$

$$\begin{array}{c}
R_{2}OOC \\
R_{3} \\
\hline
\end{array}$$

$$\begin{array}{c}
R_{2}OOC \\
R_{4} \\
\hline
\end{array}$$

$$\begin{array}{c}
R_{2}OOC \\
R_{3} \\
\hline
\end{array}$$

$$\begin{array}{c}
R_{2}OOC \\
R_{4} \\
\hline
\end{array}$$

$$\begin{array}{c}
R_{2}OOC \\
R_{4} \\
\hline
\end{array}$$

$$\begin{array}{c}
R_{2}OOC \\
R_{3} \\
\hline
\end{array}$$

$$\begin{array}{c}
R_{2}OOC \\
R_{4} \\
\hline
\end{array}$$

$$\begin{array}{c}
R_{2}OOC \\
R_{3} \\
\hline
\end{array}$$

$$\begin{array}{c}
R_{2}OOC \\
R_{4} \\
\hline
\end{array}$$

2.2.2. Образование связи C-N

Разработан метод синтеза α -кетоамидов из арилметилкетонов **27** и диалкилформамидов под действием системы ТВАІ / t-ВиООН в водной среде ^[142]. Целевые продукты **172** выделены с выходом 54-90 % (схема 74).

Схема 74.

Наряду с ТВНР были апробированы другие пероксиды, такие как DТВР и ВРО, однако ни один из них не проявил никакой активности в процессе. Отмечается, что при использовании пиперидина вместо амидов образования продукта C-N сочетания не наблюдается.

Авторы предполагают, что реакция начинается с образования t-ВиО-радикала, образующегося при окислении йодид-аниона пероксидом. Образовавшиеся О-центрированные радикалы отрывают атом водорода от молекулы кетона и формамида. При этом ацилрадикал, образовавшийся из формамида, теряет молекулу СО с образованием N-центрированного радикала. Рекомбинация двух новых радикалов с последующим окислением CH_2 -группы избытком t-ВиООН приводит к образованию продукта **172**. Данный процесс также осуществим под действием системы I_2 / t-ВиООН в присутствии бензойной кислоты в среде толуола при 80 °C [143].

В $^{[144]}$ описан метод синтеза кетоамидов **172** взаимодействием ацетофенонов **27** и диалкиламинов в присутствии системы NIS / t-ВиООН в ацетонитриле при комнатной температуре. Использование системы ТВАІ / H_2O_2 привело к образованию следовых количеств **172**. Авторы исключают возможность образования в реакционной среде радикалов, так как присутствие радикальной ловушки ТЕМРО не оказывает влияния на выход продукта.

Синтез амидов **174** взаимодействием альдегидов **173** и диалкиламидов в присутствии системы ТВАІ / t-ВиООН осуществлен в $^{[145]}$ (схема 75).

Схема 75.

$$R_{1}$$
 R_{2}
 R_{1}
 R_{2}
 R_{1}
 R_{2}
 R_{2}
 R_{1}
 R_{2}
 R_{1}
 R_{2}
 R_{1}
 R_{2}
 R_{1}
 R_{2}
 R_{1}
 R_{2}
 R_{1}

Показано, что в качестве исходных соединений вместо альдегидов можно использовать спирты $^{[146]}$.

Установлено, что температура играет крайне важную роль в протекании реакции. При повышении температуры с 60 до 90 °C выход **174** возрастает с 0 до 88 %. Другие соединения йода (I_2 , NaI и CuI) не показали какой-либо каталитической активности, однако данный процесс возможно осуществить под действием системы I_2 / t-ВиООН при добавлении в реакционную смесь каталитических количеств NaOH $^{[147]}$.

Синтез амидов **175** из альдегидов **173** или спиртов **176** (схема 76) осуществлён в ^[148]. В качестве N-компоненты для окислительного амидирования использовался гидрокарбонат аммония.

Схема 76.

Показано, что при окислительном амидировании ацетофенона **27** йодид аммония играет двоякую роль: катализатора и N-компоненты амидирования.

Разработан метод получения амидов **179** из альдегидов **178** и ароматических вторичных и третичных аминов (схема 77) [149].

Схема 77.

$$R_1$$
 O + R_2 N Ar $\frac{\text{CH}_3}{\text{Ar}}$ $\frac{0.2 \text{ TBAI}}{4 \text{ } t\text{-BuOOH}}$ $\frac{\text{O}}{\text{R}_1}$ $\frac{\text{O}}{\text{R}_2}$ Ar $\frac{\text{Ar}}{\text{R}_2}$

Ряд амидов получен с выходами 46-86 %. В работе ^[150] в качестве N-компоненты в аналогичной реакции использовались алифатические третичные амины. Выход соответствующих диалкилариламидов не превышал 49 %.

Система ТВАІ / mCРВА использовалась в синтезе азиридинов **180** из алкенов **51** (схема 78) [151].

Схема 78.

Авторы полагают, что йодид-анион окисляется надкислотой до йодноватистой кислоты HIO, являющейся активным катализатором процесса.

Синтез имидазо $[1,2-\alpha]$ пиридинов **182** реакцией сочетания 2-аминопиридинов **181** с ацетоуксусными эфирами и 1,3-дикетонами **43** под действием системы ТВАІ / t-ВиООН осуществлён в $^{[152]}$ (схема 79).

Схема 79.

Неорганические соли NaI и KI также проявили каталитическую активность в данной реакции и могут быть использованы вместо ТВАI. Данный процесс может быть осуществлён в присутствии $BF_3 \cdot Et_2O$, однако в этом случае выход продукта значительно ниже.

В работе ^[153] описывается метод синтеза оксазолинов **184** из кетоэфиров и бензиламинов **183** под действием системы ТВАІ / ТВНР (схема 80).

Схема 80.

Добавление радикальных ловушек ТЕМРО и ВНТ не оказало влияния на протекание реакции. Таким образом, авторы заключают, что данный процесс протекает через образование окисленных форм йода $[Bu_4N]^+[IO]^-$ и $[Bu_4N]^+[IO_2]^-$.

Реакция аминирования бензоксазолов **185**, катализируемая системой ТВАІ / t-ВиООН (схема 81), описана в работе [154].

Схема 81.

$$R_{1} \stackrel{\overbrace{\hspace{1cm}}}{ \stackrel{}{ }} \stackrel{O}{\underset{\hspace{1cm}}} \stackrel{O}{\underset{\hspace{1cm}}} \stackrel{O}{\underset{\hspace{1cm}}} \stackrel{O}{\underset{\hspace{1cm}}} \stackrel{O}{\underset{\hspace{1cm}}} \stackrel{O}{\underset{\hspace{1cm}}} \stackrel{R_{3}}{\underset{\hspace{1cm}}} \stackrel{O}{\underset{\hspace{1cm}}} \stackrel{R_{3}}{\underset{\hspace{1cm}}} \stackrel{O}{\underset{\hspace{1cm}}} \stackrel{O}{\underset{\hspace{1cm}}} \stackrel{R_{3}}{\underset{\hspace{1cm}}} \stackrel{O}{\underset{\hspace{1cm}}} \stackrel{O}$$

Соединения 186 выделены с высокими выходами. В ходе варьирования реагентов установлено, что реакция протекает и в случае использования пероксида водорода.

Исходя из того, что добавление в реакционную смесь ТЕМРО не оказало влияние на выход **186**, а использование I_2 вместо ТВАІ оказалось неэффективным, авторы предположили, что процесс протекает через образование частицы I^+ . Чтобы подтвердить данную гипотезу, был синтезирован N-йодморфолин гидроиодид **187**. Реакция в присутствии 10 мольн. % **187** привела к образованию целевого продукта с выходом 92 %. Таким образом, авторы заключают, что данный процесс протекает через образование фрагмента N-I, замещение атома I молекулой **185** приводит к образованию целевого продукта.

Окислительное сочетание, катализируемое системой ТВАІ / t-ВиООН, различных метиларенов **188** с бензотриазолом проводили в присутствии водного раствора t-ВиООН (схема 82) [155].

Схема 82.

$$R_1$$
 H CH_3 $+ N$ $0.1 TBAI$ $3 t-BuOOH$ $CH_3CN, 75 °C$ R_1 H $N = N$ $N =$

Интересно, что под действием системы I_2 / t-ВиООН реакция не протекает. Однако показано, что в присутствии тройной системы Bu_4NOH / I_2 / t-ВиООН **189** образуется с выходом 76 %. Известно, что в основной среде I_2 диспропорционирует на частицы I^- и IO^- , последняя из которых играет важную роль в окислении бензильного положения арена **188**. С другой стороны, авторы отмечают, что в присутствии ТЕМРО был выделен продукт его рекомбинации с **188**. Таким образом, авторы предполагают наличие двух альтернативных механизмов процесса.

Позже, при исследовании реакции феноксиалканов **190** с различными фенилтетразолами **191** (схема 83) [156] было высказано предположение, что в реакции образуются соединения йода в положительной степени окисления, которые выполняют функцию окислителя.

Схема 83.

$$R_1$$
 R_2 R_3 R_4 R_4 R_5 R_5 R_5 R_6 R_7 R_8 R_8 R_8 R_8 R_8 R_8 R_8 R_9 R_9

Окислительное имидирование кетонов **63** амидами **193** селективно протекает только в присутствии системы ТВАІ / t-ВиООН (схема 84) [157].

Схема 84.

Авторы предполагают, что реакция протекает через стадию енолизации кетона. Образовавшийся енол атакуется N-центрированным радикалом амида с образованием продукта **194**.

В реакции формамидов **196** с сульфонамидами **195** (схема 85) системы NaI / t-ВиООН и ТВАІ / t-ВиООН показали одинаковую каталитическую активность [158]. При замене t-ВиООН пероксидом водорода образования **197** не наблюдалось.

Схема 85.

2.2.3. Образование связи С-О

Энантиоселективная циклизация кетофенолов **198** в **199** протекает под действием системы йодид **200** / H_2O_2 (схема 86) [159].

Схема 86.

Под действием системы ТВАІ / t-ВиООН сочетание ароматических кетонов **63** с карбоновыми кислотами **201** протекает с высокими выходами (схема 87) [160].

Схема 87.

Ar
$$R_2$$
 + R_3 COOH $\frac{0.1 \text{ TBAI}}{\text{AcOEt, 50-75 °C}}$ Ar R_2 OCOR₃ 202, 30-99 %

В случае ацилоксилирования альдегидов и пиперидинов требуются более мягкие условия, чем для кетонов.

Авторы ^[161] установили, что лимитирующей стадией реакции ацилоксилирования в α-положение под действием системы ТВАІ / *t*-ВиООН является разрыв связи С-Н. Также удалось выделить продукт рекомбинации образовавшегося радикала и ТЕМРО. По-видимому, отрывая атом водорода от толуола с образованием стабильного бензильного радикала, *трет*-бутокси радикал даёт старт реакции. Окисление бензильного радикала гипойодит-анионом приводит к образованию бензильного катиона, который атакуется молекулой кислоты с образованием продукта **202**.

Ацилоксилирование бензиловых эфиров **203**, катализируемое системой ТВАІ / t-ВиООН, описано в ^[162]. Различные α -ацилоксированные **204** эфиры были получены с выходами 37-98 % (схема 88).

Схема 88.

$$R_1$$
 U OR_2 + R_3COOH OR_2 $OOCR_3$ O

Использование других окислителей, таких как оксон, пероксид водорода или O_2 , оказалось неэффективным в данном процессе. Авторы предполагают, что, как и в предыдущем случае, старт реакции даёт *трет*-бутокси-радикал, образующийся при окислении ТВАІ пероксидом.

Разработан метод синтеза аллиловых эфиров **205** реакцией ацилоксилирования алкенов под действием системы ТВАІ / t-ВиООН (схема 89) ^[163]. Показано, что данное превращение также осуществимо в присутствии mCPBA.

Схема 89.

$$R_3$$
 + R_5COOH $0.2 TBAI$ R_5COOH $0.2 TBAI$ R_5COOH R_3 R_4 R_1 R_2 R_1 R_2 R_2 R_3 R_4 R_2 R_3 R_4 R_5COOH R_3 R_4 R_5 R_5 R_5 R_4 R_5 R_5

Примечательно, что авторам удалось зафиксировать *п*-бромбензоил *трет*-бутил пероксид, образующийся при рекомбинации *трет*-бутокси- и *п*-бромбензоилоксирадикалов. Таким образом, был сделан вывод, что реакция протекает по радикальному механизму. Образование аллиловых эфиров **205** было полностью подавлено добавлением в реакционную смесь ТЕМРО, а продукт рекомбинации ТЕМРО и аллильного радикала был выделен с выходом 31 %. Авторы полагают, что аллильный радикал образуется в результате отрыва атома водорода от алкена под действием *трет*-бутокси-радикала.

При повышении температуры реакции до 120 °C происходит присоединение карбоновых кислот к двойной связи с образованием моноэфиров 1,2-диолов **206** или эфиров вицинальных аминоспиртов **207** (схема 90) [164].

Схема 90.

Система ТВАІ / t-ВиООН была использована для ацилоксилирования C^{sp3} -Н фрагмента формамидов и эфиров $^{[165]}$. Ряд N-ацилоксиформамидов и α -ацилоксиэфиров **209** и **210** был получен с выходами 42-98 % (схема 91).

Схема 91.

Основываясь на том, что добавление в реакционную среду ТЕМРО полностью подавляет реакцию, авторы предполагают, что реакция протекает по радикальному механизму.

Окисление алкилбензолов до бензоатов осуществлено в ^[166]. Реакция представляет собой окислительное сочетание алкилбензола и толуола, в ходе которого метильная группа толуола окисляется до карбоновой кислоты, а α-положение алкилбензола – до спирта (схема 92).

Схема 92.

$$R_{1} \xrightarrow{\text{II}} R_{2} + H_{3}C \xrightarrow{\text{C}} R_{3} \xrightarrow{\text{C}} R_{1} \xrightarrow{\text{II}} R_{2} \xrightarrow{\text{C}} R_{1} \xrightarrow{\text{C}} R_{2} \xrightarrow{\text{C}} R_{$$

Показано, что различные функциональные группы в кольце толерантны к реакционным условиям. Рассуждая о механизме, авторы предполагают, что окисление йодид-аниона приводит к образованию *трет*-бутокси-радикала, который инициирует гомолитический распад связи С-Н метильной группы толуола. Дальнейшее окисление бензильного радикала гипойодит-анионом приводит к образованию бензильного катиона, который превращается в бензойную кислоту, атакующую бензильный катион алкилбензола с образованием продукта 211.

Разработан также метод бензоилоксилирования алкиларенов ароматическими альдегидами в присутствии системы ТВАІ /t-ВиООН ^[167]. Целевые бензилбензоаты **211** образуются с выходом 15-96 %.

Показано, что реакция ингибируется ТЕМРО, что указывает на радикальный механизм процесса. При взаимодействии *t*-BuOOH и йодид-аниона образуются частицы t-BuO• и IO⁻. *теме* Бутокси радикал генерирует бензильный радикал из алкиларена. Гипойодит-анион окисляет образовавшийся радикал до катиона, а альдегид — до кислоты. Рекомбинация образовавшихся интермедиатов приводит к продукту **211**.

Особо отмечается, что реакция 2-пиколин-N-оксида с уксусным ангидридом приводит к образованию смеси ацетата пиридилкарбинола и продукта ацилоксилирования ароматического кольца.

Образование **211** также протекает при взаимодействии бензиловых спиртов и метиларенов под действием системы ТВАІ / t-ВиООН в присутствии NaH₂PO₄ [168].

Добавление в реакционную систему ВНТ привело к полному ингибированию процесса. В присутствии ТЕМРО был выделен продукт его рекомбинации с бензойной кислотой. Авторы предполагают, что спирт последовательно окисляется, превращаясь в ацилокси-анион, взаимодействие которого с бензильным катионом приводит к образованию 211.

Интересно, что при использовании в качестве катализатора КІ наблюдается падение выхода продукта до 11%. Однако в присутствии катализатора межфазного переноса дибензо-18-краун-6 выход **211** составлял 74 %. Использование системы I_2 / Bu_4NBr / t-BuOOH привело к образованию **211** с выходом 84 %, тогда как использование каждого из этих реагентов по отдельности не дало эффекта I_2 .

Система ТВАІ / *t*-ВиООН была использована для синтеза алкил ацил пероксидов **213** реакцией сочетания альдегидов **212** с *t*-ВиООН (схема 93) [169]. Согласно нашим сведениям, данная работа является первым примером синтеза пероксидов с использованием системы ТВАІ / *t*-ВиООН.

Схема 93.

R
$$\frac{0.2 \text{ TBAI}}{\frac{3 \text{ } t\text{-BuOOH}}{\text{H}_2\text{O}, 40 \text{ }^{\circ}\text{C}}}$$
 $\frac{0}{\text{R}}$ Ot-Bu 213, 5-90 %

В присутствии ТЕМРО был выделен продукт его рекомбинации с ацил-радикалом. Система $Bu_4NOH\ /\ I_2$ в данном случае оказалась неэффективна. Таким образом, авторы исключают образование частицы IO^- . Предполагается, что под действием каталитической системы образуются *трет*-бутилперокси и ацил-радикалы, рекомбинация которых даёт продукт **213**.

Разработан процесс окислительного сочетания альдегидов с N-гидроксиимидами, сульфонимидами и перфторспиртами (схема 94) [170].

Схема 94.

Авторы предполагают, что образующийся *теме* бутокси-радикал генерирует ацил- и окси-радикалы, рекомбинация которых даёт продукт **214**.

2.2.4. Образование связи C-S

Сульфонилирование α -метилстирола под действием системы ТВАІ / t-ВиООН (схема 95) описано в ^[171].

Схема 95.

$$CH_3$$
 $CH_2 + TosNHNH_2$
 $O.2 TBAI$
 $O.3 TOS$
 $O.4 T$

Взаимодействие **216** с тозилгидразидом в присутствии системы ТВАІ / t-ВиООН привело к образованию **217** (схема 96) [172].

Схема 96.

COOMe
$$R_{1} \stackrel{\text{OAc}}{=} COOMe + TosNHNH_{2} \stackrel{\text{0.2 TBAI}}{=} \frac{2 t - BuOOH}{H_{2}O, 80 \, ^{\circ}C} R_{1} \stackrel{\text{II}}{=} COOMe$$

$$216$$

$$217, 44-72\%$$

Наибольший выход **217**, 66%, был получен в водной среде. Удовлетворительные выходы сульфоноксииндолов также были получены при использовании системы KI / t-

ВиООН в присутствии краун-эфира. Циклизация **218** в **219** под действием ТВАІ / t-ВиООН протекает с выходом 45 % (схема 97) [173].

Схема 97.

Показано, что сульфонил-радикал может быть получен под действием системы ТВАІ / t-ВиООН на сульфонаты натрия в кислой среде $^{[174]}$.

Тиолы могут быть легко окислены пероксидами, однако авторам ^[175] удалось осуществить синтез тиоэфиров **220** и **221** под действием системы I_2 / t-BuOOH (схема 98).

Схема 98.

$$R \stackrel{1.05}{\longleftarrow} + PhSH \stackrel{0.1 \text{ I}_2}{\longleftarrow} + PhSH \stackrel{0.5 \text{ } t\text{-BuOOH}}{\longleftarrow} + PhSH \stackrel{0.5 \text{ I}_2}{\longleftarrow} + PhSH \stackrel{0.5 \text{ I}_2}{\longleftarrow$$

Схожую с I₂ каталитическую активность показал NIS. Йодиды ТВАІ и КІ не имели никакой активности. Среди окислителей наиболее эффективным оказалось использование TBHP, H_2O_2 $(NH_4)_2S_2O_8$. Использование **DTBP** оказалось неэффективным.

2.3. Прочие реакции

Синтез N-нитрозаминов из нитрометана как источника нитрозо-группы (схема 99) описан в $^{[176]}$.

Схема 99.

$$CH_3NO_2 + R_1 \sim R_3 = 0.3 \text{ TBAI} \\ \begin{array}{c} 0.3 \text{ TBAI} \\ 2.3 \text{ } t\text{-BuOOH} \\ \hline H_2O, 80 \text{ °C} \end{array} \sim \begin{array}{c} R_2 \\ N-NO \\ R_1 \end{array}$$

В качестве катализатора можно использовать как КІ, так ТВАІ. Предполагается, что реакция протекает через образование йоднитрометана, который разлагается с

выделением нитрозил катиона и формальдегида. Нуклеофильная атака амина на нитрозильный катион даёт желаемый продукт. Третичные амины превращаются в **222**, претерпевая распад C-N связи, в присутствии большего количества окислителя.

Высокоэффективный метод ароматизации 1,4-дигидропиридинов **223** под действием системы I_2 / UHP разработан в $^{[177]}$ (схема 100).

Схема 100.

$$R_{2}OOC$$
 R_{3}
 $R_{2}OOC$
 R_{4}
 R_{5}
 R_{5}
 R_{5}
 $R_{2}OOC$
 R_{1}
 $R_{2}OOC$
 R_{2}
 R_{1}
 $R_{2}OOC$
 R_{3}
 $R_{2}OOC$
 R_{4}
 R_{5}
 R_{5}
 R_{5}
 R_{5}
 R_{5}
 R_{5}
 R_{5}
 R_{5}

Использование в качестве окислителя KIO₃ вместо UHP требует добавления 25 мольн. % трифторуксусной кислоты.

2.4. Реакции карбонильных соединений и их производных с системой I_2 / гидропероксид

Кетоны под действием системы I_2 / H_2O_2 селективно превращаются в бисгидропероксиды **225** (схема 101) $^{[178,179]}$.

Схема 101.

$$\begin{array}{c}
O \\
R_1
\end{array} \begin{array}{c}
0.1 I_2 \\
3 H_2 O_2
\end{array} \begin{array}{c}
HOO OOH \\
R_1
\end{array} \begin{array}{c}
R_2
\end{array}$$
225, 50-98 %

Эфиры енолов **226** под действием системы I_2 / H_2O_2 превращаются в 9-ти членные трипероксиды **227** (схема 102)^[118].

Схема 102.

OCH₃
$$I_2$$
 R_2 R_1 R_2 R_2 R_1 R_2 R_2 R_1 R_2 R_2 R_1 R_2 R_2 R_2 R_2 R_2 R_2 R_2 R_2 R_2 R_2

Замена ацетонитрила на диэтиловый эфир приводит к образованию α-йодкетонов.

При взаимодействии соединений **225** в присутствии йода с кеталями образуются соединения **228** (схема 103) [180].

Схема 103.

HOO OOH
$$R_{2}$$
 R_{3} R_{4} R_{2} R_{4} R_{2} R_{4} R_{2} R_{4} R_{5} R_{1} R_{1} R_{2} R_{3} R_{4} R_{2} R_{4} R_{5} R_{5

2.5.Заключение

Анализ литературных данных позволяет сделать вывод о том, что химические превращения под действием системы соединение галогена / пероксид является одной из активно развивающихся областей органической химии. Однако синтезу пероксидов с использованием системы соединение галогена / пероксид посвящено лишь несколько работ. На сегодняшний день описаны единичные примеры использования данных систем в синтезе пероксидов:

Пероксидирование кеталей под действием системы бисгидропероксид / ${\rm I_2}^{\,[118]}$;

Взаимодействием алкенов с системой I_2 / ROOH с образованием вицинальных йодпероксидов $^{[118]}$;

Пероксидирование альдегидов системой ТВАІ / t-ВиООН с образованием ацил mpem-бутил пероксидов $^{[169]}$.

Таким образом, разработка методов синтеза органических пероксидов с применением системы соединение галогена / пероксид представляется актуальной задачей. Настоящая диссертационная работа посвящена разработке методов синтеза органических пероксидов с участием систем I_2 / ROOH и TBAI / t-BuOOH.

3. ОБСУЖДЕНИЕ РЕЗУЛЬТАТОВ

3.1.Взаимодействие моно- и бициклических эфиров енолов с системой I_2 / гидропероксид

3.1.1. Реакции 2,3-дигидрофурана 1а и 3,4-дигидро-2H-пирана 1b с системой I_2 / t-BuOO и I_2 / тетрагидропиранилгидропероксид (ТНРНР)

Йодпероксидирование 2,3-дигидрофурана **1a** (опыты 1-4) и 3,4-дигидропирана **1b** (опыты 5-8) проводили в среде Et_2O или CH_3CN - Et_2O , используя 4-кратный мольный избыток t-BuOOH и йод в соотношении 0.5-2 моль $I_2/$ моль субстрата **1a,b**. С целью подавления побочных окислительных процессов реакции проводили при 0 °C (схема 1, таблица 1).

Схема 1.

Таблица 1. Реакция 2,3-дигидрофурана **1a** и 3,4-дигидро-2H-пирана **1b** с системой I_2 / t-BuOOH; синтез пероксидов **2a,b**. ^a

№	Субстрат	Растворитель	Экв. І2	Время, мин	Выход 2а,b ^b , %
1	1a	Et ₂ O	0.5	30	2a, 28
2	1a	Et ₂ O	1	30	2a , 76 (68)
3	1a	Et ₂ O	2	30	2a , 56
4	1a	CH ₃ CN - Et ₂ O	2	30	2a, 52
5	1b	Et ₂ O	1	30	2b, 91 (82)
6	1b	Et ₂ O	1	120	2b , 88
7	1b	CH ₃ CN - Et ₂ O	1	30	2b , 56
8°	1b	Et ₂ O	1	30	2b , 17

^а **Общие условия реакции:** К 10 мл раствора I_2 (0.254 - 1.024 г, 1-4 ммоль) добавляли 51 % эфирный раствор t-ВиООН (1.386 г, 8 ммоль); к полученной смеси при перемешивании прикапывали раствор **1a** или **1b** (0.140 или 0.168 г, 2 ммоль) в 2 мл Et_2O при 0 °C. Перемешивали 30 или 120 минут при 0 °C.

^b Выход определён по данным ЯМР с использованием *n*-динитробензола в качестве стандарта. В скобках указан выход на выделенный продукт.

^сТемпература 20 °С.

Наибольший выход продуктов **2a** (76 %) и **2b** (91 %) наблюдали при продолжительности реакции 30 минут в присутствии эквивалентного количества йода (опыт 2). Двукратное увеличение или уменьшение количества йода приводит к снижению выхода **2a** (опыты 1 и 3). Увеличение продолжительности реакции до 2 часов не оказало существенного влияния на выход соединения **2b** (опыт 6). Использование смеси CH₃CN / Et₂O привело к резкому уменьшению выхода соединений **2a,b** (опыты 4, 7). Проведение реакции при комнатной температуре привело к образованию **2b** с выходом лишь 17 % (опыт 8).

Реакцию эфиров енолов **1a,b** с системой I_2 / THPHP проводили при 0 °C, используя стехиометрическое количество I_2 и 4-кратный мольный избыток THPHP (таблица 2, схема 2).

Таблица 2. Реакция 2,3-дигидрофурана **1a** и 3,4-дигидро-2H-пирана **1b** с системой I_2 / THPHP; синтез пероксидов **3a,b**.^a

No॒	Субстрат	Растворитель	Время, мин	Выход ^ь 3а,ь , %
1	1b	Et ₂ O	30	3b , 42
2	1b	Et ₂ O	120	3b, 86 (72)
3	1b	CH ₃ CN-Et ₂ O	120	3b, 46
4	1a	Et ₂ O	120	3a, 78 (65)
5	1a	CH ₃ CN-Et ₂ O	120	3a, 35

^аОбщие условия реакции: К 10 мл раствора I_2 (0,508 г, 2 ммоль) добавляли ТНРНР (0.945 г, 8 ммоль) к полученной смеси при перемешивании прикапывали раствор **1a** или **1b** (0.140 или 0.168 г, 2 ммоль) в 2 мл Et_2O при 0 °C. Перемешивали 30 или 120 минут при 0 °C.

^b Выход определён по данным ЯМР с использованием *n*-динитробензола в качестве стандарта. В скобках указан выход на выделенный продукт.

При использовании ТНРНР время реакции, необходимое для эффективного синтеза структур **3a,b** составляет 2 часа (опыты 1, 2). Наибольший выход **3a** и **3b** был достигнут в среде диэтилового эфира при T=0 °C. Аналогично опытам в таблице 1, добавление в реакционную смесь ацетонитрила привело существенному снижению выхода продуктов **3a,b**.

3.1.2. Реакции 2,3-дигидрофурана 1а и 3,4-дигидро-2H-пирана 1b с системой I_2 / H_2O_2

Реакции дигидрофурана и дигидропирана с системой I_2 / H_2O_2 проводили в условиях опыта 2 (таблица 1) с использованием эфирного раствора пероксида водорода, чтобы минимизировать вероятность образования йодгидрина.

При взаимодействии дигидрофурана **1a** с системой I_2 / H_2O_2 при 0 °C образуется сложная смесь продуктов (схема 3), состоящая из йодгидропероксида **4a** (выход 65%), полуацеталя **5a** (выход 15%) и α -йодлактона **6a** (выход 15%). В аналогичной реакции дигидропирана **1b** была получена смесь йодгидропероксида **4b** (выход 74%) и полуацеталя **5b** (выход 12%). Стоит отметить, что в случае окисления дигидропирана **1b** не происходит образования ожидаемого йодвалеролактона. Выход соединений **4-6** определяли по данным ЯМР с использованием n-динитробензола в качестве стандарта.

3.1.3. Реакция бициклических эфиров енолов 7а-с системой I₂/H₂O₂.

Принципиальное отличие бициклических эфиров енолов от их моноциклических аналогов заключается в отсутствии атомов водорода при двойной связи (схема 4). Вероятно, по этой причине образование йодгидропероксидов бициклических эфиров енолов 7а-с происходит более селективно в сравнении с аналогичными пероксидами

моноциклических эфиров енолов **1а,b**, которые претерпевают дальнейшие превращения.

Схема 4.

$$\begin{array}{c}
4 \text{ H}_2\text{O}_2 \\
1 \text{ I}_2 \\
\hline
& \text{Et}_2\text{O}, -40 -> 20 \text{ °C}
\end{array}$$

$$\begin{array}{c}
\text{Ta-c} \\
\text{a: } n = 0; \text{ b: } n = 1; \text{ c: } n = 2
\end{array}$$

Таблица 3. Реакция бициклических эфиров енолов **7а-с** системой I_2 / H_2O_2 ; синтез иодгидропероксидов **8а-с**^а.

No	Субстрат	Растворитель	Т-ра начала реакции, °С	Продукт
				(выход, %)
1	7a	Et ₂ O	-40	8a , (42)
2	7b	Et ₂ O	20	8b , (10)
3	7b	Et ₂ O	0	8b , (43)
4	7b	Et ₂ O	-40	8b , (82)
5	7b	CH ₃ CN-Et ₂ O	20	8b , (следы)
6	7b	CH ₃ CN-Et ₂ O	-40	8b , (следы)
7	7c	Et ₂ O	-40	8c, (40)

^аОбщие условия реакции: В 10 мл. Et_2O или CH_3CN растворяли I_2 (0.508 г., 2 ммоль), добавляли 2.53 М эфирный раствор H_2O_2 (3.16 мл., 8 ммоль) к полученной смеси при перемешивании и указанной в таблице температуре по каплям прибавляли раствор эфира енола 7 (2 ммоль) в 2 мл Et_2O . Перемешивали 1 час, равномерно повышая температуру до 20 °C. Выход указан на выделенный продукт.

Оптимизацию условий пероксидирования бициклических эфиров **7а-с** проводили на примере **7b** посредством изменения наиболее значимых параметров – температуры и растворителя. При понижении температуры от комнатной до -40 °C выход целевого продукта **8b** вырастает с 10 % до 82 % (опыты 2-4), что, по-видимому, связано с нивелированием влияния полимеризационных процессов с участием эфира енола. При проведении реакции в CH₃CN (опыты 6, 7) иодпероксид **8b** практически не образуется.

Йодгидропероксиды **8а-с** являются малоустойчивыми соединениями и при хранении разлагаются в течение двух недель при температуре 0- 5 °C.

3.1.4. Реакция бициклических эфиров енолов 7а-с с системой I₂ / t-BuOOH.

Реакции бициклических эфиров **7а-с** с системой I_2 / t-ВиООН проводили с использованием 4-х кратного мольного избытка t-ВиООН и эквимолярного количества йода, что привело к образованию пероксидированных оксабициклоалканов **9а-с** (схема 5, таблица 4). t-ВиООН, в отличие от пероксида водорода, является значительно более объемным реагентом, что оказывает решающее влияние на строение продуктов реакции. Взаимодействие бициклических эфиров енолов с системой I_2 / приводит к региоселективному присоединению t-ВиООН к двойной связи, образования йодированных производных не наблюдалось ни в одном случае.

Схема 5.

Таблица 4. Реакция бициклических эфиров **7а-с** с системой I_2 / t-BuOOH; синтез пероксидов **9а-с**^а.

№ опыта	Субстрат	Растворитель	Т-ра начала реакции, °С	Продукт (выход, %)
1	7a	Et ₂ O	-70	9a , (89)
2	7b	Et ₂ O	20	9b , (43)
3	7b	Et ₂ O	0	9b , (51)
4	7b	Et ₂ O	-40	9b , (70)
5	7b	Et ₂ O	-70	9b , (75)
6	7b	CH ₃ CN-Et ₂ O	-70	9b , (следы)
7	7c	Et ₂ O	-70	9c , (66)

^а**Общие условия реакции:** В 10 мл Et_2O или CH_3CN растворяли I_2 (0.508 г, 2 ммоль), добавляли 51 % эфирный раствор t-ВиООН (1.386 г., 8 ммоль); к полученной смеси при перемешивании и указанной в таблице температуре прибавляли по каплям раствор эфира енола 7 (2 ммоль) в 2 мл Et_2O . Перемешивали 1 час, равномерно повышая температуру до 20 °C. Выход указан на выделенный продукт.

В реакции с системой I_2 / t-ВиООН, как и в случае с I_2 / H_2 О $_2$, температура и природа растворителя (опыты 2-6) играют ключевую роль в синтезе целевого пероксида **9**. В опытах 2-5 при понижении температуры от 20 °C до -70 °C выход целевого пероксида **9b** вырос с 43% до 75%. Ацетонитрил (опыт 6) оказался непригодным растворителем для синтеза соединения **9b**. Продукты **9a-с** более стабильны в сравнении с пероксидами **8a-c**, однако, при хранении даже при 0 °C они заметно разлагаются в течение недели.

Таким образом, на данном этапе исследования был разработан метод синтеза различных монопероксиацеталей и кеталей. В реакции моноциклических эфиров енолов с системой I_2 / H_2O_2 образуются йодпероксиды, α -иодполуацетали и α -иодлактоны, а при действии систем I_2 / t-ВиООН и I_2 / ТНРНР получаются только продукты йодпероксидирования. Бициклические эфиры енолов превращаются с выходом 40 - 82 % в вицинальные йодпероксиды только под действием системы I_2 / H_2O_2 ; при использовании I_2 / t-ВиООН с выходом 66 - 89 % образуется продукт гидропероксидирования, йод не входит в состав целевой молекулы.

3.2.Взаимодействие 2-аллил-1,3-дикетонов с системой I_2 / H_2O_2 .

На следующем этапе исследования изучалось взаимодействие 2-аллил-1,3-дикетонов с системой I_2 / H_2O_2 . Вместо ожидаемых мостиковых тетраоксанов образуются бициклические фуродиоксололы **11а-і**, содержащие конденсированные тетрагидрофурановый и 1,2-диоксолановый циклы.

Синтез пероксидов **11a-f** из 1,3-дикетонов **10a-f**, содержащих алкильные заместители при карбонильных группах, проводили в смеси CH_2Cl_2 - Et_2O при комнатной температуре в присутствии 5-ти кратного избытка H_2O_2 и 2-х кратного избытка I_2 (схема 6, таблица 5). Введение различных заместителей в α -положение исходных дикарбонильных соединений не оказывает существенного влияния на выход образующихся соединений, но влияет на соотношение образующихся стереоизомеров.

Схема 6.

Таблица 5. Синтез 1,2- тетрагидрофуродиоксололов **11a-f**^a

	Дикетон 10а-f	Продукт 11a-f	Выход 11а-f , % ^b
1	H ₃ C CH ₃ CH ₂	H ₃ C H HO'' E CH ₃	50
2	t-Bu t-Bu CH ₂	(H ₃ C) ₃ C HO E C(CH ₃) ₃	81
3	$H_{3}C$ CH_{3} $H_{2}C$ $10c$	H ₃ C CH ₃ CH ₃ CH ₃ IIIc	50
4	H_3C H_2C Ph $10d$	H ₃ C Ph H ₃ C Ph HO II I I I I I I I I I I I I I I I I I	68
5	H ₃ C CH ₃ CH ₂ 10e	O CH ₃	56
6	H ₃ C CH ₃ CH ₂ 10f	H ₃ C O-O CH ₃ H ₃ C O-O CH ₃ H H H H H H H H H H H H H H H H H H H	72

^а**Общая методика**: К раствору I_2 (1.015 г, 4 ммоль) в 10 мл CH_2Cl_2 добавляли 1.88 М эфирный раствор H_2O_2 (5.3 мл, 10 ммоль), к полученной смеси при перемешивании и

комнатной температуре добавляли дикетон (2 ммоль). Смесь перемешивали 1 час при комнатной температуре.

^с Соотношение диастереомеров определяли по соотношению интегральных интенсивностей сигналов СНО и СН₃ групп в ¹Н ЯМР спектрах.

В случае 3-аллил-2,4-пентандиона **10а** в присутствии 0-1 экв. H₂O₂ наблюдалось образование 1-(4,5-дигидро-5-(йодометил)-2-метилфуранил-3-ил)этанона **12**. Дикетоны **10а-с**, содержащие в α-положении атом водорода или метильную группу, образуют только один диастереомер. Наличие двух объёмных заместителей при кето-группах приводит к образованию тетрагидрофуродиоксолола **11b**, отличающегося от соединений **11a** и **11c** конфигурацией C(3)-атома. Увеличение размера заместителя в α-положении субстрата способствует образованию смеси диастереомеров, отличающихся расположением CH₂I-группы. В случае стерически затрудненного 2-аллил-3-бензилпентан-2,4-диона **10d** наблюдалось образование диастереомерной смеси, обогащенной изомером **11d**'. Взаимодействие 3,3-диаллилпентадиона-2,4 с системой I₂ / H₂O₂ была получена смесь диастреомеров **11f** и **11f**' с соотношением 1:1 и суммарным выходом 72 %.

При взаимодействии ароматических дикетонов 10g, с системой I_2 / H_2O_2 в этих условиях вместо продуктов циклизации 11 были выделены лишь продукты окисления 13. Данный процесс удалось полностью подавить добавлением в реакционную среду катализаторов — гетерополикислот: фосфорномолибденовой (ФМК) и фосфорновольфрамовой кислот (ФВК) (схема 7, таблица 6).

Таблица 6. Взаимодействие 2-аллил-1,3-дифенил-1,3-пропандиона **10i** с системой I_2 / H_2O_2 в присутствии гетерополикислот^а.

	Кат, мольн. %	Выход 11і , % ^b	Выход 13і , % ^b
1	ФМК 20	66	-
2	ФМК 10	60	-

^b Выход на выделенный продукт.

3	ФМК 5	52	-
4	ФМК 1	40	7
5	ФВК 5	55	37
6	-	-	24

^а**Общая методика**: К раствору I_2 (1.015 г, 4 ммоль) в 10 мл CH_2Cl_2 добавляли 1.88 М эфирный раствор H_2O_2 (5.3 мл, 10 ммоль) и ФМК (0.0365-0.7301 г, 0.02-0.4 ммоль). К полученной смеси при перемешивании и комнатной температуре добавляли дикетон (2 ммоль). Смесь перемешивали 1 час при комнатной температуре.

^b Выход определён по данным ЯМР с использованием *n*-динитробензола в качестве стандарта.

Так, при уменьшении количества ФМК с 20 до 5 мол.% выход продукта **11i** уменьшается с 66 до 52% (опыты 1-3). При использовании 1 мольного процента ФМК наряду с продуктом циклизации наблюдалось образование продукта окисления **13i** (опыт 4). ФВК, в отличие от ФМК, оказалась менее эффективным катализатором для данного превращения; при использовании 5 мольных % ФВК продукт циклизации **11i** и продукт окисления **13i** образуются в сопоставимых количествах (опыт 5).

В оптимальных условиях при комнатной температуре в смеси CH_2Cl_2 - Et_2O в присутствии двукратного избытка иода, 5-ти кратного избытка пероксида водорода и 20 мольных % ФМК была проведена реакция циклизации различных ацетил- и бензоилацетофенонов **10g-i** (таблица 7, схема 8).

Cyona &

Ar
$$CH_2$$
 CH_2 CH_2

Таблица 7. Циклизация дикетонов **10g-і** под действием системы I_2 / H_2O_2 , в присутствии ФМК.^а

	Дикетон 10g-і	Продукт 11g-i	Выход 11g-i , %
1	Ph CH ₃	Ph H HO H HO H HO II I O E O TH I	30
	10g	11g / 11g' (dr 2:1)	
2	p-Tol CH ₃	p-Tol H HO HO II I O E O THE O	26
	10h	11h / 11h' (dr 2:1)	
3	Ph Ph CH ₂	Ph H HO H HO H HO I I	66
	10i	11i / 11i' (dr 2:1)	

^а **Общая методика**: К раствору I_2 (1.015 г, 4 ммоль) в 10 мл CH_2Cl_2 добавляли 1.88 М эфирный раствор H_2O_2 (5.3 мл, 10 ммоль) и ФМК (0.7301 г, 0.4 ммоль). К полученной смеси при перемешивании и комнатной температуре добавляли дикетон **10g-i** (2 ммоль). Смесь перемешивали 1 час при комнатной температуре. Выход указан на выделенный продукт.

Продукты 11g-і образуются в виде смеси диастереомеров с выходом 26-66%.

На основе имеющихся литературных данных мы предполагаем следующий механизм образования продуктов **11** (схема 9).

На первой стадии происходит атака двойной связи молекулой иода с образованием йодониевого катиона I, который циклизуется в тетрагидрофурановый интермедиат II, стабилизированный неподелённой электронной парой кислорода. Далее катион II присоединяет молекулу H_2O_2 с последующей циклизацией в продукт II. Данной циклизации способствует образование в ходе реакции сильной кислоты II.

Схема 9.

В случае монозамещенных дикетонов в отсутствие или при недостаточной концентрации пероксида водорода реализуется альтернативный путь - депротонирование катиона II с образованием продукта 12. Протонирование промежуточного гидропероксида III приводит к реакции диспропорционирования с образованием кетоэфира 13.

Доказательство строения полученных соединений

Строение соединений **11, 12** и **13** было доказано с помощью ЯМР-спектроскопии и HRMS. В ¹Н ЯМР спектрах наблюдается мультиплетный сигнал в области 4.0-4.5 м.д., соответствующий фрагменту СНО. Сигналы протонов при С6-атоме циклов лежат в интервале 1.5-2.5 м.д.

Согласно данным 13 С ЯМР спектроскопии, сигналы монопероксикетальных фрагментов хорошо различимы по разнице значений химических сдвигов сигналов. Сигнал атома углерода С(6а) в сочленении циклов находится в области 112-123 м.д., тогда как химический сдвиг сигнала атома углерода С(3) - 106-110 мд. Сигнал фрагмента СНО находится в области 75-80 м.д. Фрагмент CH_2I идентифицировали по характерному сильнопольному сигналу в области 8-10 м.д. Сигналы атомов С(3а) и С(4) находятся в области 14-60 м.д.

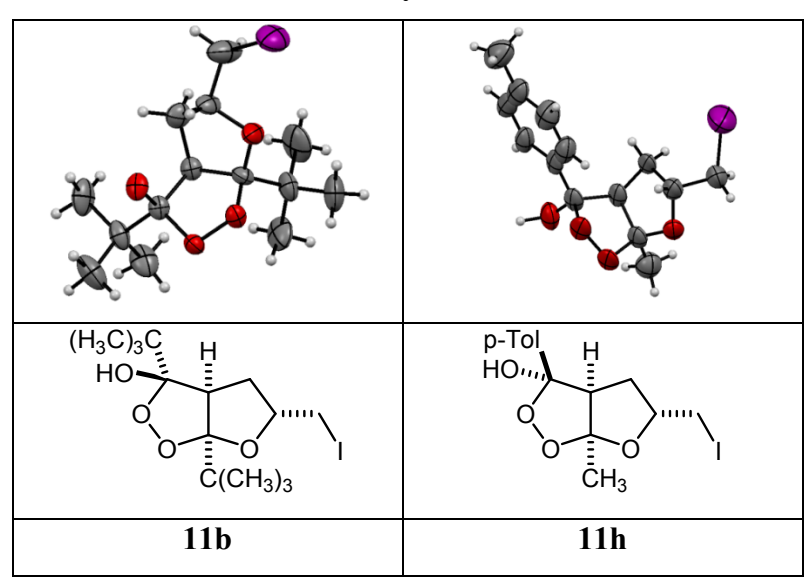
Наблюдаемое усложнение спектров за счет появления большего количества сигналов объясняется наличием двух стереоизомеров. Соотношение диастреомеров определяли интегрированием сигналов СНО- или СН₃-групп в протонных спектрах.

Для более точной идентификации веществ были использованы двумерные ЯМР методики: {\dangle H-\dangle H}COSY, \quad \dangle H-\dangle H}NOESY, \quad \dangle H-\dangle HBC \text{ } u \quad \dangle H-\dangle ABQC, \quad \text{ } что позволило не только установить структуру продуктов 11, но и изучить их стереохимию. В качестве примера, на рисунке 1 представлены наблюдаемые корреляции в NOESY-ЯМР спектре соединения 11a.

Рисунок 1.

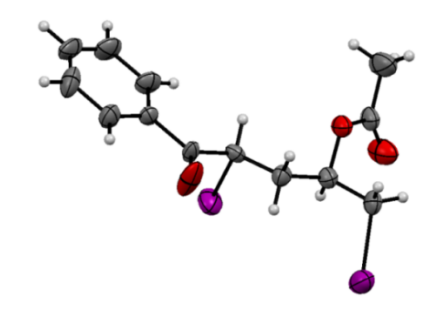
Соединения **11a-с** образуются в виде одного стереоизомера. Соединения **11d-i** – в виде смеси двух изомеров в различном соотношении. Для соединений **11b** и **11h** данные ЯМР исследования были подтверждены методом РСА (рисунок 2).

Рисунок 2.



Также для подтверждения данных ЯМР-спектроскопии нами был выполнен рентгеноструктурный анализ кетоэфира **12g** (рисунок 3).

Рисунок 3.



Таким образом, разработан опе-роt метод сборки бициклов, содержащих 1,2-диоксолановый и тетрагидрофурановый циклы по реакции 2-аллил-1,3-дикетонов с системой I_2 / H_2O_2 . Синтез этих структурно сложных молекул необычен тем, что не наблюдается образования ожидаемых мостиковых тетраоксанов, продуктов присоединения нескольких молекул H_2O_2 к карбонильной группе и продуктов йодпероксидирования двойной связи. Несмотря на то, что ацетилацетофеноны под действием системы I_2 / H_2O_2 окисляются в линейные структуры, данный процесс удалось полностью подавить добавлением в реакционную среду каталитических количеств гетерополикислот.

3.3.Взаимодействие малоновых, ацетоуксусных и циануксусных эфиров с системой ТВАІ / *t*-ВиООН

Заключительным этапом данной диссертационной работы стало исследование органокаталитического пероксидирования различных СН-кислот системой ТВАІ / *t*-ВиООН. В последние пять лет интерес к данной системе неуклонно растёт. На сегодняшний день имеется около пятидесяти сообщений о её применении в реакциях окислительного С-С, С-N, С-О и С-S сочетания. Однако на сегодняшний день известна лишь одна работа, посвященная синтезу пероксидов с участием данной системы [169].

Поиск условий пероксидирования α-бензилацетилацетона **14d** с получением α-бензил-α-*трет*-бутилпероксималоната **15d** проводили с использованием разнообразных соединений йода в различных растворителях (схема 10, таблица 8).

Схема 10.

$$EtO$$
 ОЕ t ОЕ t

Таблица 8. Пероксидирование α-бензилацетилацетона **14d** *тем* бутилгидропероксидом. а

	Кат, мольн. %	Р-ль	Выход ^b , %
1	TBAI, 50	CH ₃ CN	80
2	TMAI, 50	CH ₃ CN	83
3	KI, 50	CH ₃ CN	-
4	I ₂ , 50	CH ₃ CN	-
5	TBAI, 20	CH ₃ CN	91 (85)
6	TBAI, 10	CH ₃ CN	60
7	TBAI, 20	PhH	44
8	TBAI, 20	ДМФА	-
9	TBAI, 20	1,2-ДХЭ	16
10	TBAI, 20	Этанол	19

^а**Общая методика:** К 10 мл раствора диэтил бензилмалоната **14d** (0,541 г, 2 ммоль) добавляли 70 %-ный водный раствор t-ВиООН (0,773 г, 6 ммоль). Смесь нагревали до кипения и добавляли катализатор (0,2-1 ммоль). Раствор кипятили 2-8 ч.

^bВыход определён по ЯМР с использованием *п*-динитробензола в качестве стандарта. В скобках указан выход на выделенный продукт.

В опытах 1-4 в CH₃CN исследовали влияние природы катализатора на выход пероксида **15d**. Органические соли тетрабутиламмоний иодид (опыт 1) и тетраметиламмоний иодид (опыт 2) показали сходную активность в реакции пероксидирования **14d**. Йодид калия (опыт 3), молекулярный йод (опыт 4) не проявили активности в исследуемом процессе. В опытах 1, 5, 6 варьировалось количество катализатора. Найдено, что наибольший выход соединения **15d** достигается в присутствии 20 мольн. % Ви₄NI.

Максимальный выход **15d** получен в ацетонитриле (опыт 5). В бензоле, этиловом спирте, 1,2-дихлорэтане, ДМФА (опыты 7-10) выход **15d** падает до 0-44%.

В условиях опыта 5 (Таблица 8) осуществлен синтез пероксидов *15a-h* (схема 11, таблица 9), **17a-d, 19a-d** (схема 12, таблица 10).

Схема 11.

EtO

OEt

OEt

$$\begin{array}{c}
3 \text{ } t\text{-BuOOH} \\
0.2 \text{ } TBAI \\
\hline
CH_3CN, \Delta
\end{array}$$

EtO

OE

R

OOt-Bu

15a-h

Таблица 9. Выход пероксидов 15a-h.^а

EtO OEt H ₃ C OO <i>t</i> -Bu	C_2H_5 OO t -Bu	O O O O O O O O O O	EtO OEt Bn OOt-Bu
15a, 76 % EtO OEt OOt-Bu H ₂ C 15e, 67 %	15b, 73 % O O O O O O O O O O O O O O O O O O	15c, 83 % EtO OEt OOt-Bu 15f, 83 %	15d, 85 % EtO OEt OOt-Bu NC 15h, 83 %

^а **Методика синтеза пероксидов 15а-h**: К раствору диэтилмалоната **14a-h** (2 ммоль) в ацетонитриле (10 мл) добавляли 70 %-ный водный раствор t-ВиООН (0,773 г, 6 ммоль). Смесь нагревали до кипения и добавляли ТВАІ (0,148 г, 0,4 ммоль). Раствор кипятили 6 ч. Выход указан на выделенный продукт.

По результатам, представленным в таблице 9, можно сделать вывод, что предложенный метод пероксидирования применим к различным по строению α-замещенным малоновым эфирам. Выход полученных пероксидов колеблется в диапазоне от 87 до 99%, несмотря на наличие других реакционноспособных групп, таких, как бензильная, аллильная, кето- и нитрильная группы.

Схема 12.

EWG OEt
$$\frac{3 \ t\text{-BuOOH}}{0.2 \ \text{TBAI}}$$
 OEt $\frac{3 \ t\text{-BuOOH}}{0.2 \ \text{TBAI}}$ OEt $\frac{0}{16a\text{-d}, 18a\text{-d}}$ EWG OOt-Bu $\frac{17a\text{-d}, 19a\text{-d}}{17a\text{-d}, 19a\text{-d}}$ 17: EWG = C(O)CH₃ 18: EWG = CN

Таблица 10. Пероксидирование ацетоуксусных и циануксусных эфиров **16а-d**, и **18а-d**.

Выходы пероксидов **17а-d** и **19а-d** находятся в диапазоне 31-47 %. Взаимодействие 1,3-дикетонов и малонодинитрилов с системой t-ВиООН / Ви₄NI привело к образованию сложноидентифицируемой смеси продуктов.

При взаимодействии незамещенного диэтилмалоната **14i** с системой *t*-BuOOH / Bu₄NI был выделен продукт димеризации исходного субстрата **20** (схема 13).

EtOOC COOEt

14i

3 9KB.
$$t$$
-BuOOH
0.2 9KB TBAI

CH₃CN, Δ

EtOOC COOEt

20, 62 %

Исходя из полученных данных, предполагается два альтернативных пути процесса (схема 14). Реакция начинается с окисления пероксидом йодид-аниона в гипойодитанион. Согласно маршруту «А», ІО-анион окисляет молекулу *t*-ВиООН до *трет* бутилперокси-радикала; образование С-центрированного радикала происходит путём отрыва атома водорода от молекулы субстрата *t*-ВиО-радикалом. Продукт пероксидирования образуется путём рекомбинации образовавшихся радикалов.

По второму «В» маршруту $[Bu_4N]^+[IO]^-$, окисляется избытком пероксида до $[Bu_4N]^+[IO_2]^-$, который реагирует с малоновым эфиром по α -положению с образованием интермедиата **I**. Далее, в результате замещения *трет*-бутилгидропероксидом гипервалентного иода, связанного с органическим остатком, образуется целевой продукт.

Схема 14.

A

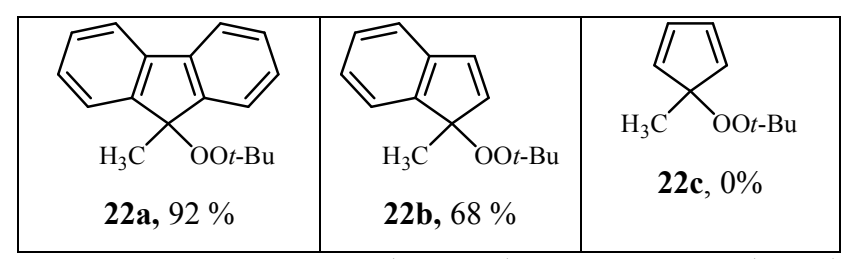
$$t\text{-BuOOH}$$
 $t\text{-BuOOH}$
 $t\text{-BuOOH}$

3.4. Взаимодействие 9-метилфлуорена и 1-метилиндена с системой ТВАІ / t-ВиООН.

В качестве субстратов были использованы также такие СН кислоты, как 9-метилфлуорен **21a**, 1-метилинден **21b** и 5-метилциклопентадиен **21c**. Реакцию проводили в среде кипящего ацетонитрила в течение 6 ч (схема 15, таблица 11).

Схема 15.

Таблица 11. Синтез пероксидов 22a-c^a.



^а **Общая методика**: К раствору **21а-с** (2 ммоль) в ацетонитриле (10 мл) добавляли 70 %-ный водный раствор t-ВиООН (0,773 г, 6 ммоль). Смесь нагревали до кипения и добавляли ТВАІ (0,148 г, 0,4 ммоль). Раствор кипятили 6 ч. Выход определен на выделенный продукт.

Для метилфлуорена **21a** выход продукта составил 92 %, для метилиндена **21b** – 68 %. В случае метилциклопентадиена **21c** целевой продукт не обнаружен.

Взаимодействие незамещенного флуорена **21d** с системой t-BuOOH / Bu₄NI в данных условиях привело к количественному образованию флуоренона **23** (схема 16).

Схема 16.

Механизм образования продуктов **22а,b**, вероятно, аналогичен представленному на схеме 14; в случае **21d** происходит дальнейшее окисление продукта.

Таким образом, в этой части работы предложен органокаталитический подход к получению пероксидов с использованием окислительного СО-сочетания. На его основе разработан метод пероксидирования различных СН-кислот: малоновых, ацетоуксусных и циануксусных эфиров, 9-метилфлуорена и 1-метилиндена под действием системы Bu₄NI / *t*-BuOOH в α-положение.

4. ЭКСПЕРИМЕНТАЛЬНАЯ ЧАСТЬ

Спектры ¹H и ¹³C ЯМР регистрировались на приборах Bruker AVANCE II 300 (300.1 и 75.5 MHz, соответственно) и Bruker AMX-III 400 (400.1 и 100.6 MHz, соответственно) с использованием растворителей CDCl₃. Масс-спектры были зарегистрированы на приборе Bruker maxis методом электрораспылительной ионизации (ESI)[181,182]. Измерения выполнены в режиме регистрации положительных (напряжение на капилляре: 4500 В) ионов. Диапазон сканирования т/г: 50 - 3000, калибровка - внешняя (Electrospray Calibrant Solution, Fluka). Использовался шприцевой ввод растворов веществ в ацетонитриле, скорость потока: 3 мкл/мин. Газ-распылитель: азот (0,4 бар); осушающий газ: азот (4,0 л/мин); температура интерфейса: 180 °C. зарегистрированные спектры были обработаны при помощи программного обеспечения Bruker DataAnalysis 4.0. ИК спектры регистрировались на спектрометре Bruker ALPHA FT-IR. Рентгенодифракционные исследования соединения проводили дифрактометре SMART APEX II CCD (МоКω-излучение, графитовый монохроматор, ω-сканирование). Структуры расшифрованы прямым методом и уточнены МНК в анизотропном полноматричном приближении по F^2_{hkl} .

В работе использовались коммерчески доступные реагенты: t-BuOOH (70% водный раствор), H_2O_2 (34% водный раствор), 2,3-дигидрофуран 99%, 3,4-дигидропиран 98%, циклопентанон 99%, циклогептанон 98%, аллилацетат 99%, дитрет-бутилпероксид 99%, ацетилацетон 99%, дибензоилметан 99%, бензоилацетон 99%, малоновый эфир 99 %, ацетоуксусный эфир 99%, циануксусный эфир 99%, малонодинитрил 99%, диэтил флуорен 99%. этилмалонат 14b диэтил фенилмалонат 14g 98%, 98%, фосфорномолибденовая кислота 80%, фосфорновольфрамовая кислота, тетрабутиламмоний йодид 98%, тетраметиламмоний йодид 99%, йодид калия 99%, йод 99% – использовали без дополнительной очистки. Циклогексанон, инден (Acros, 80%), циклопентадиен, метилвинилкетон, акрилонитрил, этилакрилат, алкилирующие агенты (метилйодид, н-бутилйодид, бензилбромид, аллилбромид) – перегоняли перед использованием. Колоночная хроматография выполнялась с использованием силикагеля фирмы Acros (0.060–0.200 мм). Эфирные растворы H_2O_2 и t-ВиООН получены экстракцией соответствующих водных растворов диэтиловым эфиром. Концентрацию пероксидов определяли йодометрическим титрованием. Растворители: Et₂O, ацетонитрил, CH₂Cl₂, бензол, 1,2-дихлорэтан, этилацетат, *трет*-бутанол, ДМФА – перед использованием перегоняли над соответствующим осущителем.

Синтез исходных соединений

Синтез оксабициклоалкенов

3,4,5,6,7,8-гексагидро-2*H*-хромен 7b

Раствор аллилацетата (60.000 г., 0.599 моль) и ди*трет*-бутилпероксида (175.476 г. 1.200 моль) в 117 г. циклогексанона прикапывали при перемешивании к кипящему циклогексанону (470 г.) в течение 6 ч. Смесь перемешивали при нагревании ещё 2 ч. Затем полученный раствор охлаждали до комнатной температуры, циклогексанон отгоняли при атмосферном давлении. Оставшееся масло перегоняли в вакууме (10 mm.Hg) при температуре 160-170 °C, растворяли в 123 мл. этанола и добавляли раствор КОН (16.433 г., 0.293 моль) в 156 мл. воды и перемешивали 12 часов. Суспензию экстрагировали 3×200 мл. DCM. Органические фракции объединяли, сушили над MgSO₄, растворители упаривали на ротационном испарителе при 10-15 мм.рт.ст. при 15-20 °C. К полученному маслу добавляли 0.100 г. ТsOH и перегоняли в вакууме (10 мм.рт.ст.). Получено 45 г (55%) 3,4,5,6,7,8-гексагидро-2*H*-хромена **7b** $T_{\text{кип}} = 103-105$ °C. (Лит. [183] $T_{\text{кип}} = 100-101$ °C, (10 мм.рт.ст.)). ¹H ЯМР (300.15 МГц, CDCl₃): $\delta = 1.2-2.3$ (м, 12H, $C(C\underline{H}_2)_4C$, $C(C\underline{H}_2)_2CH_2O$), 3.91 (м, 2H, $C(C\underline{H}_2)O$). Рассчитано для C_9H_14O : % C 78.21; % H 10.21. Найдено: % C 78.25; % H, 10.18.

2,3,4,5,6,7-гексагидроциклопента[*b*]пиран 7а

Получен по общей методике из циклопентанона и аллилацетата^[183]. Выход: 11,12 г (62%). $T_{\text{кип}} = 92\text{-}95$ °C, 10 мм.рт.ст. (Лит. ^[183] $T_{\text{кип}} = 93\text{-}95$ °C, (10 мм.рт.ст.)). ¹Н ЯМР (300.15 МГц, CDCl₃): $\delta = 1.5\text{-}2.3$ (м, 10 H, C(CH₂)₃C, C(CH₂)₂CH₂O), 4.0 (м, 2H, CH₂O). Рассчитано для $C_8H_{12}O$: % C 77.38; % H 9.74 %. Найдено: % C 77.45; % H 9.73.

2,3,4,5,6,7,8,9-октагидроциклогепта[*b*]пиран 7с

Получен по общей методике из циклогептанона и аллилацетата^[183]. Выход: 8,00 г (44%). $T_{\text{кип}} = 114\text{-}116$ °C (10 мм.рт.ст.). ¹H ЯМР (300.15 МГц, CDCl₃): $\delta = 1.33\text{-}2.45$ (м, 14H, (CH₂)₅, (CH₂)₂CH₂O), 3.83 (м, 2H, CH₂O). ¹³C ЯМР (75.48 МГц, CDCl₃): $\delta = 23.45$ (СH₂CH₂O); 25.84 ((CH₂)₂CH₂(CH₂)₂); 27.06 (CH₂CH₂(CH₂)₃); 27.21 (O(CH₂)₂CH₂); 31.06 (CH₂CCH₂); 32.57(OCCH₂CH₂); 33.23 (OCCH₂); 65.48 (OCH₂); 108.38 (CH₂CCH₂); 152.22 (OCCH₂). Рассчитано для $C_{10}H_{16}O$: % C 78.90; % H, 10.59. Найдено: % C 78.96; % H 10.52.

Синтез 2-аллил-1,3-дикетонов

Синтез дикетонов (10а, b, g-i).

3-аллил-2,5-пентандион 10а

В 150 мл t-ВиОН растворяли t-ВиОК (16 г, 14,26 ммоль). После полного растворения добавляли ацетилацетон (15,7 г, 15,7 ммоль). К перемешиваемому раствору при комнатной температуре прикапывали аллилбромид (17,25 г., 14,26ммоль). Смесь перемешивали 15 часов. Затем добавляли 20 мл H_2 О для растворения осадка и 200 мл Et_2 О. Эфирный слой промывали три раза по 20 мл H_2 О. Водный слой промывали CH_2 СІ $_2$ (3 раза по 60 мл). Полученные органические фракции объединяли и сушили над сульфатом магния. Растворители упаривали на ротационном испарителе в вакууме (10-15 мм.рт.ст.) при 15-20 °C. Из темно-оранжевого масла при перегонке в вакууме (30 мм.рт.ст.) в инертной среде получили бесцветное масло. Получено 10.71 г (54 %). T=115 °C, 30 мм.рт.ст. (Лит. T_{184} T_{KHI} = 114-117 °C, 30 мм.рт.ст.). T_{11} T_{11}

4-аллил**-2**,**2**,**6**,**6**-тетраметил**-3**,**5**-гептандион 10b

Получен по общей методике из 2,2,6,6-тетраметил-3,5-гептандиона и аллилбромида. Выход 2,70 г (90%) Rf=0,68, 20/1 ПЭ/ЭА (Лит. $^{[185]}$ Rf=0,72, 20/1 ПЭ/ЭА). 1 Н ЯМР (300.15 МГц, CDCl₃): δ = 1.15 (18H, c, C(CH₃)₃), 2.52 (т, J =6.6 Гц, 2H, CHC<u>H</u>₂CH), 4.44 (т, J=6.6 Hz, 1H, C<u>H</u>CH₂CHCH₂), 4.95-5.08 (м, 2H, CH₂CHCH₂CH), 5.56-5.65 (м, 1H, C<u>H</u>₂CHCH₂CH).

2-аллил-1-фенил-1,3-бутандион 10g

Получен по общей методике из бензоилацетона и аллилбромида. Выход 2,65 г (85%) Rf=0,73, 5/1 ПЭ/ЭА (Лит. ^[186] Rf=0,69, 5/1 ПЭ/ЭА). ¹Н ЯМР (300.15 МГц, CDCl₃): δ = 2.13 (c, 3H, CH₃), 2.73 (т, J=6.6 Hz, 2H, -CH₂-), 4.54 (т, J=6.6 Hz, 1H, COC<u>H</u>CO), 5.00-5.11 (м, 2H, CH₂=), 5.76 (м, 1H, =CH-), 7.44-7.58 (м, 3H, Ph), 7.96-7.99 (м, 2H, Ph).

2-аллил-1-(4-метилфенил)-1,3-бутандион 10h

Получен по общей методике из n-метилбензоилацетона и аллилбромида. Выход 1,43 г (43%) Rf=0,57, 5/1 ПЭ/ЭА (Лит. ^[187] Rf=0,60, 5/1 ПЭ/ЭА). ¹Н ЯМР (300.15 МГц, CDCl₃): δ = 2.09 (c, 3H, CH₃C(O)), 2.37 (c, 3H, CH₃C) 2.69 (т, J=5.9 Hz, 2H, -CH₂-), 4.48 (т, J=7.3 Hz, 1H, COCHCO), 4.97-5.07 (м, 2H, CH₂=), 5.70 (м, 1H, =CH-), 7.22-7.25 (м, 2H, Ph), 7.84-7.86 (м, 2H, Ph).

2-аллил-1,3-дифенил-1,3-пропандион 10і

Получен по общей методике из дибензоилметана и аллилбромида. Выход 1,81 г (60%). $T_{пл} = 67-68$ °C (Лит. ^[188] $T_{пл} = 67-69$ °C). ¹H ЯМР (300.15 МГц, CDCl₃): $\delta = 2.87$ (т, J=6.6 Hz, 2H, CH₂), 5.00-5.12 (м, 2H, CH₂=C<u>H-</u>, (CO)₂C<u>H</u>), 5.30 (т, J=6.6 Hz, 1H, C<u>H</u>₂=), 5,66 (м, 1H -CH=), 7.41-7.58 (м, 6H, Ph), 7.94-7.96 (м, 4H, Ph).

Синтез дикетонов (10с-f).

3,3-диаллил-**2,5-**пентандион **10**f^[189]

В 20 мл *t*-ВиОН растворяли *t*-ВиОК (1,86 г, 1,6 ммоль). После полного растворения добавляли дикетон **10a** (2,33 г, 1,6 ммоль). К перемешиваемому раствору при комнатной температуре прикапывали алиллбромид (2,0 г, 1,6 ммоль). Смесь перешивали 15 часов. Добавляли 10 мл H_2 О для растворения осадка и 100 мл Et_2 О. Эфирный слой промывали три раза по 20 мл H_2 О. Воду промывали CH_2Cl_2 (3 раза по 60 мл). Полученные органические фракции объединяли и сушили над сульфатом магния. Растворители выпаривали на ротационном испарителе в вакууме (10-15 мм.рт.ст.) при 15-20 °C. Получено 2,94 г (98 %). 1 H ЯМР (300.15 МГц, CDCl₃): δ = 2.0 (c, 6H, CH₃), 2.57 (д, 4H, J_{H-H} =7.3 Hz, CCH_2CHCH_2), 5.04 (м, 4H, CH_2CHCH_2C), 5.42 (м, 2H, CH_2CHCH_2)

3-аллил-**3-**метилпентандион-**2,4** 10c^[190]

Получен по общей методике из 3-аллил-2,5-пентандиона **10a** и метилйиодида. Выход 2,66 г (82%). ¹H ЯМР (300.15 МГц, CDCl₃): δ = 1.28 (c, 3H, CCH₃), 2.07 (c, 6H, C(O)CH₃), 2.56 (д, J=7.4 Hz, 2H, CH₂CHCH₂C), 5.06 (м, 2H, CH₂CHCH₂C), 5.53 (м, 1H, CH₂CHCH₂C).

3-аллил**-3**-бензил**-2**,**4**-пентандион **10**d^[191]

Получен по общей методике из 3-аллил-2,5-пентандиона **10a** и бензилбромида. Выход: 2,82 (87%) 1 H ЯМР (300.15 МГц, CDCl₃): δ = 2.08 (c, 6H, CH₃), 2.59 (д, J=6.6 Hz, 2H, CH₂CHCH₂C), 3.21 (c, 2H, PhCH₂), 2.10-5.15 (м, 2H, <u>CH₂CHCH₂C</u>), 5.55-5.69 (м, 1H, CH), 7.02-7.25 (м, 4H, Ph)

3-ацетил-3-аллил-2,6-гептандион 10е^[192]

Получен по общей методике из 3-ацетил-2,6-гептандиона и аллилбромида. Выход: 2,73 (76%) 1 H ЯМР (300.15 МГц, CDCl₃): δ = 2.05-2.10 (м, 11H, CH₃CO, C<u>H</u>₂COCH₃), 2.15-2.24 (м, 2H, C<u>H</u>₂CH₂COCH₃), 2.56 (д, J=7.3 Hz, 2H, CH₂CHC<u>H</u>₂C), 5.03 (м, 2H, C<u>H</u>₂CHCH₂C), 5.44 (м, 1H, CH₂C<u>H</u>).

Синтез диэтилмалонатов 14a-h, этил ацетоацетатов 16a-d и этил цианацетатов 18a-d

Диэтил метилмалонат 14а

Навеску *трет*-бутилата калия (3,923 г, 35 ммоль) растворяли в *t*-ВиОН (40 мл). После полного растворения *t*-ВиОК прибавляли диэтил малонат (5,0 г, 38,5 ммоль,) и перемешивали 10 минут. Далее прикапывали метилйодид (4,968 г, 35 ммоль). Реакционную массу перемешивали 24 часа. Растворитель упаривали в вакууме водоструйного насоса. Остаток растворяли в диэтиловом эфире (80 мл) и промывали водой (2*40 мл). Водные фазы объединяли, промывали диэтиловым эфиром (2*40 мл). Органические фазы объединяли, сушили MgSO₄. Растворитель отгоняли в вакууме водоструйного насоса. Полученное жёлтое масло перегоняли в вакууме водоструйного насоса. Получено 3,6 г (71 %). $T_{\text{кип}} = 99-101$ °C, 20 мм. рт. ст.; $T_{\text{n}}^{20} = 1,4157$. (Лит [193] $T_{\text{кип}} = 101-104$ С, 20 мм. рт. ст.; $T_{\text{n}}^{20} = 1,4135$) ¹Н ЯМР (300.15 МГц, CDCl₃): $\delta = 1.23$ (т, J = 7.2 Гц, 6H, OCH₂СH₃), 1.38 (д, J = 7.2 Гц, 3H, СH₃), 3.38 (кв, J = 7.2 Гц, 1H, CH), J = 7.2 Гц, 4H, OCH₂).

Диэтил бутилмалонат 14с

Получен по общей методике из диэтилмалоната и бутилйодида. Выход 6,8 г (82%). $T_{\text{кип}} = 126\text{-}127$ °C, 20 мм. рт. ст. (Лит. $^{[194]}$ $T_{\text{кип}} = 128\text{-}131$ °C, 21 мм. рт. ст.). 1 Н ЯМР (300.15 МГц, CDCl₃): $\delta = 0.83$ (т, J= 7.2 Гц, 3H, CH₂CH₃), 1.16-1.28 (м, 4H, (СH₂)₂CH₃), 1.19 (т, J= 7.1 Гц, 6H, OCH₂CH₃), 1.76-1.88 (м, 2H, CH₂), 3.24 (т, J= 7.5 Гц, 1H, CH), 4.12 (кв, J= 7.1 Гц, 4H, OCH₂).

Диэтил бензилмалонат 14d

Получен по общей методике из диэтилмалоната и бензилбромида. Выход 8,3 г (86 %). $T_{\text{кип}} = 125\text{-}130$ °C, 1 мм. рт. ст. (Лит. ^[195] $T_{\text{кип}} = 123\text{-}126$ °C, 1 мм. рт. ст.). ¹Н ЯМР (300.15 МГц, CDCl₃): $\delta = 1.18$ (т, J = 7.3 Гц, 6H, OCH₂CH₃), 3.21 (д, J = 8.1 Гц, 2H, CH₂Ph), 3.64 (т, J = 8.1 Гц, 1H, CH), 4.13 (кв, J = 7.3 Гц, 4H, OCH₂), 7.14-7.29 (м, 5H, Ph).

Диэтил аллилмалонат 14е

Получен по общей методике из диэтилмалоната и аллилбромида. Выход 6,6 г (80 %). $T_{\text{кип}} = 118\text{-}120$ °C, 20 мм. рт. ст. (Лит. ^[196] $T_{\text{кип}} = 115$ °C, 19 мм. рт. ст.). ¹Н ЯМР (300.15 МГц, CDCl₃): $\delta = 1.21$ (т, J = 7.0 Гц, 6H, OCH₂CH₃), 2.59 (т, J = 7.0 Гц, 2H, -CH₂-), 3.36 (т, 1H, J = 7.7 Гц, CH), 4.14 (кв, J = 7.0 Гц, 4H, OCH₂), 4.96-5.11 (м, 2H, =CH₂), 5.65-5.80 (м, 1H, =CH-).

Этил 2-метил-3-оксобутаноат 16а

Получен по общей методике из этил ацетоацетата и метилиодида. Выход 4,8 г (86 %). $T_{\text{кип}} = 83\text{-}86$ °C, 20 мм. рт. ст. (Лит. [197] $T_{\text{кип}} = 83\text{-}85$ °C, 21 мм. рт. ст.). ¹Н ЯМР

(300.15 МГц, CDCl₃): δ = 1.27 (т, J=7.1 Гц, 3H, OCH₂CH₃), 1.33 (д, J=7.1 Гц, 3H, CH₃), 2.23 (с, 3H, CH₃CO), 3.49 (кв, J=7.1 Гц, 1H, CH), 4.19 (кв, J=7.1 Гц, 2H, OCH₂).

Этил 2-бутил-3-оксобутаноат 16b

Получен по общей методике из этил ацетоацетата и бутилйодида. Выход 5,7 г (80 %). $T_{\text{кип}} = 119\text{-}121$ °C, 20 мм. рт. ст. (Лит. ^[198] $T_{\text{кип}} = 115$ °C, 16 мм. рт. ст.). ¹Н ЯМР (300.15 МГц, CDCl₃): $\delta = 0.85$ (т, J = 6.6 Гц, 3H, CH₃), 1.16-1.36 (м, 7H, (CH₂)₂CH₃), OCH₂CH₃), 1.73-1.87 (м, 2H, CHCH₂), 2.17 (с, 3H, CH₃CO), 3.34 (т, J = 7.3 Гц, 1H, CH), 4.14 (кв, J = 7.3 Гц, 2H, OCH₂).

Этил 3-фенилпропаноат 16с

Получен по общей методике из этил ацетоацетата и бензилбромида. Выход 6,4 г (76 %). $T_{\text{кип}} = 103\text{-}105$ °C, 1 мм. рт. ст. (Лит. ^[199] $T_{\text{кип}} = 100\text{-}102$ °C, 1 мм. рт. ст.). ¹Н ЯМР (300.15 МГц, CDCl₃): $\delta = 1.18$ (т, J = 7.3 Гц, 3H, OCH₂CH₃), 2.16 (с, 3H, CH₃CO), 3.15 (д, J = 8.1 Гц, 2H, CH₂Ph), 3.77 (т, J = 7.3 Гц, 1H, CH), 4.12 (кв, J = 7.1 Гц, 2H, OCH₂), 7.11-7.30 (м, 5H, Ph).

Этил 2-цианогексаноат 18а^[200]

Получен по общей методике из этил цианацетата и бутилйодида. Выход 4,2 г (84%). 1 Н ЯМР (300.15 МГц, CDCl₃): δ = 0.92 (т, J = 7.2 Гц, 3H, CH₃), 1.32 (т, J = 7.2 Гц, 3H, OCH₂CH₃), 1.40-1.49 (м, 4H, (CH₂)₂CH₃), 1.94 (кв, J = 7.2 Гц, 2H, CHCH₂), 3.49 (т, J = 7.0 Гц, 1H, CH), 4.26 (кв, J = 7.2 Гц, 2H, OCH₂).

Этил 2-циано-3-фенилпропаноат 18b[200]

Получен по общей методике из этил цианацетата и бензилбромида. Выход 5,7 г (89%). 1 H ЯМР (300.15 МГц, CDCl₃): δ = 1.24 (т, J = 7.3 Hz, 3H, CH₃), 3.12-3.30 (м, 2H, CH₂), 3.67-3.75 (м, 1H, CH), 4.21 (кв, J = 7.3 Гц, 2H, CH₂), 7.21-7.38 (м, 5H, Ph).

Этил 2-цианопент-4-еноат 18d^[199]

Получен по общей методике из этил цианацетата и аллилбромида. Выход 5,6 г (73%). 1 H ЯМР (300.15 МГц, CDCl₃): δ = 1.28 (т, J = 7.1 Гц, 3H, CH₃), 2.57-2.73 (м, 2H, CH₂), 3.54 (т, J = 6.6 Hz, 1H, CH), 4.23 (кв, J = 7.1 Гц, 2H, CH₂), 5.14-5.29 (м, 2H, CH₂), 5.69-5.89 (м, 1 H, CH).

Диэтил 2-(-3-оксобутил)малонат 14е

В 20 мл безводного этанола вносили порциями натрий (30 ммоль, 0,69 г). После полного растворения натрия в этаноле к опалесцирующей смеси при перемешивании прибавляли диэтил малонат (38,5 ммоль, 6,166 г) и смесь нагревали до 60 °С. Затем прикапывали при перемешивании в течение 5 минут метилвинилкетон (38,5 ммоль, 2,695 г). После этого смесь кипятили в течение 3 часов. Растворитель отгоняли на роторном испарителе, а остаток помещали в 25 мл воды. Водную фазу экстрагировали

хлороформом (3*25 мл). Водную фазу подкисляли и вновь экстрагировали хлороформом (2*25 мл). Органические фазы объединяли, сушили сульфатом магния. Растворитель отгоняли, остаток перегоняли в вакууме. Получено 4,9 г (56 %). $T_{\text{кип}} = 111-113$ °C, 1 мм. рт. ст. (Лит. ^[200] $T_{\text{кип}} = 110-111$ °C, 1 мм. рт. ст.). ¹H ЯМР (300.15 МГц, CDCl₃): $\delta = 1.16$ (т, J = 7.3 Гц, 6H, OCH₂CH₃), 1.99-2.13 (м, 5H, CH₃CO, CH₂CH₂CO), 2.45 (т, J = 7.3 Гц, 2H, CH₂CO), 3.28 (т, 1H, J = 7.3 Гц, CH), 4.09 (кв, 4H, J = 7.3 Гц, OCH₂).

Диэтил (2-цианоэтил)малонат 14f

Получен по общей методике из диэтилмалоната и акрилонитрила. Выход 3,9 г (48%). $T_{\text{кип}} = 105$ - 107 °C, 1 мм. рт. ст. (Лит. $^{[201]}$ $T_{\text{кип}} = 125$ °C, 4 мм. рт. ст.). 1 Н ЯМР (300.15 МГц, CDCl₃): $\delta = 1.24$ (т, J = 7.0 Гц, 6H, OCH₂C $\underline{\text{H}}_3$), 2.20 (кв, 2H, J = 7.3 Гц, CHC $\underline{\text{H}}_2$ CH₂), 2.46 (т, 2H, J = 7.3 Гц, CNCH₂), 3.45 (т, 1H, J = 7.3 Гц, CH), 4.18 (кв, 4H, J = 7.0 Гц, OCH₂).

Этил 2-ацетил-5-оксогексаноат 16d

Получен по общей методике из этил ацетоацетата и метилвинилкетона. Выход 3,2 г (42%). $T_{\text{кип}} = 108\text{-}110 \,^{\circ}\text{C}$, 1 мм. рт. ст. (Лит. $^{[202]}$ $T_{\text{кип}} = 108\text{-}109 \,^{\circ}\text{C}$, 1 мм. рт. ст.). ^{1}H ЯМР (300.15 МГц, CDCl₃): $\delta = 1.19$ (т, J = 7.0 Гц, 3H, OCH₂CH₃), 1.94-2.03 (м, 2H, CHCH₂), 2.05 (с, 3H, CH₃CO), 2.16 (с, 3H, CH₃CO), 2.42 (т, 2H, J = 7.0 Гц, CH₂CO), 3.41 (т, 1H, J = 7.0 Гц, CH), 4.12 (кв, 2H, J = 7.0 Гц, OCH₂).

Диэтил 2-цианопентандиоат 18d^[199]

¹H ЯМР (300.15 МГц, CDCl₃): δ = 1.13-1.36 (м, 6H, CH₃), 2.04-2.36 (м, 2H, C<u>H</u>₂CH), 2.51 (т, J = 7.3 Гц, 2H, CH₂), 3.63-3.75 (м, 1H, CH), 4.11 (кв, J = 7.1 Гц, 2H, OC<u>H</u>₂), 4.23 (кв, J = 7.1 Гц, 2H, OC<u>H</u>₂).

9-метилфлуорен 21a^[203]

Раствор *н*-ВиLi (40 ммоль, 64 мл, 1,6M раствор в гексане) добавляли при -78 °C к раствору 9H-флуорена (30 ммоль, 4,987 г) в сухом ТГФ (60 мл). Окрасившуюся в оранжевый цвет реакционную массу перемешивали 1,5 часа при комнатной температуре. Далее охлаждали до -78 °C и прибавляли метилйодид (45 ммоль, 6,387 г), перемешивали 10 минут при -78 °C, затем 2 часа при комнатной температуре. Далее в реакционную массу добавляли воду (100 мл) и экстрагировали диэтиловым эфиром (3*100 мл). Органические фазы объединяли и промывали раствором $Na_2S_2O_3$, сушили MgSO₄. После фильтрования и упаривания растворителя в вакууме, сырой продукт фильтровали через слой силикагеля (5 см, элюент: гексан). Растворитель упаривали в вакууме. Получено 4,9 г (92 %). ¹H ЯМР (300.15 МГц, CDCl₃): δ = 1.55 (д, J = 7.5 Гц, 3H,

CH₃), 3.97 (кв, $J = 7.5 \Gamma II$, 1H, CH), 7.32-7.43 (м, 4H, Ar), 7.53 (д, $J = 7.0 \Gamma II$, 2H, Ar), 7.69 (д, $J = 7.0 \Gamma II$, 2H, Ar).

1-метилинден 21b

Получен по общей методике из индена и метилйодида. Выход 3,4 г (89%). $T_{\text{кип}}$ = 89-90 °C, 20 мм. рт. ст. (Лит. ^[204] $T_{\text{кип}}$ = 75-77 °C, 10 мм. рт. ст.). ¹H ЯМР (300.15 МГц, CDCl₃): δ = 1.30 (д, J = 7.6 Гц, 3H, CH₃), 3.51-3.44 (м, 1H, CHCH₃), 6.46 (дд, J = 5.5 Гц, J = 1.8 Гц, 1H, CH=), 6.76 (дд, J = 5.5 Гц, J = 1.8 Гц, 1H, CH=), 7.26-7.16 (м, 2H, Ar), 7.35-7.33 (м, 1H, Ar), 7.41-7.39 (м, 1H, Ar).

5-метилциклопентадиен 21с

Получен по общей методике из циклопентадиена и метилйодида. Выход 1,3 г (56%). $T_{\text{кип}} = 78-79$ °C (Лит. ^[205] $T_{\text{кип}} = 76-77$ °C). ¹H ЯМР (300.15 МГц, CDCl₃): $\delta = 1.26$ (д, J = 7.8 Гц, 3H, CH₃), 3.30-3.42 (m, 1H, CHCH₃), 6.15-6.25 (m, 4H, CH=CH-CH=CH).

4.1.Экспериментальная часть к разделу 3.1. Взаимодействие монои бициклических эфиров енолов с системой I₂ / гидропероксид

Реакции 2,3-дигидрофурана 1a и 3,4-дигидро-2H-пирана 1b с системой йод / ${ m H}_2{ m O}_2$

К 10 мл раствора I_2 (0.254, 1 ммоль) 2.53 М эфирный раствор H_2O_2 (3.16 мл., 8 ммоль), к полученной смеси при перемешивании прикапывали раствор **1a** или **1b** (0.140 или 0.168 г., 2 ммоль) в 2 мл. Et_2O при 0 °C. Перемешивали 30 или 120 минут при 0 °C (в опыте 11 при 20 °C). Добавляли 20 мл. петролейного эфира и 1.5 г. мелко измельченного $Na_2S_2O_3 \bullet 5H_2O$, перемешивали до обесцвечивания. Отфильтровывали твёрдый остаток, растворители выпаривали на ротационном испарителе при 10-15 мм.рт.ст. при 15-20 °C. Количественный состав полученной смеси определяли по жанным ЯМР-спектроскопии. Полученную смесь исследовали с ЯМР-спектроскопией с приминением двумерных корреляционных методик.

Реакция 3,4-дигидро-2H-пирана 4a и 2,3-дигидрофурана 4b с системой I_2 – mpem-бутилгидропероксид и I_2 – тетрагидропиранилгидропероксид; синтез пероксидов 5a,b и 6a,b.

К 10 мл раствора I_2 (0.254 - 1.024 г, 1-4 ммоль) добавляли 51 %-ный эфирный раствор *трет*-бутилгидропероксида (0.693 г., 4 ммоль или 1.386 г., 8 ммоль) или тетрагидропиранилгидропероксида (0.945 г., 8 ммоль) к полученной смеси при перемешивании прикапывали раствор **1a** или **1b** (0.140 или 0.168 г., 2 ммоль) в 2 мл. I_2 С при 0 °C. Перемешивали 30 или 120 минут при 0 °C (в опыте 11 при 20 °C).

Добавляли 20 мл. петролейного эфира и 1.5 г. мелко измельченного $Na_2S_2O_3 \bullet 5H_2O$, перемешивали до обесцвечивания. Отфильтровывали твёрдый остаток, растворители выпаривали на ротационном испарителе при 10-15 мм.рт.ст. при 15-20 °C, пероксиды $2a_3b_1$ очищали колоночной хроматографией на SiO_2 . Элюент $9A:\Pi 9 = 1:30$.

2-(трет-бутилперокси)-3-йодтерагидрофуран 5а

Желтое масло. Выход 68%. Rf = 0.84 (ЭА : ПЭ = 1 : 10). ¹Н ЯМР (300.15 МГц, CDCl₃): δ = 1.21 (с, 9H, (CH₃)₃C), 2.15-2.19 (м, 1H, HCHCHI), 2.47-2.54 (м, 1H, HCHCHI), 4.02-4.08 (м, 2H, CH₂O), 4.09-4.19 (м, 1H, CHI), 5.74 (д, J = 1.47 Гц, 1H, CHO). ¹³С ЯМР (75.48 МГц, CDCl₃): δ = 19.55 (СНІ), 26.28 (СН₃), 36.50 (СН₂СН₂О), 67.89 (СН₂О), 81.32 (С(СН₃)₃), 113.41 (СНО). ИК (КВг): 2979 (оч.с), 2933 (с), 2897 (с), 1475 (ср), 1455 (ср), 1439 (ср), 1387 (ср), 1364 (оч.с), 1309 (ср), 1286 (ср), 1245 (с), 1194 (оч.с), 1151 (ср), 1123 (с), 1087 (оч.с), 1069 (оч.с), 1036 (с), 996 (оч.с), 953 (сл), 920 (сл), 860 (ср), 773 (ср), 754 (ср), 688 (сл), 611 (сл), 556 (сл), 469 (сл) см⁻¹. Масс-спектр высокого разрешения (ESI) m/z: рассчитано

2-(трет-бутилперокси)-3-йодтерагидро-2Н-пиран 5b

для [$C_8H_{15}IO_3$]: 308.9958. Найдено: 308.9948 ($\Delta = 3.2$ ppm).

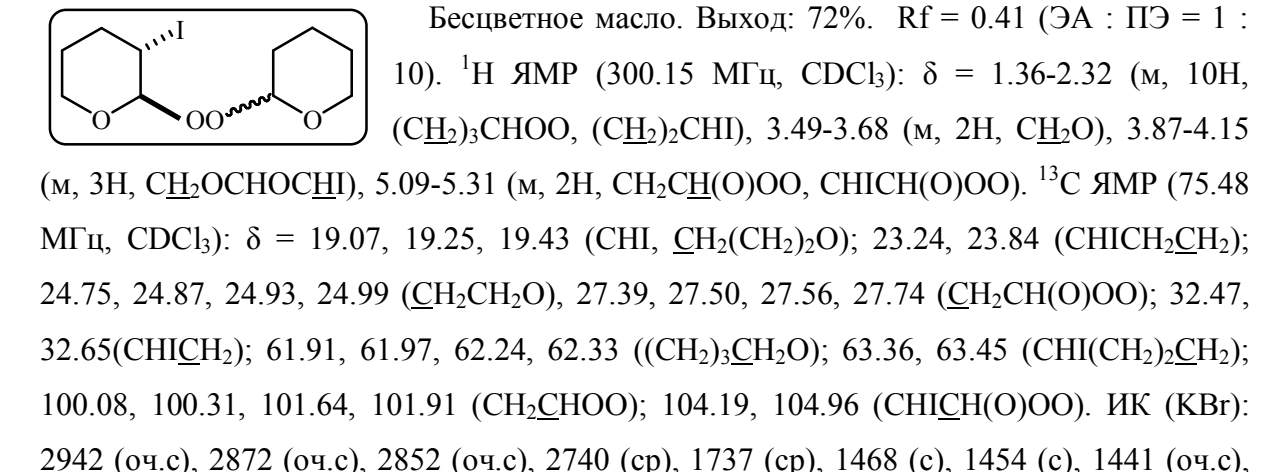
Желтое масло. Выход: 82%. Rf = 0.15 (ЭА : Π Э = 1 : 20). ¹H ЯМР (300.15 МГц, CDCl₃): δ = 1.29 (c, 9H, (CH₃)₃C), 1.56-1.71 (м, 2H, (CH₂CHI), 1.97-2.14 (м, 1H, HCHCH₂O), 2.28-2.44 (м, 1H, HCHCH₂O), 3.57-3.69 (м, 1H, HCHO), 3.96-4.05 (м, 1H, HCHO), 4.05-4.15 (м, 1H, CHI), 5.04 (д, Ј = 6.61 Гц, 1H, CHO). ¹³C ЯМР (75.48 МГц, CDCl₃): δ = 23.39 (CHI), 26.37 (CH₂CH₂O), 26.50 (CH₃), 34.56 (CH₂CHI), 64.49 (CH₂O), 81.72 (C(CH₃)₃), 104.68 (CHO). ИК (КВг): 2977 (оч.с), 2949 (оч.с), 2865 (c), 1467 (cp), 1439 (cp), 1387 (cp), 1364 (оч.с), 1259 (cp), 1244 (cp), 1196 (оч.с), 1170 (cp), 1120 (оч.с), 1097 (c), 1076 (оч.с), 1038 (c), 1026 (c), 965 (c), 902 (cp), 867 (cp), 758 (сл), 696 (cp), 662 (сл), 621 (сл),593 (сл), 466 (cp) см⁻¹. Массспектр высокого разрешения (ESI) m/z : рассчитано для: [C₉H₁₇IO₃+Na]: 323.0115. Найдено: 323.0120 (Δ = 1.5 ppm).

2-[(3-йодтетрагидрофуран-2-ил)перокси]тетрагидро-2Н-пиран ба

Бесцветное масло. Выход: 65%. Rf = 0.59 (ЭА : ПЭ = 1 : 5). ¹H ЯМР (300.15 МГц, CDCl₃): δ = 1.22-2.59 (м, 8H, CHIC<u>H</u>₂, (C<u>H</u>₂)₃CH(O)OO), 3.57-3.60 (м, 2H, (CH₂)₃C<u>H</u>₂O), 3.96-4.25 (м, 3H, C<u>H</u>ICH₂CH₂O), 5.12-5.22 (м, 1H, CH₂C<u>H</u>(O)OO), 5.84-5.91 (д, J=19.08 Гц, 1H, CHIC<u>H</u>(O)OO). ¹³C ЯМР (75.48 МГц, CDCl₃): δ = 19.02, 19.23, 19.34, 19.89 (CHI, <u>C</u>H₂(CH₂)₂O); 25.03, (<u>C</u>H₂CH₂O); 27.48, 27.70, 27.84 (<u>C</u>H₂CH(O)OO); 36.18, 36.33 (CHI<u>C</u>H₂); 62.03, 62.26, 62.40, (CH₂)₃<u>C</u>H₂O); 67.84, 68.10 (CHICH₂<u>C</u>H₂); 100.15, 100.90,

101.81 (CH₂CH(O)OO); 113.25, 113.90 (CHICH(O)OO). ИК (KBr): 2944 (оч.с), 2895 (с), 2872 (с), 2852 (с), 1469 (ср), 1454 (ср), 1441 (ср), 1387 (сл), 1352 (ср), 1260 (ср), 1204 (с), 1186 (ср), 1107 (оч.с), 1085 (с), 1040 (оч.с), 1017 (с), 983 (с), 955 (оч.с), 903 (оч.с), 874 (с), 817 (ср), 771 (сл), 691 (сл), 568 (сл), 430 (ср) см⁻¹. Масс-спектр высокого разрешения (ESI) m/z: рассчитано для $[C_9H_{15}IO_4+Na]^+$: 336.9907. Найдено: 336.9905 ($\Delta = 0.5$ ppm).

3-йод-2-(тетрагидро-2*H*-пиран-2-илперокси)тетрагидро-2*H*-пиран 6b



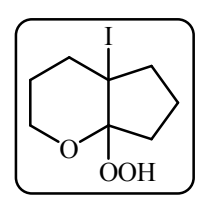
1388 (c), 1352 (оч.с), 1310 (c), 1283 (c), 1261 (c), 1204 (оч.с), 1186 (оч.с), 1106 (оч.с), 1078 (оч.с), 1040 (оч.с), 1017 (оч.с), 953 (оч.с), 903 (оч.с), 874 (оч.с), 817 (c), 697 (ср), 589 (ср), 567 (ср), 532 (ср), 505 (сл), 430 (с) см⁻¹. Масс-спектр высокогог разрешения

(ESI) m/z: рассчитано для [$C_{10}H_{17}IO_4+Na$]: 351.0064. Найдено: 351.0062 ($\Delta=0.5$ ppm).

Реакция бициклических эфиров енолов 7а-с системой I_2 / H_2O_2 с получением йодгидропероксидов 8а-с.

В 10 мл. Et_2O или CH_3CN растворяли I_2 (0.508 г., 2 ммоль), добавляли 2.53 М эфирный раствор H_2O_2 (3.16 мл., 8 ммоль), к полученной смеси при перемешивании и температуре 20, 0 или -40 °C прикапывали раствор эфира енола 7 (2 ммоль) в 2 мл Et_2O . Перемешивали 1 час, равномерно повышая температуру до 20 °C. Добавляли 20 мл. петролейного эфира и 1.5 г. мелко измельченного $Na_2S_2O_3 \bullet 5H_2O$, перемешивали до обесцвечивания. Отфильтровывали твёрдый остаток, растворители выпаривали на ротационном испарителе при 10-15 мм.рт.ст. при 15-20 °C, иодгидропероксиды **8а-с** из остатка выделяли колоночной хроматографией на SiO_2 . Элюент $9A:\Pi9=1:5$.

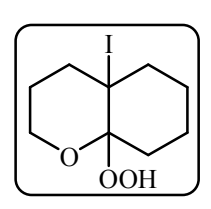
4а-йодогексагидроциклопента[b]пиран-7а(2H)-ил гидропероксид 8а



Желтые кристаллы. Выход: 42%. $T_{пл} = 65-67$ °C. Rf = 0.07 (ЭА : Π Э = 1 : 10). 1 H ЯМР (300.15 МГц, CDCl₃): $\delta = 1.48-2.47$ (м, 10H, (CH₂)₃, (CH₂)₂CH₂O), 3.52-3.84 (м, 2H, CH₂O). 13 C ЯМР (75.48 МГц, CDCl₃): $\delta =$

18.16 (CH₂CH₂CH₂), 23.71 (<u>C</u>H₂CH₂O), 30.62, 32.87 (CI<u>C</u>H₂CH₂, O<u>C</u>H₂CH₂), 36.72 (<u>C</u>H₂CI), 60.47 (CH₂O), 76.81 (CI), 104.37 (OCOOH). ИК (КВг): 3856 (сл), 3823 (сл), 3808 (сл), 3424 (с), 2944 (оч.с), 2878 (с), 2734 (сл), 2671 (сл), 2372 (сл), 2345 (сл), 1931 (сл), 1738 (с), 1704 (сл), 1628 (сл), 1561 (сл), 1461 (ср), 1446 (ср), 1403 (ср), 1375 (ср), 1343 (ср), 1311 (с), 1272 (ср), 1201 (с), 1162 (ср), 1125 (с), 1105 (оч.с), 1167 (оч.с), 1021 (ср), 993 (оч.с), 924 (ср), 915 (ср), 900 (ср), 869 (сл), 848 (сл), 818 (сл), 724 (сл) 606 (сл), 577 (сл), 543 (сл), 492 (сл), 478 (сл), 418 (сл) см -1. Масс-спектр высокого разрешения (ESI) m/z: рассчитано для [C₈H₁₄O₃+Na] +: 181.0835. Найдено: 181.0840 (Δ = 2.7 ppm).

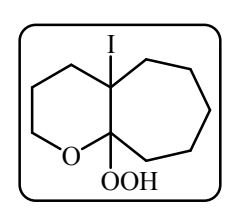
4а-йодооктагидро-8аН-хромен-8а-ил гидропероксид 8b



Белые кристаллы. Выход: 82%. $T_{\Pi\Pi}$ = 79-81 °C. Rf = 0.55 (ЭА : ПЭ = 1 : 5). ¹H ЯМР (300 МГц, CDCl₃): δ = 1.21-2.77 (м, 12H, (CH₂)₄, (CH₂)₂CH₂O), 3.72-4.09 (м, 2H, CH₂O), 7.61 (уш.с, 1H, OOH). ¹³C ЯМР (75.48 МГц, CDCl₃): δ = 22.02, 23.96, 24.57, 30.75, 36.59, 41.05 ((CH₂)₄,

 $(\underline{\text{CH}}_2)_2\text{CH}_2\text{O}$), 61.53 ($\underline{\text{CH}}_2\text{O}$), 65.05 (C-I), 103.83 (C-OOH). ИК (КВг): 3459 (оч.с), 3264 (оч.с), 2955 (оч.с), 2938 (оч.с), 2887 (с), 2863 (с), 1712 (ср), 1640 (сл), 1460 (с), 1367 (с), 1289 (с), 1217 (оч.с), 1190 (оч.с), 1165 (с), 1094 (с), 1054 (оч.с), 987 (оч.с), 902 (с), 869 (с), 842 (ср), 799 (ср), 727 (ср), 604 (ср), 550 (с), 476 (ср) см $^{-1}$. Масс-спектр высокого разрешения (ESI) m/z: рассчитано для [$C_9H_{14}\text{IO}$] : 265.0084. Найдено: 265.0093 (Δ = 3.3 ррт).

4а-йодооктагидроциклогепта[b]пиран-9а(2H)-ил гидропероксид 8с



Желтое масло. Выход: 40%. Rf = 0.39 (ЭА : ПЭ = 1 : 5). Рассчитано для $C_8H_{12}O$: % C, 38.48; % H, 5.49; % I, 40.66. Найдено: % C, 37.61; % H, 5.35; % I, 42.10. ¹H ЯМР (300.15 МГц, CDCl₃): δ = 1.13-2.69 (м, 14H, (CH₂)₅, (CH₂)₂CH₂O), 3.40-3.99 (м, 2H, CH₂O). ¹³C ЯМР (75.48 МГц, 35. 26.07, 27.19, 30.21, 36.08, 36.77, 38.37 ((CH₂)₅, (CH₂)₅CH₂O), 62.41

CDCl₃): $\delta = 23.35$, 26.07, 27.19, 30.21, 36.08, 36.77, 38.37 ((CH₂)₅, (CH₂)₂CH₂O), 62.41 (CH₂O), 62.37 (CI), 95.94 (C-OOH).

Реакция бициклических эфиров енолов 7а-с с системой I_2 / t-BuOOH с получением пероксидов 9а-с.

В 10 мл Et_2O или CH_3CN растворяли I_2 (0.508 г, 2 ммоль), добавляли 51 % эфирный раствор *трет*-бутилгидропероксида (1.386 г., 8 ммоль), к полученной смеси при перемешивании и температуре 20, 0, - 40 или - 70 °C прикапывали раствор эфира енола 7 (2 ммоль) в 2 мл Et_2O . Перемешивали 1 час, равномерно повышая температуру до 20 °C. Добавляли 20 мл. петролейного эфира и 1.5 г. мелко измельченного $Na_2S_2O_3 \bullet 5H_2O$, перемешивали до обесцвечивания. Отфильтровывали твёрдый остаток, растворители выпаривали на ротационном испарителе при 10-15 мм.рт.ст. при 15-20 °C,

иодгидропероксиды **9а-с** из остатка выделяли на колоночной хроматографией на SiO_2 . Элюент $3A:\Pi 3=1:30$.

7а-(трет-бутилперокси) октагидроциклопента[b] пиран 9а

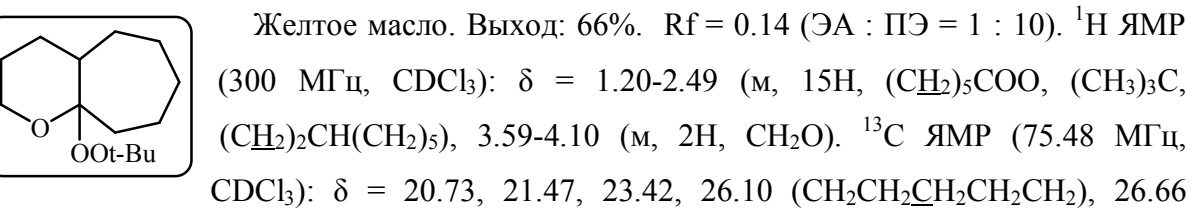
Желтое масло. Выход: 89%. Rf = 0.12 (ЭА : ПЭ = 1 : 10). ¹Н ЯМР (300.15 МГц, CDCl₃): δ = 1.27-2.43 (м, 19H, (CH₂)₃COO, (CH₂)₂CH(CH₂)₃), 3.70 (м, 2H, CH₂O). ¹³С ЯМР (75.48 МГц, CDCl₃): δ = 21.00 (CH₂CH₂CH₂), 22.81 (CH₂CH₂O), 26.65 (C(CH₃)₃), 28.52, 31.17 (CHCH₂CH₂, CH₂CH₂CH), 35.96 (CCH₂), 39.49 (CH), 60.97 (CH₂O), 78.99 (OOC(CH₃)₃), 110.05 (OCOO). ИК (КВг): 3445 (ср), 2971 (оч.с),2875 (с), 2736 (сл), 2276 (сл), 2114 (сл), 1971 (сл), 1737 (с), 1651 (сл), 1469 (ср), 1451 (ср), 1384 (ср), 1363 (с), 1326 (ср), 1241 (с), 1195 (оч.с), 1102 (с), 1067 (с), 1048 (с), 1021 (ср), 995 (с), 918 (ср), 889 (ср), 836 (сл), 772 (сл), 750 (сл), 688 (сл), 649 (сл), 583 (сл), 523 (сл), 509 (сл), 467 (сл), 424 (сл) см⁻¹. Массспектр высокого разрешения (ESI) m/z: рассчитано для [С₁₂H₂₁O₃+Na]⁺: 213.1485.

8а-(трет-бутилперокси)октагидро-2Н-хромен 9b

Найдено: 213.1492 ($\Delta = 3.3$ ppm).

Желтое масло. Выход: 75%. Rf = 0.11 (ЭА : ПЭ = 1 : 10). ¹Н ЯМР (300 МГц, CDCl₃): δ = 1.21-2.43 (м, 12H, (С<u>H</u>₂)₃COO, (С<u>H</u>₃)₃C, (С<u>H</u>₂)₂CH(CH₂)₃), 3.59-3.98 (м, 2H, CH₂O). ¹³С ЯМР (75.48 МГц, CDCl₃): δ = 22.54, 25.88 (СН₂С_Н₂СН₂), 26.31, 26.56 (СНСН₂С_Н₂, CH₂С_Н₂CH), 26.79 (С(С_Н₃)₃) 29.77 (СНС_Н₂), 32.34 (ООСС_Н₂) 44.61 (СН), 60.93 (СН₂O), 78.80 (ООС(СН₃)₃), 101.33 (ОСОО). ИК (КВг): 3366 (сл), 2977 (оч.с), 2936 (оч.с), 2883 (с), 2860 (с), 2734 (сл), 2666 (сл), 2349 (сл), 2274 (сл), 2134 (сл), 2017 (сл), 1740 (сл), 1447 (ср), 1385 (сл), 1362 (с), 1283 (сл), 1254 (сл), 1243 (ср), 1214 (ср), 1200 (с), 1146 (сл), 1134 (сл), 1107 (ср), 1091 (оч.с), 1025 (ср), 994 (ср), 969 (ср), 957 (ср), 931 (s), 892 (ср), 867 (ср), 844 (сл), 820 (сл), 800 (сл), 773 (сл), 736 (сл), 673 (сл), 657 (сл), 618 (сл), 597 (сл), 573 (сл), 553 (сл), 536 (сл), 502 (сл), 483 (сл), 466 (сл) 435 (сл) см⁻¹. Масс-спектр высокого разрешения (ЕЅІ) m/z: рассчитано для [С₁₃Н₂₄О₃+Nа]⁺: 251.1618. Найдено: 251.1619 (Δ = 0.3 ppm).

9а-(трет-бутилперокси)декагидроциклогепта[b]пиран 9с



(С(<u>С</u>H₃)₃) 29.81 (СН<u>С</u>H₂), 31.42 (<u>С</u>H₂CHCH₂) 34.40 (ООС<u>С</u>H₂) 38.28 (СН), 62.44 (СН₂О), 78.73 (ОО<u>С</u>(СН₃)₃), 105.74 (ОСОО). ИК (КВг): 3400 (ср), 2974 (оч.с), 2934 (оч.с), 2864 (с), 2277 (сл), 2111 (сл), 1971 (сл), 1735 (с), 1704 (оч.с), 1456 (ср), 1363 (с), 1334 (сл),

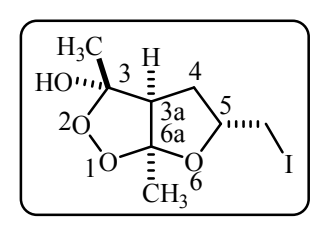
1243 (с), 1197 (с), 1170 (ср), 1154 (ср), 1137 (сл), 1123 (сл), 1052 (ср), 998 (сл), 939 (сл), 910 (ср), 883 (сл), 846 (сл), 792 (сл), 763 (сл), 749 (сл), 593 (сл), 526 (сл), 467 (сл) см⁻¹. Масс-спектр высокого разрешения (ESI) m/z: рассчитано для $[C_{14}H_{26}O_3+Na]^+$: 265.1774. Найдено: 265.1773 ($\Delta = 0.3$ ppm).

4.2. Экспериментальная часть к разделу 3.2. Взаимодействие 2аллил-1,3-дикетонов с системой І2 / Н2О2

Реания 2-аллил-1,3-дикетонов 10a-f c системой I_2 H_2O_2 . Синтез фуродиоксололов 11а-h.

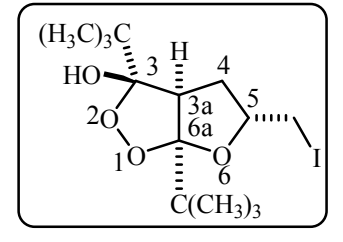
К раствору I_2 (1.015 г, 4 ммоль) в 10 мл CH_2Cl_2 добавляли 1.88 М эфирный раствор H_2O_2 (5.3 мл, 10 ммоль), к полученной смеси при перемешивании и комнатной температуре добавляли дикетон 10а-f (2 ммоль). Смесь перемешивали 1 час при комнатной температуре. В реакционную массу добавляли 20 мл петролейного эфира и мелко измельченный $Na_2S_2O_3 \cdot 5H_2O$ (3 г). После обесцвечивания раствора осадок отфильтровывали, растворители упаривали на ротационном испарителе в вакууме (10-15 мм.рт.ст.) при 15-20 °С. Полученное масло очищали колоночной хроматографией. Кристаллические продукты дополнительно очищали перекристаллизацией из смеси хлористый метилен / петролейный эфир 1:1.

5-(йодметил)-3,6а-диметилтетрагидро-3H-фуро[2,3-c][1,2]диоксол-3-ол 11a



Желтое масло. Выход: 50%. Rf: 0.71 (1/5 EA/PE). Рассчитано для C₈H₁₃IO₄: % С 32.02; % Н 4.37. Найдено: % С 32.43; % Н 4.45. ¹H 9MP (300.15 M Γ II, CDCl₃): $\delta = 1.59$ (c, 3H, C $\underline{\text{H}}_3$ C(3)), 1.83 (c, 3H, $CH_3C(6a)$), 2.49 (дд, J=10.0 Γ ц, J=13.6 Γ ц, 1H, $CH_2(4)$), 2.78 (дд, J=4.9 Гц, J= 13.6 Гц, 1H, $CH_2(4)$), 3.21-3.38 (м, 3H, CH_2 I, CH(3a)), 4.16-4.30 (M, 1H, CH(5)). ¹³C ЯМР (75.48 МГц, CDCl₃): $\delta = 9.6$ (CH₂I), 19.9 (<u>C</u>H₃C(3)), 21.0 $(\underline{CH_3C(6a)})$, 35.4 $(CH_2(4))$ 64.5 $(\underline{CH(3a)})$, 78.6 (CH(5)), 106.7 (C(3)), 116.4 (C(6a)). Maccспектр высокого разрешения (ESI) m/z: рассчитано для $[C_{18}H_{13}IO_4+Na]$: 322.9749. Найдено: 322.9751 (Δ =0.6 ppm).

3,6а-ди-*трет*-бутил-5-(йодометил)тетрагидро-3H-фуро[2,3-c][1,2]диоксол-3-ол



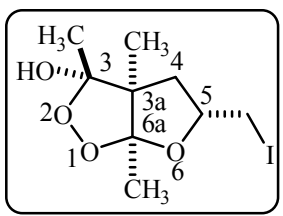
11b

Белые кристаллы. Выход: 81%. $T_{nn} = 105-107$ °C. Rf 0.58 (1/10 EA/PE). Рассчитано для $C_{14}H_{25}IO_4$: % C 43.76; %H 6.56. Найдено: % С 43.22; %H 6.47. ¹H ЯМР (300.15 МГц, CDCl₃): δ

= 0.99 (c, 18 H, (CH₃)₃C), 1.50 (дд, J=12.6 Гц, J= 11.5 Гц, 1H, CH₂(4)), 2.30 (дд, J=12.6 Гц,

Ј= 5.0 Гц, 1H, CH₂(4)), (3.12-3.33 (м, 3H, CH₂I, CH(3a)), 4.54-4.62 (м, 1H, CH(5)). ¹³C ЯМР (75.48 МГц, CDCl₃): δ = 7.5 (CH₂I), 25.2 (C(3)C(<u>C</u>H₃)₃), 25.3 (C(6a)C(<u>C</u>H₃)₃), 36.7 (CH₂(4)), 37.8, 37.9 (C(3)<u>C</u>(CH₃), C(6a)<u>C</u>(CH₃)₃), 55.2 (CH(3a)), 81.3 (CH(5)), 110.4 (t-BuC(3)), 123.6 (t-BuC(6a)). Масс-спектр высокого разрешения (ESI) m/z: рассчитано для [C₁₄H₂₅IO₄+Na]: 407.0695. Найдено: 407.0680 (Δ =3.6ppm).

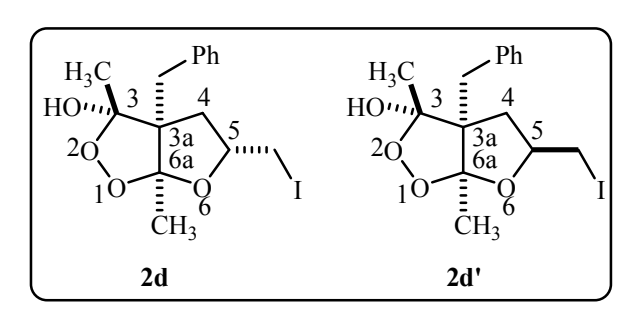
5-(йодометил)-3,3а,6а-триметилтетрагидро-3*H*-фуро[2,3-c][1,2]диоксол-3-ол 11с



Бесцветное масло. Выход: 50%. Rf 0.57 (1/5 EA/PE). Рассчитано для $C_9H_{15}IO_4$: % C 34.41; %H 4.81. Найдено: % C 34.67; %H 4.64. 1H ЯМР (300.15 МГц, CDCl₃): $\delta = 1.20$ (c, 3H, C(3a)C \underline{H}_3), 1.41 (c, 3H, C(3)CH₃), 1.43 (c, 3H, C(6a)CH₃), 1.48-1.56 (дд, J=13.6 Гц,

Ј=4.9 Гц, 1H, С $\underline{\text{H}}_2(4)$), 2.37 (дд, Ј=13.6 Гц, Ј=5.2 Гц, 1H, С $\underline{\text{H}}_2(4)$), 3.15-3.28 (м, 2H, С $\underline{\text{H}}_2\text{I}$), 4.01-4.13 (м, 1H, С $\underline{\text{H}}_2(4)$). 13 С ЯМР (75.48 МГц, СDС $\underline{\text{I}}_3$): δ = 8.8 (С $\underline{\text{H}}_2$ I), 18.7 (С(6а) $\underline{\text{C}}_{\text{H}}_3$), 18.9 (С(3а) $\underline{\text{C}}_{\text{H}}_3$), 19.7 (С(3) $\underline{\text{C}}_{\text{H}}_3$), 44.4 ($\underline{\text{C}}_{\text{H}}_2\text{C}(4)$), 60.4 (С(3а)), 76.0 (СH(5)), 107.5 (С(3)), 116.6 (С(6а)). Масс-спектр высокого разрешения (ESI) m/z: рассчитано для [С₉H₁₅IO₄+Na]: 336.9907. Найдено: 336.9894 (Δ =3.8ppm).

3а-бензил-5-(йодометил)-3,6а-диметилтетрагидро-3*H*-фуро[2,3-c][1,2]диоксол-3-ол 11d



Бесцветное масло. Выход: 68%. Rf=0.33 (5/1 PE/EA). Рассчитано для $C_{15}H_{19}IO_4$: % C 46.17; %H 4.91. Найдено: % C 46.20; %H 5.01. Масс-спектр высокого разрешения (ESI) m/z: рассчитано для [$C_{15}H_{19}IO_4$ +H]: 391.0401. Найдено: 391.0387 (Δ = 3.5 ppm).

(3S,3aS,5R,6aS)-5-(йодометил)-3,6а-диметил-3а-фенилтетрагидро-3H-фуро[2,3c][1,2]диоксол-3-ол 11d

¹Н ЯМР (300.15 МГц, CDCl₃): δ = 1.08 (c, 3H, C(6a)CH₃), 1.56 (c, 3H, C(3)CH₃), 1.82 (дд, J=13.3 Гц, J=8.4 Гц, 1H, CH₂(4)), 2.50 (м, 1H, CH₂(4)), 2.50 (д, J=14.6 Гц, 1H, CH₂Ph), 2.56 (д, J=14.6 Гц, 1H, CH₂Ph), 3.26-3.46 (м, 2H, CH₂I), 4.00-4.13 (м, 1H, CH(5)), 7.26-7.40 (м, 5H, Ph). ¹³C ЯМР (75.48 МГц, CDCl₃): δ = 8.3 (CH₂I), 20.1 (C(3)CH₃), 36.0 (CH₂Ph), 38.8 (CH₂(4)), 67.8 (C(3a)), 78.8 (CHO), 107.3 (C(3)), 118.8 (C(6a)), 127.0 (CH₂C), 128.2 (o-CH), 131.0 (m-CH), 136.6 (p-CH).

(3S,3aS,5S,6aS)-5-(йодометил)-3,6а-диметил-3а-фенилтетрагидро-3H-фуро[2,3с][1,2]диоксол-3-ол 11d'

 1 Н ЯМР (300.15 МГц, CDCl₃): δ = 1.07 (c, 3H, C(6a)CH₃), 1.61 (c, 3H, C(3)CH₃), 1.81 (дд, J=13.3 Гц, J=8.4 Гц, 1H, CH₂(4)), 2.12 (дд, J=13.3 Гц, J=5.5 Гц, 1H, CH₂(4)), 2.46-2.60

4-[3-гидрокси-5-(йодометил)-3,6а-диметилдигидро-3H-фуро[2,3-c][1,2]диоксол-3а(6аH)-ил]бутан-2-он 11e

Желтое масло. Выход: 56%. Rf: 0.39 (1/2 EA/PE). Рассчитано для $C_{12}H_{19}IO_5$: % C 38.93; %H 5.17. Найдено: % C 38.80; %H 5.14. Масс-спектр высокого разрешения (ESI) m/z: рассчитано для $[C_{12}H_{19}IO_5+NH_4]$: 388.0615. Найдено: 388.0613 (Δ =0.5ppm).

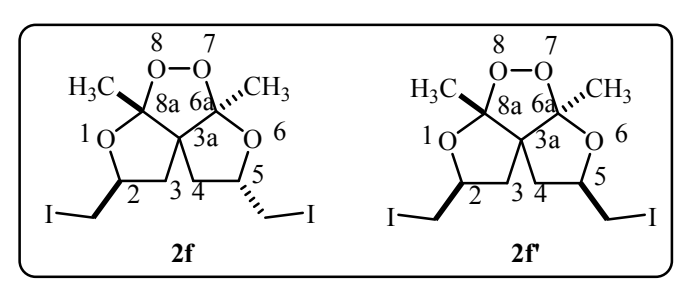
<u>4-[(3S,3aR,5R,6aS)-3-гидрокси-5-(йодометил)-3,6a-диметилдигидро-3H-фуро[2,3-</u> c][1,2]диоксол-3a(6aH)-ил]бутан-2-он 11e

¹Н ЯМР (300.15 МГц, CDCl₃): δ = 1.39 (дд, J=13.5 Гц, J=5.1 Гц, 1H, CH₂(4)), 1.41 (с, 3H, CH₃C(6a)), 1.47 (с, 3H, CH₃C(3)), 1.57 (т, J=7.3 Гц, 1H, C<u>H₂CH₂CO</u>), 2.17 (с, 3H, CH₃CO), 2.15-2.22 (м, 1H, C<u>H₂CH₂CO</u>), 2.33 (т, J=7.0 Гц, 1H, CH₂C<u>H₂CO</u>) 2.41 (дд, J=13.5 Гц, J=4.7 Гц, 1H, CH₂(4)), 2.67 (т, J=7.1 Гц, 1H, CH₂C<u>H₂CO</u>), 3.17-3.34 (м, 2H, CH₂I), 4.02-4.20 (м, 1H, CH(5)). ¹³C ЯМР (75.48 МГц, CDCl₃): δ = 8.6 (CH₂I), 18.2 (C(6a)CH₃), 20.6 (C(3)CH₃), 21.4 (C(3)CH₃), 28.0 (C(3a)CH₂), 29.9 (CH₃CO), 39.2 (CH₂CO), 42.1 (CH₂(4)), 66.5 (C(3a)CH₂), 76.8 (CH(5)), 106.6 (C(3)), 117.5 (C(6a)), 208.1 (CO).

4-[(3S,3aR,5S,6aS)-3-гидрокси-5-(йодометил)-3,6a-диметилдигидро-3H-фуро[2,3c][1,2]диоксол-3a(6aH)-ил]бутан-2-он 11e'

¹H ЯМР (300.15 МГц, CDCl₃): δ = 1.44 (c, 3H, CH₃C(6a)), 1.48 (c, 3H, CH₃C(3)), 1.72 (т, J=7.0 Гц, 1H, CH₂CH₂CO), 1.98-2.06 (м, 2H, CH₂(4)), 2.05 (т, J=6.9 Гц, 1H, CH₂CH₂CO), 2.15 (c, 3H, CH₃CO), 2.41 (т, J=7.8 Гц, 1H, CH₂CH₂CO), 2.63 (т, J=7.8 Гц, 1H, CH₂CH₂CO), 3.17-3.34 (м, 2H, CH₂O), 4.02-4.20 (м, 1H, CH(5)). ¹³C ЯМР (75.48 МГц, CDCl₃): δ = 8.7 (CH₂I) 19.8 (C(6a)CH₃), 25.3 (C(3a)CH₂), 30.0 (CH₃CO), 38.7 (CH₂CO), 39.3 (CH₂(4)), 67.0 (C(3a)CH₂), 78.6 (CH(5)), 107.2 (C(3)), 118.85 (C(6a)), 207.9 (CO).

2,5-бис(йодометил)-6a,8a-диметилтетрагидродифуро[2,3-c:3',2'-d][1,2]диоксол 11f



Белый порошок. Выход: 72%. $T_{nn} =$ 132 °С. Рассчитано для: С₁₁H₁₆I₂O₄: % С 28.35; %Н 3.46. Найдено: % С 28.40; %Н 3.47. ИК (КВг): 2986 (ср), 2896 (cp), 1738 (cp), 1374 (c), 1175

(оч.с), 1106 (оч.с), 1056 (с), 1019 (с), 918 (оч.с), 882 (оч.с), 695 (ср), 612 (ср) см⁻¹. Массспектр высокого разрешения (ESI) m/z: рассчитано для $[C_9H_{16}I_2O_4+Na]$: 488.9030. Найдено: 488.9033 ($\Delta = 0.6$ ppm).

(2S, 5S, 6aR, 8aR)-2,5-бис(йодометил)-6a,8a-диметилтетрагидродифуро[2,3-c:3',2'-<u>d][1,2]диоксол 11f</u>

¹Н ЯМР (300.15 МГц, CDCl₃): $\delta = 1.51$ (c, 6H, CH₃), 1.89 (дд, J=13.2 Гц, J=2.2 Гц, 4H, $CH_2(3,4)$), 3.25-3.37 (M, 4H, CH_2I), 3.94-4.06 (M, 2H, CH(2,5)). ¹³C \mathcal{F} MP (75.48 \mathcal{F} MF), CDCl₃): $\delta = 9.4$ (CH₂I), 18.4 (C(6a)CH₃), 18.7 (CH₃), 39.0 (CH₂ICH<u>C</u>H₂), 76.4 (CH(2,5)), 115.7 (C(6a,8a)).

(2S, 5S, 6aS, 8aR) - 2, 5-бис $(\~uoдометил) - 6a, 8a$ -диметилтетрагидродифуро[2, 3-c: 3', 2'd][1,2]диоксол 11f'

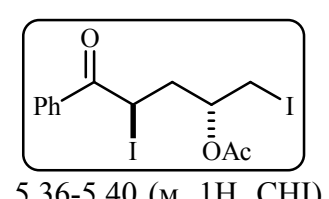
¹H 9MP (300.15 M Γ II, CDCl₃): $\delta = 1.48$ (c, 3H, CH₃C(8a)), 1.55 (c, 3H, CH₃C(6a)) 1.91 (дд, Ј=13.2 Гц, Ј=11.0 Гц, 4H, СН₂(3,4)), 3.25-3.37 (м, 4H, СН₂I), 3.94-4.06 (м, 1H, СН(2)), 4.22-4.32 (M, 1H, CH(5)). ¹³C ЯМР (75.48 МГц, CDCl₃): $\delta = 8.1$ (CH(5)CH₂I), 9.5 $(CH(2)CH_2I)$, 18.4 $(C(6a)CH_3)$, 20.2 $(C(8a)CH_3)$, 36.1 $(CH_2(4))$, 40.2 $(CH_2(3))$, 71.0 (C(3a)), 71.1 (C(3a)), 76.0 (CH(2)), 77.7 (CH(5)), 116.3 (C(8a)), 117.4 (C(6a)).

1-[5-(йодометил)-2-метил-4,5-дигидрофуран-3-ил]этанон 12^[206]

·CH₃ CH₃

Бесцветное масло. Выход: 72%. ¹H ЯМР (300.15 МГц, CDCl₃): δ = 2.10 (c, 3H, CH₃), 2.12 (c, 3H, CH₃), 2.55-2.67 (M, 1H, CCH₂CH), 2.94-3.06 (M, 1H, CCH₂CH), 3.20-3.29 (M, 2H, CH₂I), 4.51-4.66 (M, 1H, CHCH₂I). ¹³C 9MP (75.48 M Γ II, CDCl₃): δ = 8.5 (CH₂I), 14.7 (CH₃COCH), 29.2 (CH₃COC), 36.5 (CCH₂CH), 80.2 (CHCH₂I), 111.6 (CC=O), 166.7 (CH₃COCH), 194.01 (CO). Масс-спектр высокого разрешения (ESI) m/z: рассчитано для $[C_{18}H_{15}IO_2+K]$: 428.9755. Найдено: 428.9748 (Δ =1.6ppm).

(1R,3R)-3-йодо-1-(йодометил)-4-оксо-4-фенилбутил ацетат 13g



Белые кристаллы. Выход: 11%. Rf 0.52 (1/5 EA/PE). ¹H ЯМР (300.15 M Γ II, CDCl₃): $\delta = 2.02$ (c, 3H, CH₃), 2.40-2.59 (M, 2H, CHICH2CHO), 3.29-3.49 (M, 2H, CH2I), 4.92-4.94 (M, 1H, CHO), 5.36-5.40 (M, 1H, CHI), 7.45-7.99 (M, 5H, Ar-CH). ¹³C ЯМР (75.48 МГц, CDCl₃): $\delta = 7.1$

(CH₂I), 20.7 (CHI), 20.8 (CH₃), 39.2 (CHI<u>C</u>H₂CHO), 72.0 (CHO), 128.7, 128.8, 133.5, 133.8 (CH_{Ar}), 170.1 (COO), 193.5 (Ar-CO).

3-йодо-1-(йодометил)-4-оксо-4-фенилбутил бензоат 13і

Желтое масло. Выход: 24%. ¹H ЯМР (300.15 МГц, CDCl₃): δ = 2.61-2.72, 2.93-3.02 (м, 2H, CHIC<u>H</u>₂CHCH₂I), 3.43-3.61 (м, 2H, CH₂I), 4.86-4.90, 5.21-5.26 (м, 1H, CHO), 5.45-5.50 (м, 1H, CHI),

7.37-7.45, 7.50-7.61, 7.91-8.02 (м, 10H, Ph). 13 С ЯМР (75.48 МГц, CDCl₃): δ = 7.3, 7.6 (CH₂I), 18.1, 20.9 (CHI), 39.6, 41.2 (CHICH₂CHCH₂I), 71.8, 72.3 (CHO), 128.5, 129.9, 133.5, 133.6 (Ph), 165.7 (OC(O)Ph), 193.6, 193.8 (CHIC(O)Ph). ИК (КВr): 3059 (сл), 1719 (оч.с), 1671 (оч.с), 1582 (ср), 1448 (ср), 1265 (оч.с), 1107 (оч.с), 1069 (с), 703 (с), 685 (ср) см⁻¹. Масс-спектр высокого разрешения (ESI) m/z: рассчитано [C₁₈H₁₆I₂O₃+Na]: 556.9081. Найдено: 556.9061 (Δ =3.6ppm).

Реация 2-аллил-1,3-дикетонов 10g-і с системой I_2 / H_2O_2 в присутствии ФМК.

К раствору I_2 (1.015 г, 4 ммоль) в 10 мл CH_2Cl_2 добавляли 1.88 М эфирный раствор H_2O_2 (5.3 мл, 10 ммоль), к полученной смеси при перемешивании и комнатной температуре добавляли ФМК (0,7301 г, 0.4 ммоль) и дикетон (2 ммоль). Смесь перемешивали 1 час при комнатной температуре. В реакционную массу добавляли 20 мл петролейного эфира и мелко измельченный $Na_2S_2O_3 \cdot 5H_2O$ (3 г). После обесцвечивания раствора осадок отфильтровывали, растворители упаривали на ротационном испарителе в вакууме (10-15 мм.рт.ст.) при 15-20 °C. Полученное масло очищали колоночной хроматографией. Кристаллические продукты дополнительно очищали перекристаллизацией из смеси хлористый метилен / петролейный эфир 1/1.

5-(йодометил)-6а-метил-3-фенилтетрагидро-3*H*-фуро[2,3-c][1,2]диоксол-3-ол 11g

Белые кристаллы. Выход: 30%. $T_{пл} = 128-130$ °C. Rf 0.49 (1/5 EA/PE). Рассчитано $C_{13}H_{15}IO_4$: % C 43.11; %H 4.17. Найдено: % C 43.12; %H 4.15. Массспектр высокого разрешения (ESI) m/z:

рассчитано для [$C_{13}H_{15}IO_4+Na$]: 384.9907. Найдено 384.9907 (Δ =0.0 ppm).

(3R,3aR,5R,6aS)-5-(йодометил)-6а-метил-3-фенилтетрагидро-3H-фуро[2,3c][1,2]диоксол-3-ол 11g

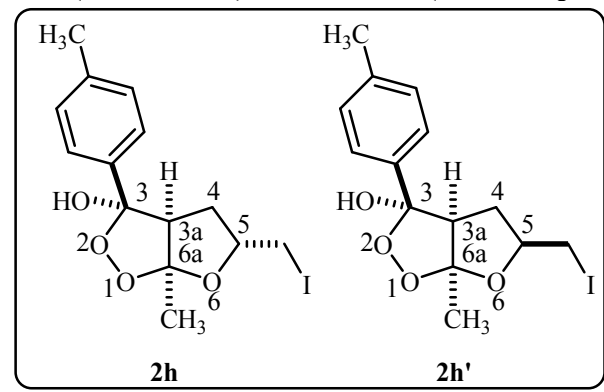
¹Н ЯМР (300.15 МГц, CDCl₃): δ = 1.54 (дд, J=13.1 Гц, J=4.7 Гц, 1H, CH₂(4)), 1.66 (дд, J=13.1 Гц, J=10.1 Гц, 1H, CH₂(4)), 1.75 (с, 3H, CH₃), 3.05 (с, 1H, OH), 3.31-3.37 (м, 3H, CH₂I), 4.11-4.18 (м, 2H, CH(5)), 7.39-7.48 (м, 5H, Ph). ¹³С ЯМР (75.48 МГц, CDCl₃): δ =

9.0 (CH₂I), 22.1 (CH₃), 36.2 (CH₂(4)), 65.7 (CH(3a)), 78.1 (CH(5)), 108.8 (C(3)), 117.0 (C(6a)), 125.6, 126.2, 128.8, 129.4, 137.1 (Ph).

(3R,3aR,5S,6aS)-5-(йодометил)-6а-метил-3-фенилтетрагидро-3H-фуро[2,3c][1,2]диоксол-3-ол 11g'

¹Н ЯМР (300.15 МГц, CDCl₃): δ = 1.47 (дд, J=13.6 Гц, J=6.6 Гц, 1H, CH₂(4)), 1.72 (с, 3H, CH₃), 2.09 (ддд, J=13.6 Гц, J=10.6 Гц, J=7.0 Гц, 1H, CH₂(4)), 3.07 (с, 1H, OH), 3.31-3.37 (м, 3H, CH₂I), 3.42-3.46 (м, 1H, CH₂I), 4.11-4.18 (м, 2H, CH(5)), 7.39-7.48 (м, 5H, Ph). ¹³C ЯМР (75.48 МГц, CDCl₃): δ = 8.15 (CH₂I), 21.3 (CH₃), 34.7 (CH₂(4)), 65.7 (CH(3a)), 80.1 (CH(5)), 108.8 (C(3)), 117.0 (C(6a)), 125.6, 126.2, 128.8, 129.4, 137.1 (Ph).

5-(йодометил)-6а-метил-3-(4-метилфенил)тетрагидро-3*H*-фуро[2,3-c][1,2]



диоксол-3-ол 11h

Белые кристаллы. Выход: 26%. $T_{пл} = 133-136$ °C. Rf: 0.54 (1/5 EA/PE). Рассчитано для $C_{15}H_{19}IO_4$: % C 44.70; %H 4.55. Найдено: % С 44.69; %H 4.48. Массспектр высокого разрешения (ESI) m/z: рассчитано для $[C_{14}H_{17}IO_4+NH_4]$:

394.0516. Найдено: 394.0516 (Δ =1.5ppm).

(3R,3aR,5R,6aS)-5-(йодометил)-6а-метил-3-(4-метилфенил)тетрагидро-3H-фуро[2,3-c][1,2]диоксол-3-ол 11h

¹Н ЯМР (300.15 МГц, CDCl₃): δ = 1.57 (дд, J=13.9 Гц, J=7.9 Гц, 1H, CH₂(4)), 1.64 (дд, J=13.9 Гц, J=9.9 Гц,) 1.74 (c, 3H, C(6a)CH₃), 2.02-2.16 (м, 1H, CH₂(4)), 2.37 (c, 3H, ArCH₃), 3.17 (м, 1H, 2H, CH(3a)) 3.17-3.46 (м, 2H, CH₂I), 4.08-4.15 (м, 1H, CH(5)), 7.19-7.37 (м, 4H, Ph). ¹³C ЯМР (75.48 МГц, CDCl₃): δ = 8.2 ((CH₂I), 16.8 (ArCH₃), 21.2 (C(6a)CH₃), 34.7 (CH₂(4)), 65.5 (CH (3a)), 77.8 (CH(5)), 108.9 (C(3)), 116.9 (C(6a)), 125.9, 126.1, 129.4, 139.3 (Ar).

(3R,3aR,5S,6aS)-5-(йодометил)-6а-метил-3-(4-метилфенил)тетрагидро-3H-фуро[2,3-c][1,2]диоксол-3-ол 11h'

¹Н ЯМР (300.15 МГц, CDCl₃): δ = 1.47 (дд, J=13.5 Гц, J=6.7 Гц, 1H, CH₂(4)), 1.72 (c, 3H, C(6a)CH₃), 2.09 (ддд, J=13.6 Гц, J=10.6 Гц, J=7.0 Гц, 1H, CH₂(4)), 2.37 (c, 3H, ArCH₃), 3.17 (м, 1H, 2H, CH(3a)) 3.17-3.46 (м, 2H, CH₂I), 4.08-4.15 (м, 1H, CH(5)), 7.19-7.37 (м, 4H, Ph). ¹³C ЯМР (75.48 МГц, CDCl₃): δ = 8.2 ((CH₂I), 16.8 (ArCH₃), 22.0 (C(6a)CH₃), 36.2 (CH₂(4)), 65.5 (CH (3a)), 80.1 (CH(5)), 108.9 (C(3)), 116.9 (C(6a)), 125.9, 126.1, 129.4, 139.3 (Ar).

5-(йодометил)-3,6а-дифенилтетрагидро-3*H*-фуро[2,3-c][1,2]диоксол-3-ол 11i

Желтое масло. Выход: 66%. Rf 0.55 (1/5 EA/PE). Рассчитано для C₁₈H₁₇IO₄: % C 50.96; %H 4.04. Найдено: % C 50.88; %H 4.01. Масс-спектр высокого разрешения (ESI) m/z: рассчитано для [C₁₈H₁₇IO₄+K]:

462.9803. Найдено: 462.9805 (Δ =0.4ppm).

(3R,3aR,5R,6aR)-5-(йодометил)-3,6a-дифенилтетрагидро-3H-фуро[2,3c][1,2]диоксол-3-ол 11i

¹Н ЯМР (300.15 МГц, CDCl₃): δ = 1.57 (дд, J=13.6 Гц, J=5.5 Гц, 1H, CH₂(4)), 1.76 (дд, J=13.6 Гц, J=10.5 Гц, 1H, CH₂(4)), 3.31-3.47 (м, 3H, CH₂I, CH(3a)), 4.28-4.41 (м, 1H, CH(5)), 7.36-7.95 (м, 10H, Ph). ¹³С ЯМР (75.48 МГц, CDCl₃): δ = 8.4 (CH₂I), 36.0 (CH₂(4)), 68.8 (CH(3a)), 78.4 (CH(5)), 109.0 (C(3)), 111.9 (C(6a)), 126.0, 127.3, 126.2, 126.8, 129.4, 132.7, 135.7 (Ph).

(3R,3aR,5S,6aR)-5-(йодометил)-3,6a-дифенилтетрагидро-3H-фуро[2,3c][1,2]диоксол-3-ол 11i'

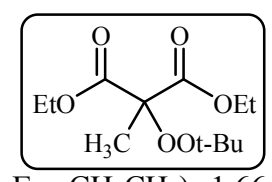
¹Н ЯМР (300.15 МГц, CDCl₃): δ = 1.50 (дд, J=13.5 Гц, J=6.7 Гц, 1H, CH₂(4)), 1.73 (ддд, J=13.5 Гц, J=10.5 Гц, J=9.3 Гц, 1H, CH₂(4)), 3.31-3.47 (м, 3H, CH₂I, CH(3a)), 4.28-4.41 (м, 1H, CH(5)), 7.36-7.95 (м, 10H, Ph). ¹³С ЯМР (75.48 МГц, CDCl₃): δ = 8.4 (CH₂I), 36.0 (CH₂(4)), 68.8 (CH(3a)), 78.4 (CH(5)), 109.0 (C(3)), 111.9 (C(6a)), 126.0, 127.3, 126.2, 126.8, 129.4, 132.7, 135.7 (Ph).

4.3.Экспериментальная часть к разделу 3.3. Взаимодействие малоновых, ацетоуксусных и циануксусных эфиров с системой Bu_4NI/t -BuOOH.

Реакция диэтил малонатов 14a-h с системой ТВАІ / t-BuOOH. Синтез диэтил *трет*-бутутилпероксималонатов 15a-h.

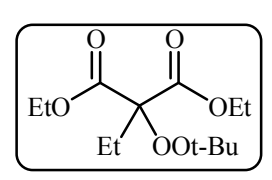
К раствору диэтилмалоната **14а-h** (2 ммоль) в ацетонитриле (10 мл) добавляли 70 %-ный водный раствор t-ВиООН (0,773 г, 6 ммоль). Смесь нагревали до кипения и добавляли ТВАІ (0,148 г, 0,4 ммоль). Раствор кипятили 6 ч. Затем растворители упаривали в вакууме (10 мм.рт.ст). Образовавшуюся суспензию разбавляли диэтиловым эфиром, осадок отфильтровывали, растворитель отгоняли в вакууме (10 мм.рт.ст).

Диэтил (трет-бутилперокси)метилмалонат 15а



Бесцветное масло. Выход: 76%. Рассчитано для С₁₂Н₂₂О₆: % С 54.95; %H 8.45;%O 36.60; найдено: % С 54.93; %H 8.43 ¹H ЯМР (300.15 MFII, CDCl₃): $\delta = 1.22$ (c, 9H, C(CH₃)₃), 1.25 (T, 6H, J = 7.1 Γ ц, CH_2CH_3), 1.66 (c, 3H,CCH₃), 4.21 (кв, 4H, J = 7.1 Γ ц, CH_2). ¹³C ЯМР (75.48 М Γ ц, CDCl₃): $\delta = 14.0 \text{ (CH}_2\text{CH}_3)$, 19.6 (CCH₃), 26.4 (C(CH₃)₃), 61.7 (CH₂), 80.8 (C(CH₃)₃), 84.9 (ССН₃), 168.0 (СО). Масс-спектр высокого разрешения (ESI) m/z: дасчитано для $[C_{12}H_{22}O_6+Na]$: 285.1309. Найдено: 285.1315 (Δ =2.1 ppm). ИК (KBr): 1749 (оч.с, υ_{CO})см⁻¹.

Диэтил (*трет* -бутилперокси) этилмалонат 15b

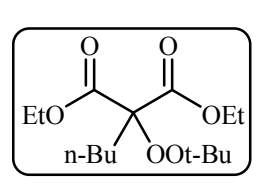


Бесцветное масло. Выход: 73%. Рассчитано для $C_{13}H_{24}O_6$: % С 56.51; %H 8.75;%O 34.74; найдено: % C 55.72; %H 8.78. ¹H ЯМР (300.15 M Γ II, CDCl₃): $\delta = 0.83$ (T, 3H, J = 7.4 Γ II, C \underline{H}_3 CH₂), 1.19 (c, 9H, C(CH₃)₃), 1.21 (T, 6H, J = 7.1 Γ II, OCH₂CH₃), 2.13 (KB, 2H, J = 7.4 Γ II, CH₂CH₃), 4.18 (KB, 4H, J = 7.1 Γ II, OCH₂CH₃). ¹³C 9MP (75.48 M Γ II, CDCl₃): δ = 7.2 (CH₂CH₃), 14.1

 (OCH_2CH_3) , 25.2 $(\underline{C}H_2CH_3)$, 26.4 $(C(\underline{C}H_3)_3)$, 61.4 $(O\underline{C}H_2CH_3)$, 80.5 $(\underline{C}(CH_3)_3)$, 87.8 (CH₂COO),167.4 (CO). Масс-спектр высокого разрешения (ESI) m/z: рассчитано для [$C_{13}H_{24}O_6+Na$]: 299.1465. Найдено: 299.1475 (Δ =3.3 ppm).

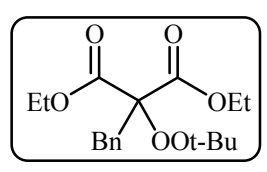
ИК (KBr): 1748 (оч.с, υ_{СО}) см⁻¹.

Диэтил (трет -бутилперокси)бутилмалонат 15с



Бесцветное масло. Выход: 83%. Рассчитано для: $C_{15}H_{28}O_6$: % С 59.19; %H 9.27;%O 31.54; найдено: % С 58.66; %H 9.23. ¹H ЯМР (300.15 M Γ II, CDCl₃): $\delta = 0.85$ (T, 3H, J = 6.7 Γ II, CH₃(CH₂)₃), 1.20-1.26 (м, 21H, C(CH₃)₃, (CH₂)₃, OCH₂C \underline{H}_3), 4.19 (кв, 4H, J = 7.1 Гц, OC \underline{H}_2 CH₃). ¹³С ЯМР $(75.48 \text{ M}\Gamma\text{II}, \text{CDCl}_3)$: $\delta = 13.9 ((\text{CH}_2)_3)\text{CH}_3$), 14.1 (OCH₂CH₃), 22.6, 25.0, 31.8 (CH₂), 26.4 $(C(CH_3)_3)$, 61.6 (OCH_2CH_3) , 80.5 $(C(CH_3)_3)$, 87.5 (CH_2CO) , 167.6 (CO). Масс-спектр высокого разрешения (ESI) m/z: рассчитано для $[C_{15}H_{28}O_6+H]$: 305.1959. Найдено: 305.1958 (Δ =0.3 ppm). ИК (KBr): 1749 (оч.с, υ_{CO}) см⁻¹.

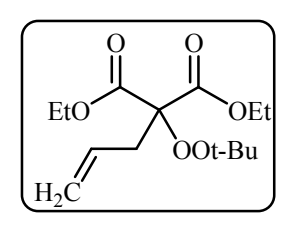
Диэтил бензил(*mpem* -бутилперокси) малонат 15d



Бесцветное масло. Выход: 85%. ¹H ЯМР (300.15 МГц, CDCl₃): δ = 1.21 (T, 6H, J = 7.1 Γ II, CH₂CH₃), 1.30 (c, 9H, C(CH₃)₃), 3.51 (c, 2H, CH_2Ph), 4.17 (кв, 4H, $J = 7.1 \Gamma \mu$, CH_2CH_3), 7.23-7.27 (м, 5H, Ph). ¹³C

ЯМР (75.48 МГц, CDCl₃): $\delta = 14.0 \ (\underline{C}H_3CH_2), 26.6 \ (C(\underline{C}H_3)_3), 37.8 \ ((CH_2Ph), 61.7)$ $(\underline{CH_2CH_3})$, 81.1 $(\underline{C(CH_3)_3})$, 88.0 $(\underline{OOCCH_2})$, 127.0, 128.0, 130.4, 135.0 (Ph), 167.0 (CO).

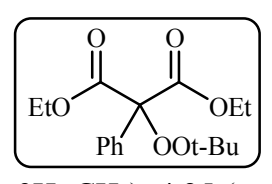
Диэтил аллил(трет -бутилперокси) малонат 15е



Бесцветное масло. Выход: 67%. 1 Н ЯМР (300.15 МГц, CDCl₃): δ = 1.22 (c, 9H, C(CH₃)₃), 1.24 (т, 6H, $J = 7.2 \Gamma \mu$, CH_2CH_3), 2.91 (д, 2H, $J = 7.1 \Gamma_{II}$, CHCH₂C), 4.20 (KB, 4H, $J = 7.2 \Gamma_{II}$, CH₂CH₃), 5.03-5.14 (M, 2H, CH₂=CHCH2C), 5.52-5.87 (M, 1H, CH₂=CH). ¹³C 9MP (75.48)

MΓ_{II}, CDCl₃): $\delta = 14.1$ (CH₂CH₃), 26.4 (C(CH₃)₃), 36.6 (CHCH₂C), 61.6 (CH₂CH₃), 80.8 (C(CH₃)₃), 87.2 (CH₂COO), 119.0 (CH₂=CH), 131.4 (CH₂=CHCH2C), 167.0 (CO).

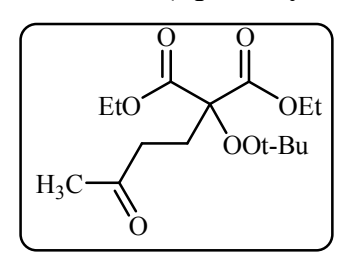
Диэтил (трет -бутилперокси)фенилмалонат 15g



Бесцветное масло. Выход: 89%. Рассчитано для С₁₇Н₂₄О₆: % С 62.95; %H 7.46;%O 29.59; найдено: % С 62.50; %H 7.59. ¹H ЯМР (300.15 M Γ II, CDCl₃): $\delta = 1.26$ (T, 6H, J = 7.2 Γ II, CH₂CH₃), 1.31 (c, 9H, CH₃), 4.25 (KB, 4H, $J = 7.2 \Gamma II$, CH₂CH₃), 7.32-7.36 (M, 3H, Ph), 7.57-7.62 (M, 2H, Ph).

¹³C 9MP (75.48 M Γ II, CDCl₃): δ = 14.0 (CH₂CH₃), 26.5 (C(CH₃)₃), 61.9 (CH₂CH₃), 81.5 (C(CH₃)₃), 88.2 (PhCOOt-Bu), 127.2, 128.0, 128.7, 134.6 (Ph), 166.8 (CO). Macc-спектр высокого разрешения (ESI) m/z: рассчитано для $[C_{17}H_{24}O_6+Na]$: 347.1465. Найдено: 347.1462 (Δ =0.9 ppm). ИК (KBr): 1750 (оч.с, υ_{CO}) см⁻¹.

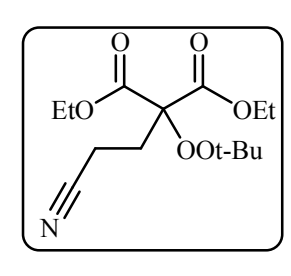
Диэтил (*трет* -бутилперокси)(3-оксобутил)малонат 15f



Бесцветное масло. Выход: 83%. ¹Н ЯМР (300.15 МГц, CDCl₃): $\delta = 1.19$ (c, 9H, C(CH₃)₃), 1.22 (T, 6H, J = 7.2 Γ II, CH₂CH₃), 2.10 (c, 3H, COCH₃), 2.41-2.50 (M, 4H, (CH₂)₂), 4.18 (кв, 4H, J = 7.2 Γ ц, CH₂CH₃). ¹³С ЯМР (75.48 М Γ ц, CDCl₃): δ = 14.0 (OCH₂CH₃), 25.9 (COCH₂CH₂), 26.4 (C(CH₃)₃), 29.9

(CH₃CO), 37.2 (COCH₂CH₂), 61.8 (OCH₂CH₃), 80.8 (C(CH₃)₃), 86.3 (CH₂CH₂COO), 167.1 (OCOCH₂CH₃), 207.3 (CO).

Диэтил (трет -бутилперокси)(2-цианоэтил)малонат 15h



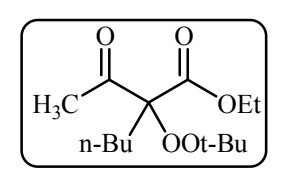
Бесцветное масло. Выход: 83%. ¹H ЯМР (300.15 МГц, CDCl₃): $\delta = 1.24$ (c, 9H, C(CH₃)₃), 1.27 (T, 6H, J = 7.2 Γ _{II}, CH₃CH₂), 2.37-2.62 (м, 4H, CH₂CH₂CN), 4.25 (кв, $J = 7.1 \Gamma \mu$, 4H, CH₃CH₂). ¹³С ЯМР (75.48 M Γ II, CDCl₃): $\delta = 11.4$ (CH₂CH₂CN), 14.0 (<u>C</u>H₃CH₂), 26.4 $(C(CH_3)_3)$, 27.9 (CH_2CH_2CN) , 62.4 (CH_2CH_3) , 81.5 $(C(CH_3)_3)$, 85.6

(CH₂CH₂COOt-Bu), 119.1 (CN), 166.2 (CO).

Этил 2-(трет -бутилперокси)-2-метил-3-оксобутаноат 16а

Бесцветное масло. Выход: 38%. Рассчитано для С₁₁Н₂₀О₅: % С 56.88; % H 8.68; найдено: % C 57.00; % H 8.69. ¹H ЯМР (300.15 MΓ_{II}, CDCl₃): $\delta = 1.22$ (c, 9H, (CH₃)₃C), 1.23 (T, J = 6.7 Γ_{II}, 3H, OCH₂C<u>H</u>₃), 1.54 (c, 3H, CH₃COOBu-t), 2.25 (c, 3H, CH₃CO), 4.17 (кв, $J = 6.7 \Gamma \mu$, 2H, OCH₂CH₃). ¹³C ЯМР (75.48) MΓ_{II}, CDCl₃): $\delta = 14.0$ (OCH₂CH₃), 18.3 (CH₃C), 25.7 (CH₃CO), 26.4 (C(CH₃)₃), 61.7 (OCH_2CH_3) , 80.8 $(C(CH_3)_3)$, 89.7 (CH_3C) , 168.1, 203.8 (CO). Масс-спектр высокого разрешения (ESI) m/z: рассчитано для [$C_{11}H_{20}O_5+Na$]: 255.1203. Найдено: 255.1212 (Δ = 1.5 ppm). ИК (KBr): 1752 (оч.с, v_{CO}), 1735 (оч.с, v_{CO}) см⁻¹.

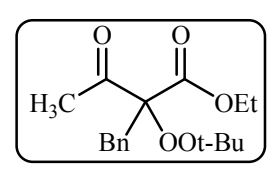
Этил 2-ацетил-2-(трет -бутилперокси) гексаноат 16b



Бесцветное масло. Выход: 47%. ¹H ЯМР (300.15 МГц, CDCl₃): δ = 0.86 (T, J = 6.9 Γ II, 3H, CH₃), 1.15-1.45 (M, 7H, CH₂CH₂, OCH₂CH₃), 1.25 (c, 9H, (CH₃)₃C), 2.00-2.25 (M, 2H, CH₂C), 2.23 (c, 3H, CH₃CO), 4.18 (кв, $J = 7.2 \Gamma \mu$, 2H, OCH₂CH₃). ¹³С ЯМР (75.48 МГ μ , CDCl₃): $\delta = 13.9$ (CH₃), 14.1 (OCH_2CH_3) , 22.8, 25.0 (CH_2) , 26.2 $(\underline{C}H_3CO)$, 26.5 $(C(\underline{C}H_3)_3)$, 30.9 (CH_2) , 61.5 $(O\underline{C}H_2CH_3)$,

Этил 2-бензил-2-(*т*-бутилперокси)-3-оксобутаноат 16с

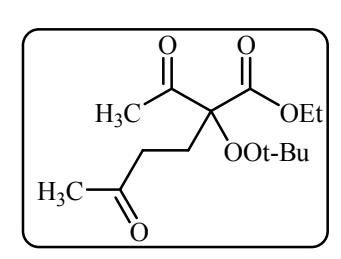
80.6 (<u>C</u>(CH₃)₃), 92.2 (CH₂<u>C</u>), 167.7, 203.7 (CO).



(CO).

Бесцветное масло. Выход: 35%. ¹H ЯМР (300.15 МГц, CDCl₃): δ = 1.23 (T, J = 7.2 Γ II, 3H, OCH₂CH₃), 1.32 (c, 9H, (CH₃)₃C), 1.90 (c, 3H, CH₃CO), 3.31 (μ , J = 14.4 μ , 1H, CH₂Ph), 3.62 (μ , J = 14.4 μ , 1H, CH₂Ph), 4.17 (KB, J = 7.2 Γ II, 2H, OCH₂CH₃), 7.15-7.32 (M, 5H, Ph). ¹³C MMP (75.48) MΓ_{II}, CDCl₃): $\delta = 14.0$ (OCH₂CH₃), 26.7 (C(CH₃)₃), 27.2 (CH₃CO), 37.2 (CH₂Ph), 61.7 (OCH_2CH_3) , 81.2 $(C(CH_3)_3)$, 92.7 (CH_2C) , 126.8, 128.0, 130.7, 135.0 (Ph), 167.7, 203.7

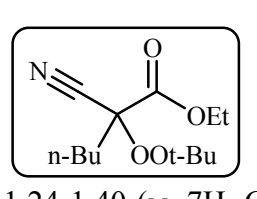
Этил 2-ацетил-2-(трет-бутилперокси)-5-оксогексаноат 16d



 1 Н ЯМР (300.15 МГц, Бесцветное масло. Выход: 33%. CDCl₃): $\delta = 1.21$ (c, 9H, (CH₃)₃C), 1.22 (T, J = 7.2 Γ II, 3H, OCH₂CH₃), 2.08 (c, 3H, CH₃CO), 2.19 (c, 3H, CH₃CO), 2.30-2.49 (M, 4H, CH_2CH_2), 4.15 (KB, $J = 7.2 \Gamma \mu$, 2H, OCH_2CH_3). ¹³C SMP (75.48 M Γ II, CDCl₃): $\delta = 14.0$ (OCH₂CH₃), 25.0 (CH₃CO), 26.4

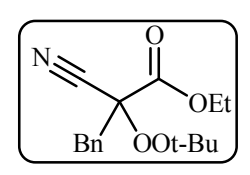
 $(C(CH_3)_3)$, 29.8, 32.9, 37.3 (CH_3CO, CH_2CH_2) , 61.8 (OCH_2CH_3) , 80.9 $(C(CH_3)_3)$, 91.0 (CH₂C), 167.1, 202.5, 207.4 (CO).

Этил 2-цианогексаноат 19а



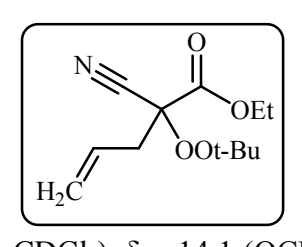
Бесцветное масло. Выход: 35%. Рассчитано для С₁₃Н₂₃NO₄: % С 60.68; % Н 9.01; % N 5.44; найдено: % С 60.59; % Н 8.98; % N 5.54. ¹H 9MP (300.15 M Γ II, CDCl₃): $\delta = 0.90$ (T, J = 6.9 Γ II, 3H, CH₃(CH₂)₃), 1.24-1.40 (м, 7H, CH₂CH₂, OCH₂CH₃), 1.89-2.00 (м, 2H, CH₂C), 4.31 (кв, J = 7.2 Гц, 2H, OCH₂CH₃). ¹³C ЯМР (75.48 МГц, CDCl₃): $\delta = 13.7$ (CH₃), 14.1 (OCH₂CH₃), 22.3, 25.8, 35.1 (CH₂), 26.4 (C($\underline{C}H_3$)₃), 63.1 (O $\underline{C}H_2CH_3$), 82.3 ($\underline{C}(CH_3)_3$), 82.6 (CH₂ \underline{C}), 116.6 (CN), 165.9 (CO). Масс-спектр высокого разрешения (ESI) m/z: рассчитано для $[C_{13}H_{23}O_4+Na]$: 280.1519. Найдено: 280.1525 ($\Delta=2.1$ ppm). ИК (KBr): 2245 (оч.с, υ_{CN}), 1753 (оч.с, ν_{CO}) см⁻¹.

Этил 2-(трет -бутилперокси)-2-циано-3-фенилпропаноат 19b



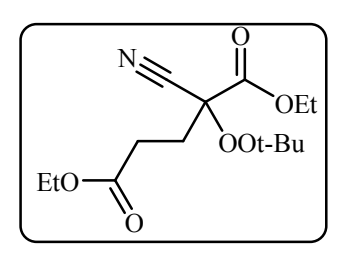
Бесцветное масло. Выход: 39%. ¹H ЯМР (300.15 МГц, CDCl₃): δ = 1.21 (т, $J = 7.2 \Gamma \mu$, 3H, OCH_2CH_3), 1.25 (с, 9H, $(CH_3)_3C$), 3.22 (д, J =13.6 Γ ц, 1H, CH₂Ph), 3.29 (д, J = 13.6 Γ ц, 1H, CH₂Ph), 4.24 (кв, J = 7.2 Γ ц, 2H, OCH₂CH₃), 7.20-7.40 (м, 5H, Ph). ¹³C ЯМР (75.48 М Γ ц, CDCl₃): δ = 14.0 (OCH_2CH_3) , 26.4 $(C(CH_3)_3)$, 41.3 (CH_2Ph) , 63.2 (OCH_2CH_3) , 82.6 $(C(CH_3)_3)$, 82.9 (CH_2C) , 116.2 (CN), 128.3, 128.7, 130.5, 131.3, 133.5 (Ph), 165.3 (CO).

Этил 2-(трет -бутилперокси)-2-цианопент-4-еноат 19с



Бесцветное масло. Выход: 31%. ¹H ЯМР (300.15 МГц, CDCl₃): $\delta = 1.25$ (c, 9H, (CH₃)₃C), 1.29 (T, J = 7.2 Γ II, 3H, OCH₂CH₃), 2.69 (Д, $J = 7.4 \Gamma$ ц, 2H, CH₂), 4.25 (кв, $J = 7.2 \Gamma$ ц, 2H, OCH₂CH₃), 5.16-5.28 (м, 2H, CH₂=CH), 5.65-5.88 (м, 1H, CH₂=CH). ¹³С ЯМР (75.48 МГц, CDCl₃): $\delta = 14.1$ (OCH₂CH₃), 26.3 (C(CH₃)₃), 39.6 (CH₂), 63.1 (OCH₂CH₃), 81.6 (C(CH₃)₃), 82.8 (CH₂C), 116.1 (CN), 122.1 (CH=CH₂), 130.6 (CH=CH₂), 165.1 (CO).

Диэтил 2-(трет-бутилперокси)-2-цианопентандиоат 19d



Бесцветное масло. Выход: 42%. ¹Н ЯМР (300.15 МГц, CDCl₃): $\delta = 1.19-1.35$ (M, 6H, OCH₂CH₃), 1.24 (c, 9H, C(CH₃)₃), 2.28-2.59 (м, 4H, CH₂CH₂CO), 4.12, (кв, J = 6.9 Гц, 2H, OCH_2CH_3), 4.29 (KB, $J_{H-H} = 6.9$ FII, 2H, OCH_2CH_3). ¹³C PAMP $(75.48 \text{ MFu}, \text{CDCl}_3)$: $\delta = 14.0$, $14.2 \text{ (OCH}_2\text{CH}_3)$, $26.3 \text{ (C(CH}_3)_3)$,

28.6, 30.5 (<u>CH₂CH₂</u>), 61.0, 63.3 (<u>OCH₂CH₃</u>), 81.0 (<u>C(CH₃)₃</u>), 82.9 (<u>CH₂C</u>), 115.9 (<u>CN</u>), 165.1, 171.1 (CO).

Реакция диэтил малоната 14i с системой ТВАІ / t-BuOOH. Синтез тетраэтил этилентетракарбоната 20

К раствору диэтил малоната (0.32 г, 2 ммоль) в ацетонитриле (10 мл) добавляли 70 %-ный водный раствор t-BuOOH (0.773 г, 6 ммоль). Смесь нагревали до кипения и добавляли навеску ТВАІ (0.148 г, 0.4 ммоль). Кипятили в течение 6 ч. Затем растворители упаривали в вакууме (10 мм.рт.ст). Образовавшуюся суспензию разбавляли диэтиловым эфиром, осадок отфильтровывали, растворитель отгоняли в вакууме (10 мм.рт.ст). Получали белые кристаллы. Выход: $0.20 \, \text{г}$, $62 \, \%$. $T_{\pi\pi} = 54-55 \, ^{\circ}\text{C}$. Rf: 0.16 (1:10 \Im A : Π \Im). ¹H \Im MP (300.15 \Im M Γ \coprod , CDCl₃): δ = 1.31 ($_{\rm T}$, J = 7.2 Γ \coprod , 12H, CH₃),

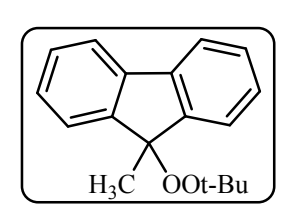
4.31 (кв, J = 7.2 Гц, 8H, CH₂). ¹³С ЯМР (75.48 МГц, CDCl₃): $\delta = 13.9$ (CH₃), 62.6 (CH₂), 135.5 (C=C), 162.4 (CO). Масс-спектр высокого разрешения (ESI) m/z: рассчитано для [C₁₄H₂₀O₈+Na]: 339.1050. Найдено: 339.1046 ($\Delta = 1.1$ ppm).

4.4.Экспериментальная часть к разделу 3.4. Взаимодействие 9метилфлуорена и 1-метилиндена с системой *t*-BuOOH / TBAI.

Реакция 21a-с с системой ТВАІ / t-BuOOH

К раствору **21а-с** (2 ммоль) в ацетонитриле (10 мл) добавляли 70 %-ный водный раствор t-ВиООН (0,773 г, 6 ммоль). Смесь нагревали до кипения и добавляли ТВАІ (0,148 г, 0,4 ммоль). Раствор кипятили 6 ч. Затем растворители упаривали в вакууме (10 мм.рт.ст). Образовавшуюся суспензию разбавляли диэтиловым эфиром, осадок отфильтровывали, растворитель отгоняли в вакууме (10 мм.рт.ст).

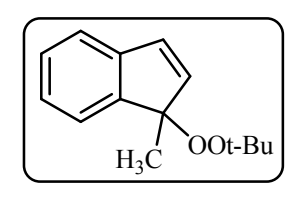
9-(трет-бутилперокси)-9-метил-9Н-флуорен 22а



Бесцветное масло. Выход: 92%. ¹H ЯМР (300.15 МГц, CDCl₃): δ = 1.16 (c, 9H, (CH₃)₃C), 1.83 (c, 3H, CH₃), 7.31-7.68 (м, 8H, Ar). ¹³C ЯМР (75.48 МГц, CDCl₃): δ = 22.5 (CH₃), 26.6 (C(<u>C</u>H₃)₃), 79.5 (<u>C</u>(CH₃)₃), 87.9 (CH₃<u>C</u>), 119.9, 124.9, 127.5, 129.0, 140.0, 146.8 (Ar).

Рассчитано для $C_{18}H_{20}O_2$: % C 80.56; % H 7.51; найдено: % C 80.44; % H 7.62. Массспектр высокого разрешения (ESI) m/z: рассчитано для [$C_{18}H_{20}O_2+K$]: 307.1095. Найдено: 307.1094 (Δ = 0.3 ppm). ИК (KBr): 2976 (c), 1450 (c), 1363 (c), 1330 (ср), 1246 (ср), 1212 (ср), 1196 (с), 1122 (ср), 1096 (ср), 877 (ср), 761 (оч.с, $\nu_{CH Ar}$), 735 (оч.с, $\nu_{CH Ar}$) см⁻¹.

1-метил-1-трет-бутилпероксиинден 22b



Бесцветное масло. Выход: 68%. Рассчитано для $C_{14}H_{18}O_2$: % C 77.03; % H 8.31; найдено: % C 72.92; % H 8.25. ¹H ЯМР (300.15 МГц, CDCl₃): δ = 1.15 (c, 9H, (CH₃)₃C), 1.67 (c, 3H, CH₃), 5.68 (м, 1H, C²H), 6.76 (м, 1H, C³H), 7.29 - 7.65 (м, 4H, Ar). ¹³C ЯМР (75.48

MΓ_{II}, CDCl₃): $\delta = 21.9$ (CH₃), 26.6 (<u>C</u>H₃)₃C), 78.7 (CH₃)₃<u>C</u>), 86.9 (CH₃<u>C</u>OOt-Bu), 122.1, 123.9, 125.5, 126.5, 126.8, 138.0, 140.4. (Ar).

Флуоренон 23

Желтые кристаллы. Выход: 96 %. $T_{пл} = 82-84$ °C (Лит. $^{[207]}$ $T_{пл} = 83-84$ °C). 1 H ЯМР (300.15 МГц, CDCl₃): $\delta = 7.19-7.25$ (м, 2H), 7.34-7.36 (м, 2H), 7.44-7.77 (м, 4H).

5. ЗАКЛЮЧЕНИЕ

- 1. Изучены общие закономерности использования систем на основе пероксида водорода и *трет*-бутилгидропероксида, иода и его соединений.
- 2. Предложены методы окисления и пероксидирования непредельных и карбонильных соединений.
- 3. Разработаны методы синтеза новых классов органических пероксидов на основе взаимодействия моно- и бициклических эфиров енолов, 2-аллил-1,3-дикетонов с системами I_2 / H_2O_2 и I_2 / t-BuOOH.
- 4. Установлено, что 2,3-дигидрофуран и 3,4-дигидропиран при взаимодействии с системой I_2 / гидропероксид (H_2O_2 , t-BuOOH, THPHP) образуют вицинальные йодпероксиды. Бициклические эфиры енолов под действием системы I_2 / H_2O_2 также превращаются в вицинальные йодпероксиды, а с использованием системы I_2 / t-BuOOH протекает реакция гидропероксидирования двойной связи.
- 5. Впервые осуществлен синтез 1,2-тетрагидрофуродиоксололов, соединений с конденсированными тетрагидрофурановым и 1,2-диоксолановым циклами, путем каскадной циклизации 2-аллил-1,3-дикетонов под действием системы I_2 / H_2O_2 с выходом 50-81 %.
- 6. Разработан метод пероксидирования различных СН-кислот: малоновых, ацетоуксусных и циануксусных эфиров, 9-метилфлуорена и 1-метилиндена под действием системы Bu_4NI / t-BuOOH. Соответствующие *трет*-бутилпероксиды получены с выходом 31-92%.

6. СПИСОК ИСПОЛЬЗУЕМЫХ СОКРАЩЕНИЙ И УСЛОВНЫХ ОБОЗНАЧЕНИЙ

Ас ацетил

All аллил

Ar арил

bmim N-бутил-N-метилимидазолий

Bu *н*-бутил

СНР циклогексил гидропероксид

DCE 1,2-дихлорэтан

DCM дихлорметан

DTBР ди-*m*-бутилпероксид

EDC 1-этил-3-(3-диметиламинопропил)карбодиимид

Et этил

HFIР гексафтор-*изо*-пропанол

Нех гексил

i-Pr *изо*-пропил

L лиганд

LDH слоистый бисгидроксид

mCPBA мета-хлорпербензойная кислота

Ме метил

MTO метил триоксорений NBS N-бромсукцинимид

NCS N-хлорсукцинимид

NIS N-йодсукцинимид

Oct октил

Ph фенил

Pr *н*-пропил

PS полистирол

RT комнатная температура

SPB гидропероксоборат натрия

SPC гидропероксокарбонат натрия

ТВАІ тетрабутиламмоний йодид

t-Bu *mpem*-бутил

ТЕМРО тетраметилпиридин N-оксид

TFE трифторэтанол

ТНР тетрагидропиранил

ТМАІ тетраметиламмоний йодид

UHP гидропероксомочевина

ДМФА N,N-диметилформамид

7. СПИСОК ЛИТЕРАТУРЫ

- Podgorsek, A. Oxidative Halogenation with "Green" Oxidants: Oxygen and Hydrogen Peroxide / A. Podgorsek, M. Zupan, J. Iskra // Angew. Chem. Int. Ed. – 2009. – V. 48. – P. 8424–8450.
- 2. Wu. X.F. A powerful combination: recent achievements on using TBAI and TBHP as oxidation system / X.-F. Wu, J.-L. Gonga, Xinxin Qi // *Org. Biomol. Chem.* **2014** Issue. 12. P. 5807 –5817.
- 3. Leulier, A. Some chloro and bromo derivatives obtained by using a mixture of the corresponding hydracid and hydrogen peroxide / A. Leulier // *Bull. Chem. Soc. Fr.* **1924**. V. 35. P. 1325–1330.
- 4. Speyer, E. Preparation of bromo- and chlorocodeine and their behavior on catalytic reduction / E. Speyer, H. Rosenfeld // *Ber. Dtsch. Chem. Ges. A* **1925**. V. 58B. P. 1110–1113.
- 5. Bray, W.C. THE CATALYTIC DECOMPOSITION OF HYDROGEN PEROXIDE IN A BROMINE-BROMIDE SOLUTION, AND A STUDY OF THE STEADY STATE / W.C. Bray, R.S. Livingston // J. Am. Chem. Soc. 1923. V. 45. Issue 5. P. 1251–1271.
- 6. Bray, W.C. THE RATE OF OXIDATION OF HYDROGEN PEROXIDE BY BROMINE AND ITS RELATION TO THE CATALYTIC DECOMPOSITION OF HYDROGEN PEROXIDE IN A BROMINE-BROMIDE SOLUTION / W. C. Bray, R. S. Livingston // J. Am. Chem. Soc. 1928. V. 50. Issue 6. P. 1654–1665.
- 7. Lengyel, I. Kinetics of Iodine Hydrolysis / I. Lengyel, I. R. Epstein, K. Kustin // *Inorg. Chem.* **1993**. V. 32. Issue 25. P. 5880–5882.
- 8. Maass, O. THE PROPERTIES OF PURE HYDROGEN PEROXIDE. IV. ACTION OF THE HALOGENS AND HALOGEN HYDRIDES / O. Maass, P. G. Hiebert // J. Am. Chem. Soc. 1924. V. 46. Issue 2. P. 290–308.
- 9. Barhate, N.B. Simple and Practical Halogenation of Arenes, Alkenes and Alkynes with Hydrohalic Acid/H₂O₂ (or TBHP) / N.B. Barhate, A.S. Gajare, R.D. Wakharkar, A.V. Bedekar // *Tetrahedron.* **1999**. V. 55. Issue 36. P. 11127–11142.

- 10. Vyas, P.V. Environmentally benign chlorination and bromination of aromatic amines, hydrocarbons and naphthols / P.V. Vyas, A.K. Bhatt, G. Ramachandraiah, A.V. Bedekar // *Tetrahedron Lett.* **2003**. V. 44. Issue 21. P. 4085–4088.
- 11. Begue, J.P. Fluorinated Alcohols: A New Medium for Selective and Clean Reaction / J.P. Begue, D. Bonnet-Delpon, B. Crousse // *Synlett.* **2004**. Issue 1. P. 18–29.
- 12. Shuklov, I.A. Fluorinated Alcohols as Solvents, Cosolvents and Additives in Homogeneous Catalysis / I.A. Shuklov, N.V. Dubrovina, A. Boerner // Synthesis. 2007. Issue 19. P. 2925–2943.
- 13. Ben Daniel, R. Electrophilic Aromatic Chlorination and Haloperoxidation of Chloride Catalyzed by Polyfluorinated Alcohols: A New Manifestation of Template Catalysis / R. Ben Daniel, S. P. de Visser, S. Shaik, R. Neumann // *J. Am. Chem. Soc.* **2003**. V. 125. Issue 40. P. 12116–12117.
- 14. Bhatkhande, B.S. Sonochemical chloro-oxidation of phenols using HCl–H₂O₂ / B.S. Bhatkhande, M.V. Adhikari, S.D. Samant // *Ultrason. Sonochem.* **2002**. V. 9. Issue 1. P. 31–35.
- Bogdal, D. Halogenation of carbazole and other aromatic compounds with hydrohalic acids and hydrogen peroxide under microwave irradiation / D. Bogdal, M. Lukasiewicz,
 J. Pielichowski // *Green Chem.* 2004. V. 6. Issue 2. P. 110–113.
- 16. Mukhopadhyay, S. Oxidative Chlorination, Desulphonation, or Decarboxylation To Synthesize Pharmaceutical Intermediates: 2,6-Dichlorotoluene, 2,6-Dichloroaniline, and 2,6-Dichloropheno / S. Mukhopadhyay, S.B. Chandalia // *Org. Process. Res. Dev.* 1999. V. 3. Issue 1. P. 10–16.
- Mukhopadhyay, S. Highly Selective Oxidative Monochlorination To Synthesize Organic Intermediates: 2-Chlorotoluene, 2-Chloroaniline, 2-Chlorophenol, and 2-Chloro-4methylphenol / S. Mukhopadhyay, K. H. Chandnani, S. B. Chandalia // Org. Process. Res. Dev. – 1999. – V. 3. – Issue 3. – P. 196–200.
- 18. Barhate, N.B. Simple and Practical Halogenation of Arenes, Alkenes and Alkynes with Hydrohalic Acid/H₂O₂ (or TBHP) / N.B. Barhate, A.S. Gajare, R.D. Wakharkar, A.V. Bedekar // *Tetrahedron.* **1999**. V. 55. Issue 36. P. 11127–11142.
- 19. Terent'ev, A.O. Chlorination of Oximes with Aqueous H₂O₂/HCl System: Facile Synthesis of gem-Chloronitroso- and gem-Chloronitroso- and gem-Chloronitrocycloalkanes / A.O. Terent'ev, I.B. Krylov, Y.N. Ogibin, G.I. Nikishin // *Synthesis*. **2006**. V. 22. P. 3819–3824.

- 20. Terent'ev, A.O. A Convenient and Efficient Synthesis of 1-Aryl-2,2-dichloroethanones / A.O. Terent'ev, S.V. Khodykin, N.A. Troitskii, Y.N. Ogibin, G.I. Nikishin // Synthesis. **2004**. V. 17. P. 2845–2848.
- 21. Suryakiran, N. Halogenation of β-keto-sulfones using KX/H₂O₂ in aqueous medium: Synthesis of α-halo β-keto-sulfones and α-halomethyl sulfones / N. Suryakiran, M. Srinivasulu, Y. Venkateswarlu // *J. Sulfur Chem.* **2007**. V. 28. Issue 4. P. 345–350.
- 22. Suryakiran, N. Chemoselective mono halogenation of b-keto-sulfones using potassium halide and hydrogen peroxide; synthesis of halomethyl sulfones and dihalomethyl sulfones / N. Suryakiran, P. Prabhakar, T. Srikanth Reddy, K. Chinni Mahesh, K. Rajesh, Y. Venkateswarlu // *Tetrahedron Lett.* **2007**. V. 48. P. 877–881.
- 23. Seikel, M.K. 2,6-Dichloroaniline and 2,6-Dibromoaniline / M.K. Seikel // *Org. Synth.* **1955**. V. 3. P. 262–267.
- Lubbecke, H. Nonpollutative Chlorination and Chlorinating Oxidation of Phenols /
 H. Lubbecke, P. Boldt // Angew. Chem. Int. Ed. Engl. 1976. V. 15. Issue 10. –
 P. 608.
- 25. Mukhopadhyay, S. Oxidative Bromination in a Liquid-Liquid Two-Phase System to Synthesize Organic Intermediates: 2-Bromophenol, 2,6-Dibromophenol, and 2-Bromo-4-methylphenol / S. Mukhopadhyay, S. Ananthakrishnan, S. B. Chandalia // *Org. Process Res. Dev.* **1999**. V. 3. Issue 6. P. 451–454.
- 26. Mohan, K.V.V. Krishna Novel Bromination Method for Anilines and Anisoles Using NH₄Br/H₂O₂ in CH₃COOH / K.V.V. Krishna Mohan, N. Narender, P. Srinivasu, S.J. Kulkarni, K.V. Raghavan // Synth. Commun. **2004**. V. 34. Issue 12. P. 2143–2152.
- 27. Lazarev, I.M. Oxidative bromination of bisphenols, synthesis of 4,4 '-isopropylidenebis(2,6-dibromophenol) / I.M. Lazarev, N.A. Nedolya // Russ. J. Org. Chem. 2000. –V. 36. Issue 12. P. 1758–1759.
- 28. Kabalka, G. W. Bromination of Alkenes Using a Mixture of Sodium Bromide and Sodium Perborate / G.W. Kabalka, K. Yang, N. K. Reddy, C. Narayana // Synth. Commun. 1998. V. 28. Issue 5. P. 925-929.
- 29. Kabalka, G.W. BROMINATION OF ALKYNES WITH SODIUM PERBORATE AND SODIUM BROMIDE / G.W. Kabalka, K. Yang // Synth.Commun. **1998**. V. 28. Issue 20. P. 3807–3809.
- 30. Kirihara, M. Chemoselective Bromination of Active Methylene and Methyne Compounds by Potassium Bromide, Hydrochloric Acid and Hydrogen Peroxide / M. Kirihara, S.

- Ogawa, T. Noguchi, K. Okubo, Y. Monma, I. Shimizu, R. Shimosaki, A. Hatano, Y. Hirai // Synlett. **2006**. V. 14. P. 2287–2289.
- 31. Terent'ev, A.O. A convenient synthesis of 2,2-dibromo-1-arylethanones by bromination of 1-arylethanones with the H₂O₂-HBr system / A.O. Terent'ev, S.V. Khodykin, I.B. Krylov, Y.N. Ogibin, G.I. Nikishin // *Synthesis*. **2006**. Issue 7. P. 1087–1092.
- 32. Tillu, V.H. Studies on Bromination of Active Methylene by a Mixture of Hydrobromic Acid and Hydrogen Peroxide (or TBHP) / V.H. Tillu, P.D. Shinde, A.V. Bedekar, R.D. Wakharkar // Synth. Commun. 2003. V. 33. Issue 8. P. 1399–1403.
- 33. Terent'ev, A.O. Synthesis of dibromo ketones by the reaction of the environmentally benign H₂O₂-HBr system with oximes / A.O. Terent'ev, I.B. Krylov, V.A. Vil', Zh.Yu. Pastukhova, S.A. Fastov, G.I. Nikishin // *Cent. Eur. J. Chem.* **2012**. V. 10. Issue 2. P. 360-367.
- 34. Amati, A. Catalytic Processes of Oxidation by Hydrogen Peroxide in the Presence of Br₂ or HBr. Mechanism and Synthetic Applications / A. Amati, G. Dosualdo, L.H. Zhao, A. Bravo, F. Fontana, F. Minisci, H.R. Bjorsvik // *Org. Process Res. Dev.* **1998**. V. 2. Issue 4. P. 261–269.
- 35. Mestres, R. High atomic yield bromine-less benzylic bromination / R. Mestres, J. Palenzuela // *Green Chem.* **2002**. Issue 4. P. 314–316.
- 36. Ying, T.K. Bromination of carbon-carbon double bonds involving oxidation of NaBr in an ionic liquid / T.K. Ying, W.L. Bao, Y.M. Zhang // *J. Chem. Res. Synop.* **2004**. Issue 12. P. 806–807.
- 37. Adams, D.J. Chemistry in Alternative Reaction Media / D.J. Adams, P.J. Dyson, S.J. Tavener. New York: Wiley, 2004.
- 38. Beckman, E.J. Supercritical and near-critical CO2 in green chemical synthesis and processing / E.J. Beckman // *J. Supercrit. Fluids.* **2004**. V. 28. Issues 2-3. P. 121–191.
- 39. Ganchegui, B. Oxybromination of phenol and aniline derivatives in H₂O/scCO₂ biphasic media / B. Ganchegui, W. Leitner // *Green Chem.* **2007**. V. 9. Issue 1. P. 26–29.
- Podgorsek, A. Environmentally benign electrophilic and radical bromination 'on water': H₂O₂–HBr system versus N-bromosuccinimide / A. Podgorsek, S. Stavber, M. Zupan, J. Iskra // *Tetrahedron.* – 2009. – V. 65. – Issue 22. – P. 4429–4439.
- 41. Podgorsek, A. Bromination of ketones with H₂O₂–HBr "on water"/ A. Podgorsek, S. Stavber, M. Zupan, J. Iskra // *Green Chem.* **2007**. V. 9. Issue 11. P. 1212–1218.

- 42. Khan, A.T. A simple synthetic protocol for oxidation of alkyl-arenes into ketones using a combination of HBr–H₂O₂ / A.T. Khan, T. Parvin, L.H. Choudhury, S. Ghosh // *Tetrahedron Lett.* **2007**. V. 48. Issue 13. P. 2271–2274.
- 43. Perchyonok, V.T. Recent advances in C–H bond formation in aqueous media: a mechanistic perspective / V.T. Perchyonok, I.N. Lykakis, K.L. Tuck // *Green Chem.* **2008**. V. 10. Issue 2. P. 153–163.
- 44. Yorimitsu, H. Synthetic radical reactions in aqueous media / H. Yorimitsu, H. Shinokubo, K. Oshima // *Synlett.* **2002**. Issue 5. P. 674–686.
- 45. Podgorsek, A. Free radical bromination by the H₂O₂–HBr system on water / A. Podgorsek, S. Stavber, M. Zupan, J. Iskra // *Tetrahedron Lett.* **2006**. V. 47. Issue 40. P. 7245–7247.
- Dakka, J. Quaternary Ammonium Salts as Bifunctional Catalysts in the Oxybromination of Aromatic Compounds by Aqueous Hydrogen Bromide / Hydrogen Peroxide / J. Dakka, Y. Sasson // J. Chem. Soc. Chem. Commun. 1987. Issue 19. P. 1421–1422.
- 47. Narayan, S. "On Water": Unique Reactivity of Organic Compounds in Aqueous Suspension / J. Muldoon, M.G. Finn, V.V. Fokin, H.C. Kolb, K.B. Sharpless // Angew. Chem. Int. Ed. 2005. V. 44. Issue 21. P. 3275–3279.
- 48. Pirrung, M.C. Acceleration of Organic Reactions through Aqueous Solvent Effects / M.C. Pirrung // *Chem. Eur. J.* **2006**. V. 12. Issue 5. P. 1312–1317.
- 49. Narayan, S. OrganicReactions in Water: Principles, Strategies and Applications / S. Narayan, V.V. Fokin, K.B.Sharpless; Ed.: U.M. Lindstrom. Oxford: Blackwell, 2007. 350–365 pp.
- 50. Clague, M.J. Biomimics of Vanadium Bromeperoxidase: Vanadium f V)-Schiff Base Catalyzed Oxidation of Bromide by Hydrogen Peroxide / M.J. Clague, N.L. Keder, A. Butler // *Inorg. Chem.* **1993**. V. 32. Issue 22. P. 4754–4761.
- 51. Conte, V. A mechanistic investigation of bromoperoxidases mimicking systems. Evidence of a hypobromite-like vanadium intermediate from experimental data and ab initio calculations / V. Conte, F. Di Furia, S. Moro, S. Rabbolini // *J. Mol. Catal. A.* **1996**. V. 113. Issues 1-2. P. 175–184.
- 52. Colpas, G. J. Functional Models for Vanadium Haloperoxidase: Reactivity and Mechanism of Halide Oxidation / G. J. Colpas, B. J. Hamstra, J. W. Kampf, V. L. Pecoraro // J. Am. Chem. Soc. 1996. V. 118. Issue 14. P. 3469–3478.
- 53. Butler, A. Mechanistic considerations of the vanadium haloperoxidases / A. Butler // *Coord. Chem. Rev.* **1999**. V. 187. Issue 1. P. 17–35.

- 54. Martinez, J. S. On the Regiospecificity of Vanadium Bromoperoxidase / J. S. Martinez, G. L. Carroll, R. A. Tschirret-Guth, G. Altenhoff, R. D. Little, A. Butler // J. Am. Chem. Soc. 2001. V. 123. Issue 14. P. 3289–3294.
- Feiters, M. C. Bromine is an Endogenous Component of a Vanadium Bromoperoxidase / M. C. Feiters, C. Leblanc, F. C. Kupper, W. Meyer-Klaucke, G. Michel, P. Potin // J. Am. Chem. Soc. 2005. V. 127. Issue 44. P. 15340–15341.
- 56. Dinesh, C. U. Catalytic Halogenation of Selected Organic Compounds Mimicking Vanadate-dependent Marine Metalloenzymes / C. U. Dinesh, R. Kumar, B. Pandey, P. Kumar // J. Chem. Soc. Chem. Commun. 1995. Issue 6. P. 611–612.
- 57. Moriuchi, T. An efficient vanadium-catalyzed bromination reaction / T. Moriuchi, M. Yamaguchi, K. Kikushima, T. Hirao // *Tetrahedron Lett.* **2007**. V. 48. Issue 15. P. 2667–2670.
- 58. Bora, U. Regioselective Bromination of Organic Substrates by Tetrabutylammonium Bromide Promoted by V₂O₅–H₂O₂: An Environmentally Favorable Synthetic Protocol / U. Bora, G. Bose, M. K. Chaudhuri, S. S. Dhar, R. Gopinath, A. T. Khan, B. K. Patel // Org. Lett. **2000**. V. 2. Issue 3. P. 247–249.
- 59. Bora, U. Peroxometal-mediated environmentally favorable route to brominating agents and protocols for bromination of organics / U. Bora, M. K. Chaudhuri, D. Dey, S. S. Dhar // Pure Appl. Chem. 2001. –V. 73. Issue 1. P. 93–102.
- Khan, A.T. A highly efficient and environmentally benign synthesis of 6,8-dibromoflavones, 8-bromoflavones, 5,7-dibromoaurones and 7-bromoaurones / A.T. Khan, P. Goswami // Tetrahedron Lett. 2005. V. 46. Issue 30. P. 4937–4940.
- 61. Khan, A. T. A mild and environmentally acceptable synthetic protocol for chemoselective a-bromination of b-keto esters and 1,3-diketones / A. T. Khan, P. Goswami, L. H. Choudhury // Tetrahedron Lett. – 2006. – V. 47. – Issue 16. – P. 2751– 2754.
- 62. Rothenberg, G. Vanadium-Catalysed Oxidative Bromination Using Dilute Mineral Acids and Hydrogen Peroxide: An Option for Recycling Waste Acid Streams / G. Rothenberg, J. H. Clark // Org. Process Res. Dev. 2000. V. 4. Issue 4. P. 270–274.
- 63. Andersson, M. Vanadium Bromoperoxidases Mimicking Systems: Bromohydrins Formation as Evidence of the Occurrence of a Hypobromite-Like Vanadium Complex. // M. Andersson, V. Conte, F. Di Furia, S. Moro // Tetrahedron Lett. 1995. V. 36. Issue 15. P. 2675–2678.

- 64. Conte, V. Sustainable vanadium(V)-catalyzed oxybromination of styrene: Two-phase system versus ionic liquids / V. Conte, B. Floris, P. Galloni, A. Silvagni // *Pure Appl. Chem.* **2005**. V. 77. Issue 9. P. 1575–1581.
- 65. Reis, P.M. Amavadine as a catalyst for the peroxidative halogenation, hydroxylation and oxygenation of alkanes and benzene / P.M. Reis, J.Armando.L. Silva, J.J.R. Frausto da Silva, A.J.L. Pombeiro // *Chem. Commun.* **2000**. P. 1845–1846.
- 66. Maurya, M.R. Polymer supported vanadium and molybdenum complexes as potential catalysts for the oxidation and oxidative bromination of organic substrates / M.R. Maurya, U. Kumar, P. Manikandan // Dalton Trans. 2006. Issue 29. P. 3561–3575.
- 67. Maurya, M.R. Oxidative bromination of salicylaldehyde by potassium bromide/H₂O₂ catalysed by dioxovanadium(V) complexes encapsulated in zeolite–Y: a functional model of haloperoxidases / M.R. Maurya, H. Saklani, S. Agarwal // *Catal.Commun.* **2004**. V. 5. Issue 9. P. 563–568.
- 68. Gubelmann, M. H. Structure and Bonding / M. H. Gubelmann, A. F. Williams Berlin: Springer-Verlag, 1984. V. 55. P. 1–65.
- 69. Wahlen, J. Solid Materials as Sources for Synthetically Useful Singlet Oxygen / J. Wahlen, D. E. De Vos, P. A. Jacobs, P. L. Alsters // Adv. Synth. Catal. 2004. V. 346. Issue 2-3. P. 152–164.
- 70. Choudary, B. M. Regioselective Oxybromination of Activated Aromatic Compounds Catalysed by Ammonium Molybdate / B. M. Choudary, Y. Sudha, P. N. Reddy // *Synlett*. **1994**. Issue 6. P. 450.
- 71. Conte, V. Oxybromination of Ethynylbenzene Catalysed by MolybdenumComplexes in Organic Solvent and in Ionic Liquids / V. Conte, B. Floris, P. Galloni, A. Silvagni // *Adv. Synth. Catal.* **2005**. V. 347. Issue 10. P. 1341–1344.
- 72. Jacobs, P. Layered double hydroxides exchanged with tungstate as biomimetic catalysts for mild oxidative bromination / P. Jacobs, B. Sels, D. De Vos, M. Buntinx, F. Pierard, A. Kirsch-De Mesmaeker // *Nature*. **1999**. Issue 400. P. 855–857.
- 73. Sels, B.F. Transition metal anion exchanged layered double hydroxides as a bioinspired model of vanadium bromoperoxidase / B.F. Sels, D.E. De Vos, M. Buntinx, P.A. Jacobs // *J. Catal.* **2003**. V. 216. P. 288–297.
- 74. Sels, B.F. Use of WO₄²⁻ on Layered Double Hydroxides for Mild Oxidative Bromination and Bromide-Assisted Epoxidation with H₂O₂ / B.F. Sels, D.E. De Vos, P.A. Jacobs // *J. Am. Chem. Soc.* **2001**. V. 123. Issue 34. P. 8350–8359.

- 75. Sinha, J. A green Hunsdiecker reaction: synthesis of b-bromostyrenes from the reaction of a,b-unsaturated aromatic carboxylic acids with KBr and H₂O₂ catalysed by Na₂MoO₄·2H₂O in aqueous medium / J. Sinha, S. Layek, G. C. Mandal, M. Bhattacharjee // Chem. Commun. **2001**. Issue 19. P. 1916–1917.
- 76. Choudary, B. M. Molybdate-exchanged Mg–Al–LDH catalyst: an eco-compatible route for the synthesis of β-bromostyrenes in aqueous medium / B. M. Choudary, T. Someshwar, M. Lakshmi Kantam, Ch. Venkat Reddy // *Catal. Commun.* **2004**. V. 5. Issue 5. P. 215–219.
- 77. Bezodis, P. The Bromination of Phenolic Methyl Ethers with Hydrogen Bromide using Sodium Tungstate and Hydrogen Peroxide as Oxidant / P. Bezodis, J. R. Hanson, P. Petit // *J. Chem. Res. Synop.* **1996**. P. 334–335.
- 78. Hanson, J.R. Catalysts for the oxidative bromination of aromatic amines and their N-acetyl derivatives / J.R. Hanson, A. Opakunle, P. Petit // *J. Chem. Res. Synop.* **1995**. Issue 11. P. 457.
- 79. Meister, G. E. Molybdenum(VI)- and Tungsten(VI)-Mediated Biomimetic Chemistry of Vanadium Bromo peroxidase / G. E. Meister, A. Butler // *Inorg. Chem.* **1994**. V. 33. Issue 15. P. 3269–3275.
- 80. Choudary, B.M. The first example of bromination of aromatic compounds with unprecedented atom economy using molecular bromine / B.M. Choudary, T. Someshwar, Ch. Venkat Reddy, M. Lakshmi Kantam, K. Jeeva Ratnam, L.V. Sivaji // *Appl. Catal. A.* **2003**. V. 251. P. 397–409.
- 81. Sels, B. A New Catalytic Route for the Oxidative Halogenation of CyclicEnol Ethers using Tungstate Exchanged on Takovite / B. Sels, P. Levecque, R. Brosius, D. De Vos, P. Jacobs, D. W. Gammon, H. H. Kinfe // Adv. Synth. Catal. 2005. V. 347. Issue 1. P. 93–104.
- 82. Mallick, S. Studies on heteropoly acid supported zirconia II. Liquid phase bromination of phenol and various organic substrates / S. Mallick, K. M. Parida // *Catal. Commun.* **2007**. V. 8. Issue 6. P. 889–893.
- 83. Mallik, S. Studies on heteropoly acid supported zirconia III: Oxidative bromination of phenol using phosphotungstic acid supported on zirconia / S. Mallik, K. M. Parida, S. S. Dash // *J. Mol. Catal. A.* **2007**. V. 261. Issue 2. P. 172–179.
- 84. Das, D. P. Liquid phase bromination of phenol II. Over heteropoly acid (HPA)-impregnated zirconium phosphate (ZrP) / D. P. Das, K. M. Parida // *Appl. Catal. A.* **2006**. V. 305. Issue 1. P. 32–38.

- 85. Das, D. P. Liquid phase bromination of phenol III. Over heteropoly acid (HPA)-impregnated titanium phosphate (TiP) / D. P. Das, K. M. Parida // *J. Mol. Catal. A.* **2006**. V. 253. Issues 1-2. P. 70–78.
- 86. Walker, J.V. Peroxidative Halogenation Catalyzed by Transition-Metal-Ion-Grafted Mesoporous Silicate Materials / J. V. Walker, M. Morey, H. Carlsson, A. Davidson, G. D. Stucky, A. Butler // J. Am. Chem. Soc. 1997. V. 119. Issue 29. P. 6921–6922.
- 87. Das, D. P. Liquid phase bromination of phenol over titania pillared zirconium phosphate and titanium phosphate / D. P. Das, K. Parida // *Catal. Commun.* **2006**. V. 7. Issue 2. P. 68–72.
- 88. Espenson, J.H. Bromide Ions and Methyltrioxorhenium as Cocatalysts for Hydrogen Peroxide Oxidations and Brominations / J.H. Espenson, Z.L.Zhu, T.H. Zauche // *J.Org.Chem.* **1999**. V. 64. Issue 4. P. 1191–1196.
- 89. Iskra, J. Nonmetal-catalyzed iodination of arenes with iodide and hydrogen peroxide / J. Iskra, S. Stavber, M. Zupan // *Synthesis*. **2004**. Issue 11. P. 1869–1873.
- 90. Narender, N. Eco-friendly oxyiodination of aromatic compounds using ammonium iodide and hydrogen peroxide / N. Narender, K. S. K. Reddy, K. V. V. Krishna Mohan, S.J. Kulkarni // *Tetrahedron Lett.* **2007**. V. 48. Issue 35. P. 6124–6128.
- 91. Jereb, M. Direct α-Iodination of Ketones Induced by Aqueous Hydrogen Peroxide / M. Jereb, J. Iskra, M. Zupan, S. Stavber // *Lett. Org. Chem.* **2005**. V. 2. Issue 5. P. 465–468.
- 92. Beinker, P. Oxidative Iodination of Aromatic Amides Using Sodium Perborate or Hydrogen Peroxide with Sodium Tungstate / P. Beinker, J. R. Hanson, N. Meindl, I.C.R. Medina // J. Chem. Res. Synop. 1998. Issue 4. P. 204–205.
- 93. Barluenga, J. New Iodination Reactions of Saturated Hydrocarbons / J. Barluenga, E. Camos-Gomez, D. Rodriguez, F. GonzalezBobes, J. M. Gonzalez // *Angew. Chem. Int. Ed.* **2005**. V. 44. Issue 36. P. 5851–5854.
- 94. Terent'ev, A.O. Facile Synthesis of E-Diiodoalkenes: H₂O₂-Activated Reaction of Alkynes with Iodine // A.O. Terent'ev, D.A. Borisov, I.B. Krylov, G.I. Nikishin // Synthetic Communications. **2007**. V. 37. Issue 18. P. 3151–3164.
- 95. Pavlinac, J. Iodination of Organic Compounds with Elemental Iodine in the Presence of Hydrogen Peroxide in Ionic Liquid Media / J. Pavlinac, K. K. Laali, M. Zupan, S. Stavber // Aust. J. Chem. 2008. V. 61. P. 946–955.
- 96. Jereb, M. Effective and selective iodofunctionalisation of organic molecules in water using the iodine–hydrogen peroxide tandem / M. Jereb, M. Zupan, S. Stavber // *Chem. Commun.* **2004**. P. 2614–2615.

- 97. Kim, M.M. Green iodination of pyrazoles with iodine/hydrogen peroxide in water / M. M. Kim, R. T. Ruck, D. Zhao, M. A. Huffman // *Tetrahedron Lett.* **2008**. V. 49. Issue 25. P. 4026–4028.
- 98. Pavlinac, J. "Green" iodination of dimethoxy- and trimethoxy-substituted aromatic compounds using an iodine-hydrogen peroxide combination in water / J. Pavlinac, M. Zupan, S. Stavbe // *Synthesis*. **2006**. Issue 15. P. 2603–2607.
- 99. Pavlinac, J. Effect of Water on the Functionalization of Substituted Anisoles with Iodine in the Presence of F-TEDA-BF₄ or Hydrogen Peroxide / J. Pavlinac, M. Zupan, S. Stavber // J. Org. Chem. **2006**. V. 71. Issue 3. P. 1027–1032.
- 100.Barluenga, J. New reactions in water: metal-free conversion of alcohols and ketones into α-iodoketones / J. Barluenga, M. Marco-Arias, F. Gonzalez-Bobes, A. Ballesteros, J. M. Gonzalez // *Chem. Commun.* **2004**. Issue 22. P. 2616–2617.
- 101.Sun, K. Regioselective, Molecular Iodine-Mediated C3 Iodination of Quinolines / K. Sun, Y. Lv, J. Wang, J. Sun, L. Liu, M. Jia, X. Liu, Z. Li, X. Wang // *Org. Lett.* **2015**. V. 17. Issue 18. P. 4408–4411.
- 102.Lulinski, P. Eco-friendly oxidative iodination of various arenes with a urea-hydrogen peroxide adduct (UHP) as the oxidant // P. Lulinski, A. Kryska, M. Sosnowski, L. Skulski // *Synthesis*. **2004**. Issue 3. P. 441–445.
- 103. Sosnowski, M. Microwave-Accelerated Iodination of Some Aromatic Amines, Using Urea-Hydrogen Peroxide Addition Compound (UHP) as the Oxidant / M. Sosnowski, L. Skulski // *Molecules*. **2002**. V. 7. Issue 12. P. 867–870.
- 104.Pavlinac, J. Solvent-free iodination of organic molecules using the I₂/urea–H₂O₂ reagent system / J. Pavlinac, M. Zupan, S. Stavber // *Org. Biomol. Chem.* **2007**. V. 5. Issue 4. P. 699–707.
- 105.Pavlinac, J. Iodination of Organic Compounds Using the Reagent System I₂–30% aq. H₂O₂ under Organic Solvent-free Reaction Conditions / J. Pavlinac, M. Zupan, S. Stavber // Acta Chim. Slov. – 2009. – Issue 55. – P. 841–849.
- 106. Zielinska, A. Eco-friendly Oxidative Iodination of Various Arenes with Sodium Percarbonate as the Oxidant / A. Zielinska, L. Skulski // *Molecules*. **2005**. V. 10. Issue 10. P. 1307–1317.
- 107.Hanson, J.R. Oxidative Bromination of Aromatic Amides using Sodium Perborate as Oxidant / J.R. Hanson, S. Harpel, I.C.R. Medina, D. Rose // J. Chem. Res. Synop. 1997. Issue 11. P. 432–433.

- 108.Roche, D. Mild and regioselective oxidative bromination of anilines using potassium bromide and sodium perborate / D. Roche, K. Prasad, O. Repic, T.J. Blacklock // *Tetrahedron Lett.* **2000**. V. 41. Issue 13. P. 2083–2085.
- 109. Weissermel, K. Einige Additionsreaktionen mit Olefinen / K. Weissermel, M. Lederer. // *Chem. Ber.* **1963**. V. 96 Issue. 1. P. 77-87.
- 110.Richardson, W.H. The Reaction Of Chloro-t-Butyl Hydroperoxide With Base / W.H. Richardson, J.W. Peters, W.P. Konopka // *Tetrahedron Letters*. **1966**. V. 7. Issue 45. P. 5531-5535;
- 111.Kopecky, K. R. Preparation and base-catalyzed reactions of some β-halohydroperoxides / K. R. Kopecky, J. H. Sande, C. Mumford // *Canadian Journal of Chemistry*. **1968**. V. 46. Issue 1. P. 21 24;
- 112.Kopecky, K.R. Preparation and Thermolysis of some l,2-Dioxetane / K.R. Kopecky, J.E. Filby, C. Mumford, P.A. Lockwood, J. Ding // *Canadian Journal of Chemistry*. **1975**. V. 53 Issue 8. P. 1103 1122;
- 113. Schulz, M. Anlagerung von Halogen und Wasserstoffperoxid an Olefine / M. Schulz, A. Rieche, K. Kirschke // *Chem. Ber.* **1967**. V. 100. Issue. 1. P. 370-374;
- 114.Gammon, D.W. A simple, efficient alternative for highly stereoselective iodoacetoxylation of protected glycals / D.W. Gammon, H.H. Kinfe, D.E. De Vos, P.A. Jacobs, B.F. Sels // *Tetrahedron Lett.* **2004**. V. 45. Issue 52. P. 9533–9536.
- 115.Barluenga, J. Reaction of Alkenes with Hydrogen Peroxide and Sodium Iodide: A Nonenzymatic Biogenic-Like Approach to Iodohydrins / J. Barluenga, M. Marco-Arias, F. Gonzalez-Bobes, A. Ballesteros, J. M. Gonzalez // Chem. Eur. J. 2004. V. 10. Issue 7. P. 1677–1682.
- 116.Jereb, M. Hydrogen peroxide induced iodine transfer into alkenes / M. Jereb, M. Zupan, S. Stavber // *Green Chem.* **2005**. V. 7. Issue 2. P. 100–104.
- 117.Terent'ev, A.O. A New Approach to the Synthesis of Vicinal Iodoperoxyalkanes by the Reaction of Alkenes with Iodine and Hydroperoxides / A.O. Terent'ev, I.B. Krylov, D.A. Borisov, G.I. Nikishin // *Synthesis*. **2007**. Issue 19. P. 2979–2986.
- 118.Terent'ev, A.O. Reaction of Enol Ethers with the I₂–H₂O₂ System: Synthesis of 2-Iodo-1-methoxyhydroperoxides and Their Deperoxidation and Demethoxylation to 2-Iodoketones. / A.O. Terent'ev, A.M. Borisov, M.M. Platonov, Z.A. Starikova, V.V. Chernyshev, G.I. Nikishin // *Synthesis*. **2009**. Issue 24. P. 4159-4166.
- 119.Greb, M. The (Schiff base)vanadium(V) Complex Catalyzed Oxidation of Bromide A

 New Method for the in situ Generation of Bromine and Its Application in the Synthesis of

- Functionalized Cyclic Ethers / M. Greb, J. Hartung, F. Kohler, K. Spehar, R. Kluge, R. Csuk // Eur. J. Org. Chem. 2004. Issue 18. P. 3799–3812.
- 120.Drake, M.D. Substituent Effects in Arylseleninic Acid-Catalyzed Bromination of Organic Substrates with Sodium Bromide and Hydrogen Peroxide / M.D. Drake, M.A. Bateman, M.R. Detty // *Organometallics*. **2003**. V. 22. Issue 20. P. 4158–4162.
- 121.Goodman, M.A. Selenoxides as Catalysts for the Activation of Hydrogen Peroxide.

 Bromination of Organic Substrates with Sodium Bromide and Hydrogen Peroxide / M.A.

 Goodman, M.R. Detty // Organometallics. 2004. V. 23. Issue 12. P. 3016–3020.
- 122.Mellegaard-Waetzig, S.R. Selenium-catalyzed oxidative halogenations / S.R. Mellegaard-Waetzig, C. Wang, J.A. Tunge // *Tetrahedron.* **2006**. V. 62. Issue 30. P. 7191–7198.
- 123.Bennett, S.M. A Xerogel-Sequestered Selenoxide Catalyst for Brominations with Hydrogen Peroxide and Sodium Bromide in an Aqueous Environment / S.M. Bennett, Y. Tang, D. McMaster, F. V. Bright, M.R. Detty // *J. Org. Chem.* **2008**. V. 73. Issue 17. P. 6849–6852.
- 124.Detty, M.R. Positive Halogens from Halides and Hydrogen Peroxide with Organotellurium Catalysts / M.R. Detty, F. Zhou, A.E. Friedman // J. Am. Chem. Soc. 1996. V. 118. Issue 2. P. 313–318.
- 125.Abe, M. 21-Telluraporphyrins. 2. Catalysts for Bromination Reactions with Hydrogen Peroxide and Sodium Bromide / M. Abe, Y. You, M. R. Detty // *Organometallics*. **2002**. V. 21. Issue 21. P. 4546–4551.
- 126.Higgs, D.E. Iodination of Organic Substrates with Halide Salts and H₂O₂ Using an Organotelluride Catalyst / D.E. Higgs, M.I. Nelen, M.R. Detty // *Org. Lett.* **2001**. V. 3. Issue 3. P. 349–352.
- 127.Francavilla, C. Dendrimeric Organochalcogen Catalysts for the Activation of Hydrogen Peroxide: Improved Catalytic Activity through Statistical Effects and Cooperativity in Successive Generations / C. Francavilla, M.D. Drake, F.V. Bright, M.R. Detty // J. Am. Chem. Soc. 2001. V. 123. Issue 1. P. 57–67.
- 128.Scott, W.K. Cu(II)-Catalyzed Aerobic Hydroperoxidation of Meldrum's Acid Derivatives and Application in Intramolecular Oxidation: A Conceptual Blueprint for O₂/H₂ Dihydroxylation / W.K. Scott, T.D. Dung, S.J. Jeffrey // Org. lett. **2012**. V. 14. Issue 23. P. 5932–5935.
- 129.Nurhan, K. An Intramolecular Substitution of Hydroperoxy-endoperoxide to a Bisendoperoxide / K. Nurhan, S. Ertan, K. Yunus // *Org. lett.* **2006**. V. 8. Issue 9. P. 1791-1793.

- 130.Kim, H. Antimalarial Activity of Novel 1,2,5,6-Tetraoxacycloalkanes and 1,2,5-Trioxacycloalkanes / H. Kim, K. Begum, N. Ogura, Y. Wataya, Y. Nonami, T. Ito, A. Masuyama, M. Nojima, K.J. McCullough // *J. Med. Chem.* **2003**. V. 46. Issue 10. P. 1957-1961.
- 131.Dussault, P.H. Peroxycarbenium Mediated C-C Bond Formation: Synthesis of Cyclic Peroxides from Monoperoxyketals / P.H. Dussault, H.J. Lee, Q.J. Niu // *J. Org. Chem.* **1995**. V. 60. Issue 4. P. 784-785.
- 132. Wong, Y.-C. Tandem Cyclization of α-Cyano α-Alkynyl Aryl Ketones Induced by *tert*-Butyl Hydroperoxide and Tetrabutylammonium Iodide / Y.-C. Wong, C.-T. Tseng, T.-T. Kao, Y.-C. Yeh, K.-S. Shia // *Org. Lett.* **2012**. V. 14. Issue 23. P. 6024–6027.
- 133.Kloeckner, U. Iodide-Catalyzed Halocyclization/Cycloaddition/Elimination Cascade Reaction / U. Kloeckner, P. Finkbeiner, B. J. Nachtsheim // *J. Org. Chem.* **2013**. V. 78. Issue 6. P. 2751–2756.
- 134. Nobuta, T. Molecular Iodine Catalyzed Cross-Dehydrogenative Coupling Reaction between Two sp³ C-H Bonds Using Hydrogen Peroxide / T. Nobuta, N. Tada, A. Fujiya, A. Kariya, T. Miura, A. Itoh // *Org. Lett.* **2013**. V. 15. Issue 3. P. 574–577.
- 135.Nobuta, T. Molecular-iodine-catalyzed aerobic photooxidative C- C bond formation between tertiary amines and carbon nucleophiles / T. Nobuta, A. Fujiya, T. Yamaguchi, N. Tada, T. Miura, A. Itoh // RSC Adv. 2013. V. 3. Issue 26. P. 10189-10192.
- 136.Li, L.-T. nBu₄NI-catalyzed C3-formylation of indoles with N-methylaniline / L.-T. Li, J. Huang, H.-Y. Li, L.-J. Wen, P. Wang, B. Wang // *Chem. Commun.* **2012**. Issue 48. P. 5187–5189.
- 137.Li, L.-T. Potassium iodide catalyzed simultaneous C3-formylation and N-aminomethylation of indoles with 4-substituted-N,N-dimethylanilines / L.-T. Li, H.-Y. Li, L.-J. Xing, L.-J. Wen, P. Wang, B. Wang // *Org. Biomol. Chem.* **2012**. V. 10. Issue 48. P. 9519–9522.
- 138.Wu, W. Mild and Selective Ru-Catalyzed Formylation and Fe-Catalyzed Acylation of Free (N H) Indoles Using Anilines as the Carbonyl Source / W. Wu, W. Su // J. Am. Chem. Soc. 2011. V. 133. Issue 31. P. 11924–11927.
- 139.Ferreira, E.M. Catalytic C-H Bond Functionalization with Palladium(II): Aerobic Oxidative Annulations of Indoles / E.M. Ferreira, B.M. Stoltz // *J. Am. Chem. Soc.* **2003**. V. 125. Issue 32. P. 9578–9579.

- 140.Jia, Z. Iodide-Ion-Catalyzed Carbon-Carbon Bond-Forming Cross-Dehydrogenative Coupling for the Synthesis of Indole Derivatives / Z. Jia, T. Nagano, X. Li, A. S. C. Chan // Eur. J. Org. Chem. 2013. Issue 5. P. 858–861.
- 141.Tang, S. Tuning radical reactivity using iodine in oxidative C(sp3)–H/C(sp)–H cross-coupling: an easy way toward the synthesis of furans and indolizines / S. Tang, K. Liu, Y. Long, X. Qi, Y. Lan, A. Lei // *Chem Commun.* **2015**. Issue 51. P. 8769-8772.
- 142.Mai, W.-P. *n*Bu₄NI-catalyzed direct synthesis of a-ketoamides from aryl methyl ketones with dialkylformamides in water using TBHP as oxidant / W.-P. Mai, H.-H. Wang, Z.-C. Li, J.-W. Yuan, Y.-M. Xiao, L.-R. Yang, P. Mao, L.-B. Qu // *Chem. Commun.* **2012**. V. 48. Issue 81. P. 10117–10119.
- 143.Zhao, Q. Direct use of formamides as amino group sources via C–N bond cleavage: a catalytic oxidative synthesis of α-ketoamides from acetophenones and formamides under metal-free conditions / Q. Zhao, T. Miao, X. Zhang, W. Zhou, L. Wang // *Org. Biomol. Chem.* **2013**. V. 11. Issue 11. P. 1867–1873.
- 144.Lamani, M. NIS-Catalyzed Reactions: Amidation of Acetophenones and Oxidative Amination of Propiophenones / M. Lamani, K. R. Prabhu // *Chem. Eur. J. –* **2012**. V. 18. Issue 46. P. 14638–14642.
- 145.Liu, Z. Cross Coupling of Acyl and Aminyl Radicals: Direct Synthesis of Amides Catalyzed by Bu₄NI with TBHP as an Oxidant / Z. Liu, J. Zhang, S. Chen, E. Shi, Y. Xu, X. Wan // Angew. Chem., Int. Ed. 2012. V. 51. Issue 13. P. 3231–3235.
- 146.Li, H. Metal-free n-Bu₄NI-catalyzed direct synthesis of amides from alcohols and N,N-disubstituted formamides / H. Li, J. Xie, Q. Xue, Y. Cheng, C. Zhu // *Tetrahedron Lett.* **2012**. V. 53. Issue 48. P. 6479–6482.
- 147.Xu, K. Direct Amidation of Alcohols with N-Substituted Formamides under Transition-Metal-Free Conditions / K. Xu, Y. Hu, S. Zhang, Z. Zha, Z. Wang // *Chem. Eur. J. –* **2012**. V. 18. Issue 32. P. 9793–9797.
- 148.Wang, G. Et₄NI-Catalyzed Amidation of Aldehydes and Alcohols with Ammonium Salts / G. Wang, Q.-Y. Yu, S.-Y. Chen, X.-Q. Yu // *Org. Biomol. Chem.* **2014**. V. 12. Issue 3. P. 414–417.
- 149.Mai, W.-P. *n*Bu₄NI-catalyzed unexpected amide bond formation between aldehydes and aromatic tertiary amines / W.-P. Mai, G. Song, J.-W. Yuan, L.-R. Yang, G.-C. Sun, Y.-M. Xiao, P. Mao, L.-B. Qu // *RSC Adv.* **2013**. V. 3. Issue 12. P. 3869–3872.
- 150.Wang, S. *n*Bu₄NI-catalyzed oxidative amidation of aldehydes with tertiary amines / S. Wang, J. Wang, R. Guo, G. Wang, S.-Y. Chen, X.-Q. Yu // *Tetrahedron Lett.* **2013**. V. 54. Issue 46. P. 6233–6236.

- 151. Yoshimura, A. Hypoiodite-Mediated Metal-Free Catalytic Aziridination of Alkenes / A. Yoshimura, K.R. Middleton, C. Zhu, V.N. Nemykin, V.V. Zhdankin // *Angew. Chem. Int. Ed.* **2012**. V. 51. Issue 32. P. 8059–8062.
- 152.Ma, L. TBAI-catalyzed oxidative coupling of aminopyridines with b-keto esters and 1,3-diones—synthesis of imidazo[1,2-a]pyridines / L. Ma, X. Wang, W. Yu, B. Han // *Chem. Commun.* **2011**. Issue 47. P. 11333–11335.
- 153.Xie, J. Metal-free, organocatalytic cascade formation of C-N and C-O bonds through dual sp3 C-H activation: oxidative synthesis of oxazole derivatives / J. Xie, H. Jiang, Y. Cheng, C. Zhu // *Chem. Commun.* **2012**. Issue 48. P. 979–981.
- 154.T. Froehr, C. P. Sindlinger, U. Kloeckner, P. Finkbeiner and B. J. Nachtsheim, Org. Lett., 2011, 13, 3754–3757.
- 155.Xue, Q. Metal-free, highly efficient organocatalytic amination of benzylic C–H bonds / Q. Xue, J. Xie, H. Li, Y. Cheng and C. Zhu // *Chem. Commun.* **2013**. Issue 49. P. 3700–3702.
- 156.Rajamanickam, S. Bu₄NI Catalyzed C–N Bond Formation via Cross-Dehydrogenative Coupling of Aryl Ethers (Csp3–H) and Tetrazoles (N–H) / S. Rajamanickam, G. Majji, S. Kumar Santra, B.K. Patel // *Org. Lett.* **2015**. V. 17. Issue 22. P. 5586–5589.
- 157.Lv, Y. nBu₄NI-Catalyzed oxidative imidation of ketones with imides: synthesis of α-amino ketones / Y. Lv, Y. Li, T. Xiong, Y. Lu, Q. Liu, Q. Zhang // *Chem. Commun.* **2014**. Issue 50. P. 2367–2369.
- 158.Chen, S. Direct Condensation of Sulfonamide and Formamide: NaI-Catalyzed Synthesis of N-Sulfonyl Formamidine Using TBHP as Oxidant / S. Chen, Y. Xu, X. Wan // *Org. Lett.* **2011**. V. 13. Issue 23. P. 6152–6155.
- 159.Uyanik, M. Quaternary Ammonium (Hypo)iodite Catalysis for Enantioselective Oxidative Cycloetherification // M. Uyanik, H. Okamoto, T. Yasui and K. Ishihara // *Science*. **2010**. V. 328. Issue 5984. P. 1376–1379.
- 160.Uyanik, M. In Situ Generated (Hypo)Iodite Catalysts for the Direct aOxyacylation of Carbonyl Compounds with Carboxylic Acids / M. Uyanik, D. Suzuki, T. Yasui, K. Ishihara // Angew. Chem., Int. Ed. 2011. V. 50. Issue 23. P. 5331–5334.
- 161.Feng, J. A Metal-Free Oxidative Esterification of the Benzyl C-H Bond // J. Feng, S. Liang, S.-Y. Chen, J. Zhang, S.-S. Fu, X.-Q. Yu // Adv. Synth. Catal. 2012. V. 354. Issue 7. P. 1287–1292.
- 162.Chen, L. Bu₄NI-Catalyzed CO Bond Formation by Using a Cross-Dehydrogenative Coupling (CDC) Reaction / L. Chen, E. Shi, Z. Liu, S. Chen, W. Wei, H. Li, K. Xu, X. Wan // Chem. Eur. J. 2011. V. 17. Issue 15. P. 4085–4089.

- 163.Shi, E. Tetrabutylammonium Iodide Catalyzed Synthesis of Allylic Ester with *tert*-Butyl Hydroperoxide as an Oxidant / E. Shi, Y. Shao, S. Chen, H. Hu, Z. Liu, J. Zhang, X. Wan // *Org. Lett.* **2012**. V. 14. Issue 13. P. 3384–3387.
- 164.Xue, Q. Metal-Free, *n*-Bu₄NI-Catalyzed Regioselective Difunctionalization of Unactivated Alkenes / Q. Xue, J. Xie, P. Xu, K. Hu, Y. Cheng, C. Zhu // *ACS Catal.* **2013**. V. 3. Issue 6. P. 1365–1368.
- 165.Zhang, S. Bu₄NI-catalyzed decarboxylative acyloxylation of an sp3 C–H bond adjacent to a heteroatom with α-oxocarboxylic acids / S. Zhang, L.-N. Guo, H. Wang, X.-H. Duan // *Org. Biomol. Chem.* **2013**. V. 11. Issue 26. P. 4308–4311.
- 166.Majji, G. Easy access to benzylic esters directly from alkyl benzenes under metal-free conditions / G. Majji, S. Guin, A. Gogoi, S. K. Rout, B. K. Patel // *Chem. Commun.* **2013**. V. 49. Issue 29. P. 3031–3033.
- 167.Huang, J. Bu₄NI-catalyzed benzylic acyloxylation of alkylarenes with aromatic aldehydes / J. Huang, L.-T. Li, H.-Y. Li, E. Husan, P. Wang, B. Wang // *Chem. Commun.* **2012**. V. 48. Issue 82. P. 10204–10206.
- 168.Liu, L. Transition metal free oxidative esterification of alcohols with toluene / L. Liu, L. Yun, Z. Wang, X. Fu, C.-H. Yan // *Tetrahedron Lett.* **2013**. V. 54. Issue 39. P. 5383–5386.
- 169.Wei, W. Synthesis of *tert*-butyl peresters from aldehydes by Bu₄NI-catalyzed metal-free oxidation and its combination with the Kharasch–Sosnovsky reaction / W. Wei, C. Zhang, Y. Xu, X. Wan // *Chem. Commun.* 2011. V. 47. Issue 38. P. 10827–10829.
- 170.Tan, B. Organocatalytic Amidation and Esterification of Aldehydes with Activating Reagents by a Cross-Coupling Strategy / B. Tan, N. Toda, C.F. Barbas III // Angew. Chem., Int. Ed. 2012. V. 51. Issue 50. P. 12538–12541.
- 171.Li, X. Tetrabutylammonium iodide catalyzed allylic sulfonylation of a-methyl styrene derivatives with sulfonylhydrazides / X. Li, X. Xu, C. Zhou // *Chem. Commun.* **2012**. Issue 48. P. 12240– 12242.
- 172.Li, X. Tetrabutylammonium iodide catalyzed allylic sulfonylation of Baylis–Hillman acetates with sulfonylhydrazides in water / X. Li, X. Xu, Y. Tang // *Org. Biomol. Chem.* **2013**. V. 11. Issue 10. P. 1739–1742.
- 173.Li, X. Synthesis of Sulfonated Oxindoles by Potassium Iodide Catalyzed Arylsulfonylation of Activated Alkenes with Sulfonylhydrazides in Water / X. Li, X. Xu, P. Hu, X. Xiao, C. Zhou // *J. Org. Chem.* **2013**. –V. 78. Issue 14. P. 7343–7348.

- 174.Gao, Y. KI-catalyzed arylation of benzothiazoles from the coupling of aryl aldehydes with benzothiazoles in neat water / Y. Gao, Q. Song, G. Cheng, X. Cui // *Org. Biomol. Chem.* **2014**. V. 12. Issue 7. P. 1044–1047.
- 175.Iodine-Catalysed Versatile Sulfenylation of Indoles with Thiophenols: Controllable Synthesis of mono- and bis-Arylthioindoles // H. Zhang, X. Bao, Y. Song, J. Qu, B. Wang // *Tetrahedron.* **2015**. V. 71. Issue 47. P. 8885-8891.
- 176.Zhang, J. Iodide-Catalyzed Synthesis of N-Nitrosamines via C-N Cleavage of Nitromethane / J. Zhang, J. Jiang, Y. Li, X. Wan // J. Org. Chem. **2013**. V. 78. Issue 22. P. 11366–11372.
- 177.Filipan-Litvic, M. An efficient, metal-free, room temperature aromatization of Hantzsch-1,4-dihydropyridines with urea—hydrogen peroxide adduct, catalyzed by molecular iodine / M. Filipan-Litvic, M. Litvic, V. Vinkovic // *Tetrahedron.* **2008**. V. 64. Issue 24. P. 5649-5656.
- 178.Zmitek, K. Iodine as a Catalyst for Efficient Conversion of Ketones to gem-Dihydroperoxides by Aqueous Hydrogen Peroxide / K. Zmitek, M. Zupan, S. Stavber, J. Iskra // *Org. Lett.* – **2006**. – V. 8. – Issue 12. – P. 2491–2494.
- 179.Zmitek, K. The Effect of Iodine on the Peroxidation of Carbonyl Compounds / K. Zmitek, M. Zupan, S. Stavber, J. Iskra // J. Org. Chem. 2007. V. 72. Issue 17. P. 6534–6540.
- 180.Terent'ev, A.O. Synthesis of 1-hydroperoxy-1'-alkoxyperoxides by the iodine-catalyzed reactions of geminal bishydroperoxides with acetals or enol ethers / A.O. Terent'ev, M.M. Platonov, I.B. Krylov, V.V. Chernyshev, G.I. Nikishin // *Org. Biomol. Chem.* **2008**. V. 6. Issue 23. P. 4435–4441.
- 181.Belyakov, P.A. Mechanistic insight into organic and catalytic reactions by joint studies using mass spectrometry and NMR spectroscopy / P.A. Belyakov, V.I. Kadentsev, A.O. Chizhov, N.G. Kolotyrkina, A.S. Shashkov, V.P. Ananikov // Mendeleev Commun. 2010. V. 20. Issue 3. P. 125 131.
- 182. Качала, В.В. Комплексное исследование структуры и механизмов получения и превращений газообразных, жидких и твердых химических систем методами масс-спектрометрии, спектроскопии ЯМР и электронной микроскопии / В.В. Качала, Л.Л. Хемчян, А.С. Кашин, Н.В. Орлов, А.А. Грачев, С.С. Залесский, В.П. Анаников // Успехи химии 2013. Т. 82. № 7. С. 648-685.
- 183.Ogibin, Y.N. A rearrangement of 1-hydroperoxy-2-oxabicycloalkanes into lactones of ω -acyloxy-(ω -3)-hydroxyalkanoic acids related to the Criegee reaction / Y.N. Ogibin, A.O.

- Terent'ev, A.V. Kutkin, G.I. Nikishin // *Tetrahedron Lett.* **2002**. V. 43. Issue 7. P. 1321–1324.
- 184.Brown, D.J. The Dimroth rearrangement. Part IX. The formation and isomerisations of propynyl (and related)-iminopyrimidines / D.J. Brown, B.T. England // *Journal of the Chemical Society [Section] C: Organic.* **1967**. P. 1922 1927.
- 185.Hwu, J.R. Silicon-Controlled Allylation of 1,3-Dioxo Compounds by Use of Allyltrimethylsilane and Ceric Ammonium Nitrate / J.R. Hwu, C.N. Chen, S.-S. Shiao, // *J. Org. Chem.* **1995**. V. 60. Issue 4. P. 856 862.
- 186.Yang, W. Efficient synthesis of highly substituted pyrroles through a Pd(OCOCF₃)₂-catalyzed cascade reaction of 2-alkenal-1,3-dicarbonyl compounds with primary amines / W. Yang, L. Huang, H. Liu, W. Wang, H. Li // *Chem. Commun.* **2013**. V 49. Issue 41. P. 4667-4669.
- 187.Ohtsuka, Y. Reductive Desymmetrization of 2-Alkyl-1,3-diketones Catalyzed by Optically Active β-Ketoiminato Cobalt Complexes / Y. Ohtsuka, K. Koyasu, T. Ikeno, T. Yamada // *Org. Lett.* **2001**. V. 3. Issue 16. P. 2543 2546.
- 188.Ranu, B.C. Solvent-Controlled Highly Selective Bis- and Monoallylation of Active Methylene Compounds by Allyl Acetate with Palladium(0) Nanoparticle / B.C. Ranu, K. Chattopadhyay, L. Adak // *Org. Lett.* **2007**. V. 9. Issue 22. P. 4595-4598.
- 189.Lloris, M.E. Reaction of copper(II) β-diketonates under free radical conditions. Preparation of highly congested β-diketones / M.E. Lloris, N. Galvez, J. Marquet, M. Moreno-Manas // *Tetrahedron.* **1991**. V. 47. Issue 37. P. 8031–8042.
- 190.Rüttinger, R. Reversal of Selectivity in Gold-Catalyzed Cyclizations of 3,3-Disubstituted 1,4-Diynes / R. Rüttinger, J. Leutzow, M. Wilsdorf, K. Wilckens, C. Czekelius // *Org. Lett.* **2011**. V. 13. Issue 2. P. 224–227.
- 191.Terentev, A.O. Selective Synthesis of Cyclic Peroxides from Triketones and H₂O₂ / A.O. Terent'ev, I.A. Yaremenko, V.V. Chernyshev, V.M. Dembitsky, G.I. Nikishin // *J. Org. Chem.* **2012**. V. 77. Issue 4. P. 1833–1842.
- 192.Kappe, T. A Facile Synthesis of 1-Oxo-1H-pyrazolo[1,2-a]pyrazol-4-ium-3-olates / T. Kappe, C. Kos // *Synthesis*. **1989**. Issue 8. P. 629-630.
- 193. Shevchenko, S.E. Synthesis of 3-alkyl(aryl)thietanes / S.E. Shevchenko, N.P. Volynskii // *Petroleum Chemistry.* **2008**. V. 48. Issue 2. P. 123-128.
- 194. Szabo, G.T. Co-Catalytic Effects in Phase-Transfer Catalyzed Reactions / G.T. Szabo, K. Aranyosi, M. Csiba, L. Toke // Synthesis. 1987. Issue 6. P. 565–566.
- 195.Brace, N.O. Syntheses with perfluoroalkyl iodides. A review. Part III / N.O. Brace // J. Org. Chem. 1975. V. 40. Issue 7. P. 851–858.

- 196.Elaridi, J. A catalytic asymmetric synthesis of 5,5-dimethylproline / J. Elaridi, A. Thaqi, A. Prosser, W.R. Jackson, A.J. Robinson // *Tetrahedron Asymmetry*. **2005**. V. 16. Issue 7. P. 1309–1319.
- 197. Newman, M.S. Novel synthesis of disubstituted maleic anhydrides by the pyrolysis of 1-ethoxy-1-alkenyl esters of .alpha.-keto acids / M.S. Newman, W.M. Stalick // *Journal of Organic Chemistry*. **1973**. V. 38. Issue 19. P. 3386–3389.
- 198.Borowiecki, L. Investigations of borane series. Part III. Rearrangements of 3,3-ethylenedioxybornan-2-iun ion / L. Borowiecki, A. Kazubski // *Polish Journal of Chemistry*. **1978**. V. 52. P. 1447 1455.
- 199.Terent'ev, A.O. Selective Synthesis of Unsymmetrical Peroxides: Transition-Metal-Catalyzed Oxidation of Malononitrile and Cyanoacetic Ester Derivatives by *tert*-Butyl Hydroperoxide at the α-Position / A.O. Terent'ev, D.A. Borisov, V.V. Semenov, V.V. Chernyshev, V.M. Dembitsky, G.I. Nikishin // *Synthesis*. **2011**. Issue 13. P. 2091–2100.
- 200. Sparrow, K. An efficient synthesis of 3-alkyl-1,5,3-dioxazepanes and their use as electrophiles in double-Mannich reactions / K. Sparrow, D. Barker, M.A. Brimble // *Tetrahedron.* **2012**. V. 68. Issue 4. P. 1017–1028.
- 201. Chandan, N. Rapid synthesis of substituted pyrrolines and pyrrolidines by nucleophilic ring closure at activated oximes / N. Chandan, A.L. Thompsona, M.G. Moloney // *Org. Biomol. Chem.* **2012**. V. 10. Issue 39. P. 7863-7868.
- 202.Nelson, J.H. Nickel-catalyzed Michael additions of .beta.-dicarbonyls / J.H. Nelson, P.N. Howells, G.C. DeLullo, G.L. Landen, R.A. Henry // J. Org. Chem. 1980. V. 45. Issue 7 P. 1246–1249.
- 203.Lykakis, I.N. Deuterium kinetic isotope effects in homogeneous decatungstate catalyzed photooxygenation of 1,1-diphenylethane and 9-methyl-9H-fluorene: evidence for a hydrogen abstraction mechanism / I.N. Lykakis, M. Orfanopoulos // *Tetrahedron Letters*. 2005 V. 46. Issue 45. P. 7835–7839
- 204.Noland, W.E. Cycloaddition reactions of indenes. 2. Reactions with dimethyl acetylenedicarboxylate and maleic anhydride / W.E. Noland, V. Kameswaran, L.L. Landucci // *J. Org. Chem.* **1980**. V. 45. Issue 23. P. 4564 4572.
- 205.Russell, G.A. Application of electron spin resonance spectroscopy to studies of valence isomerization. V. Aliphatic semidiones. XXVIII. Formation of bicyclo[3.2.0]hept-2-ene-6,7-semidiones from bicyclo[3.2.0] and -[2.2.1]precursors / G.A. Russell, K.D. Schmitt, J.Mattox // J. Am. Chem. Soc. 1975. V. 97. Issue 7. P. 1882–1891.

- 206.Antonioletti, R. A Convinient Aproach To Furan Derivatives By I₂-induced Cyclisation of 2-alkenyl Substituted 1,3-dicarbonyl Compounds / R. Antonioletti, F. Bonadies, A. Scettri // *Tetrahedron Letters.* **1988**. V. 39. P. 4987–4990.
- 207.Fernandes, R.A. An expedient osmium(VI)/ K_3 Fe(CN)₆-mediated selective oxidation of benzylic, allylic and propargylic alcohols / R.A. Fernandes, V. Bethi // RSC Adv. **2014**. V. 4. Issue 76. P. 40561-40568.